

論 說 報 告

第29卷第12號 聖和18年12月

相對二邊に於て支承せられる矩形版が弾性基礎上に在る場合の彎曲，並に其他の弾性諸問題の研究（其の二）

正會員 工學博士 原 日 忠 次 郎*

第 10 章 簡性基礎上の平版の彎曲と固有振動との関聯性に就て

弹性基礎上の平板の彫曲に関する基本方程式は第 2 章 (1) 式に示せる如く

であるが、普通平版の固有振動に関する基本公式は

$$\frac{\partial^4 W}{\partial x^4} + 2 \frac{\partial^4 W}{\partial z^2 \partial y^2} + \frac{\partial^4 W}{\partial y^4} + \frac{\gamma h}{qN} \frac{\partial^2 W}{\partial t^2} = 0 \dots \dots \dots \quad (2)$$

にて示される。茲に $\gamma h/g$ は $h \times 1 \times 1$ なる容積の質量、 $\partial^2 W/\partial t^2$ は版の撓度 W が時間的に變化するときの加速度であるから（但し h は版の厚さ） $-\frac{\gamma h}{g} \frac{\partial^2 W}{\partial t^2}$ は $h \times 1 \times 1$ に關する慣性力 (inertia force) である。

即ち(2)式は $-\frac{wh}{g} \frac{\partial^2 W}{\partial t^2}$ なる荷重 [(1)式の右邊に相當す] を受ける普通の版の翫曲に關する公式と考へることが出来る。

外力の作用を受けないで単に慣性力のみによる板の振動、即ち所謂固有振動（又は自由振動）に於ては板のすべての點は全く同じ周期で振動する筈であるから (2) 式の W は

で表はすことが出来る。(3) 式の w は x, y のみの函数で、これを固有函数 (Eigenfunktion) と呼ぶのであるが、この函数及び ω (Kreisfrequenz) の値が分れば、IV、従つて版の振動現象は完全に決定せられるのである。

(3) を (2) に代入すると各項に $\cos \omega t$ が掛つて居るから、之れを取去ると固有函数 ψ に関する次の如き方程式

$$\frac{\partial^4 w}{\partial x^4} + 2 \frac{\partial^4 w}{\partial x^2 \partial y^2} + \frac{\partial^4 w}{\partial y^4} - \frac{gh}{qN} \omega^2 w = 0. \quad (4)$$

が得られる。これは(1)式の右邊の荷重の項を0と置くと

となるから(4)の $-\frac{\gamma h}{gN}\omega^2$ を λ^2 と見做せば(4)式、(5)式を解くことは數學的に全く同じである。彈性基礎上の版の翫曲問題と、振動問題との關聯性は、即ち茲に存するのである。 $\frac{\gamma h}{gN}\omega^2$ は普通固有値と呼ばれるもので與へられたる $\gamma h/gN$ に對しては版の境界條件に依つて決定せられるものである。但し與へられたる $\gamma h/gN$ 及び境界條件を有する版の振動は、全くそれ獨特の性質に従ふもので、Eigenwert, Eigenschwingung, Eigenfunktion 等の如き名稱の因て来る所以も茲に存するものと思はれる。

內務省中國西國土木出張所長

境界条件 $\left| \frac{\partial^m}{\partial x^m} + (2-\nu) \frac{\partial^m \omega}{\partial x \partial y^{m-2}} \right|_{\substack{x=0 \\ \omega=1}} = 0$ を除く凡ての条件を満足する (5) 式の解は (33) 式から

$$w := \sum_n \left[F_n' \left\{ \left(K_n'^2 - \frac{\nu a^2}{b^2} n^2 \right) \frac{\cosh \pi K_n \left(\frac{1}{2} - \xi \right)}{\cosh \frac{\pi}{2} K_n} - \left(K_n^2 - \frac{\nu a^2}{b^2} n^2 \right) \frac{\cosh \pi K_n' \left(\frac{1}{2} - \xi \right)}{\cosh \frac{\pi}{2} K_n'} \right\} \right. \\ \left. + P_n' \left\{ \left(K_n'^2 - \frac{\nu a^2}{b^2} n^2 \right) \frac{\sinh \pi K_n \left(\frac{1}{2} - \xi \right)}{\sinh \frac{\pi}{2} K_n} - \left(K_n^2 - \frac{\nu a^2}{b^2} n^2 \right) \frac{\sinh \pi K_n' \left(\frac{1}{2} - \xi \right)}{\sinh \frac{\pi}{2} K_n'} \right\} \right] \sin n\pi\gamma \quad (6)$$

$$\text{但し } K_n = \sqrt{\frac{a^2}{b^2} n^2 + i \frac{a^2 \lambda^2}{\pi^2}} \quad K_n' = \sqrt{\frac{a^2}{b^2} n^2 - i \frac{a^2 \lambda^2}{\pi^2}}$$

である。従つて (4) の解は此の λ^2 の代りに $\sqrt{-\frac{q'h}{qN}\omega^2} = i\sqrt{\frac{q'h}{qN}}\omega$ を置いたものとなるから

$$\text{但し } \mu = \frac{\omega a^2}{\pi^2} \sqrt{\frac{gh}{gN}}$$

とすると (6) 式はそのまま (4) 式の解として用ふることが出来る。

弾性基礎上の版の問題に於て荷重の項を 0 と置けば、境界条件

$$\left| \frac{\partial^3 w}{\partial x^3} + (2-\nu) \frac{\partial^3 w}{\partial x \partial y^2} \right|_{\xi=0} = 0$$

より第 3 章記載の (f) 及び (g) 式の如く

$$E_{n'} \left\{ K_n \left(K_{n'^2} - \frac{\nu a^2}{b^2} n^2 \right)^2 \tanh \frac{\pi}{2} K_n - K_n' \left(K_{n^2} - \frac{\nu a^2}{b^2} n^2 \right)^2 \tanh \frac{\pi}{2} K_n' \right\} \\ \pm F_{n'} \left\{ K_n \left(K_{n'^2} - \frac{\nu a^2}{b^2} n^2 \right)^2 \coth \frac{\pi}{2} K_n - K_n' \left(K_{n^2} - \frac{\nu a^2}{b^2} n^2 \right)^2 \coth \frac{\pi}{2} K_n' \right\} = 0 \dots \dots \dots (8)$$

を得る。これより

(1) 振動面が版の中心線 $\xi = 1/2$ に關し對稱なる場合は（第 1 振動）

$$E_{n'} \left\{ K_n \left(K_n t^2 - \frac{\nu a^2}{b^2} n^2 \right)^2 \tanh \frac{\pi}{2} K_n - K_n' \left(K_n'^2 - \frac{\nu a^2}{b^2} n^2 \right)^2 \tanh \frac{\pi}{2} K_n' \right\} = 0 \dots \dots \dots (9)$$

(2) 振動面が版の中心線 $\xi = 1/2$ に対して斜対称なる場合には(第2振動)

$$F_{n'} \left\{ K_n \left(K_n'^2 - \frac{\nu a^2}{b^2} n^2 \right)^2 \coth \frac{\pi}{2} K_n - K_n' \left(K_n^2 - \frac{\nu a^2}{b^2} n^2 \right)^2 \coth \frac{\pi}{2} K_n' \right\} = 0 \dots \dots \dots \quad (10)$$

の兩式を得る。よつて(9)式及び(10)式に對應する固有函数 w は(6)式より夫々

$$w = \sum_n E_{n'} \left\{ \left(K_n'^2 - \frac{pa^2}{b^2} n^2 \right) \frac{\cosh \pi K_n \left(\frac{1}{2} - \xi \right)}{\cosh \frac{\pi}{2} K_n} - \left(K_n^2 - \frac{pa^2}{b^2} n^2 \right) \frac{\cosh \pi K_{n'} \left(\frac{1}{2} - \xi \right)}{\cosh \frac{\pi}{2} K_{n'}} \right\} \sin n \pi \eta \quad \dots (11)$$

及び

$$w = \sum_n F_{n'} \left\{ \left(K_{n'}^2 - \frac{\nu a^2}{b^2} n^2 \right) \frac{\sinh \pi K_n \left(\frac{1}{2} - \xi \right)}{\sinh \frac{\pi}{2} K_n} - \left(K_n^2 - \frac{\nu a^2}{b^2} n^2 \right) \frac{\sinh \pi K_{n'} \left(\frac{1}{2} - \xi \right)}{\sinh \frac{\pi}{2} K_{n'}} \right\} \sin n\pi\eta \quad \dots \dots \dots (12)$$

で表はすものである。但し (9) 式乃至 (12) 式に於て n が奇数 ($n=1, 3, 5, \dots$) なるか又は偶数 ($n=2, 4, 6, \dots$) なるかに從つて振動面は中心線 $\eta=1/2$ に關して對稱若くは斜對稱となるのである。

(9) 式乃至 (12) 式の中にはまだ未知数 μ が含まれてゐる。若し μ が知られると

$$\text{角振動數 (Kreis frequenz)} \quad \omega = \mu \frac{\pi^2}{a^2} \sqrt{\frac{qN}{\gamma h}}$$

$$\text{振動數 (Schwingungs frequenz)} \quad f = \frac{\omega}{2\pi}$$

$$\text{振動周期 (Schwingungs dauer)} \quad T = \frac{2\pi}{\omega}$$

が求められるから版の振動現象は完全に決定せられる。故に固有値 μ (廣い意味に於て此の μ も固有値と呼んで差支へない) を求める事が必要であつて、固有振動問題の解決上最も重要な事は、この μ を求める事である。これが爲に先づ第一振動に就て考ふるに (9) 式が満足されるためには、

$$E_{n'} = 0 \quad \text{となるか若くは}$$

$$K_n \left(K_{n'}^2 - \frac{\nu a^2}{b^2} n^2 \right)^2 \tanh \frac{\pi}{2} K_n - K_{n'} \left(K_n^2 - \frac{\nu a^2}{b^2} n^2 \right)^2 \tanh \frac{\pi}{2} K_{n'} = 0 \quad \dots \dots \dots (13)$$

でなくてはならない。 $E_{n'} = 0$ とすれば (11) 式より w も 0 となるからこれを除外し、第一振動に關する固有値 μ は、方程式 (13) を μ を未知数として解くことに依つて求められる。同様に第二振動に關する μ は (10) 式より得られる

$$K_n \left(K_{n'}^2 - \frac{\nu a^2}{b^2} n^2 \right)^2 \coth \frac{\pi}{2} K_n - K_{n'} \left(K_n^2 - \frac{\nu a^2}{b^2} n^2 \right)^2 \coth \frac{\pi}{2} K_{n'} = 0 \quad \dots \dots \dots (14)$$

から求められる。かくして任意の n に關する μ が分れば、この μ に對應する固有函数は、(例へば第一振動系)

$$w = \left\{ \left(K_{n'}^2 - \frac{\nu a^2}{b^2} n^2 \right) \frac{\cosh \pi K_n \left(\frac{1}{2} - \xi \right)}{\cosh \frac{\pi}{2} K_n} - \left(K_n^2 - \frac{\nu a^2}{b^2} n^2 \right) \frac{\cosh \pi K_{n'} \left(\frac{1}{2} - \xi \right)}{\cosh \frac{\pi}{2} K_{n'}} \right\} \sin n\pi\eta \quad \dots \dots \dots (15)$$

で表され、實際の撓度 W は t の如何に關せず常にこの (15) 式の w に比例するものである。

圖-31.

第 11 章 本問題と挫屈問題との相似性に就て

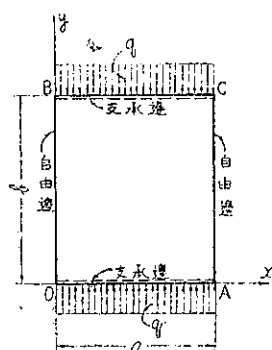
相對二邊が支承せられ他の二邊が自由なる矩形版が圖-31 の如く支承邊 OA, BC の外側から oy 軸に平行に q なる等壓力を受ける場合、 q の値が或る限度以上になれば版は挫屈を惹起する。この場合の平衡の方程式は

$$\frac{\partial^4 w}{\partial x^4} + 2 \frac{\partial^4 w}{\partial x^2 \partial y^2} + \frac{\partial^4 w}{\partial y^4} + \frac{q}{N} \frac{\partial^2 w}{\partial y^2} = 0 \quad \dots \dots \dots (1)$$

にて示される。これを解くために弾性基礎上の矩形版と同様に

$$w = a_n X_n(\xi) \sin n\pi\eta \quad \dots \dots \dots (2)$$

と置く。(2) 式を (1) 式に入れると



$$\frac{d^4 X_n}{d\xi^4} - 2\pi^2 \frac{a^2}{b^2} n^2 \frac{d^2 X_n}{d\xi^2} + \left(\pi^4 \frac{a^4}{b^4} n^4 - \pi^2 \frac{a^4}{b^2} n^2 \frac{q}{N} \right) X_n = 0$$

を得る。今 $D = d/d\xi$ とすれば

$$D^4 - 2\pi^2 \frac{a^2}{b^2} n^2 D^2 + \pi^4 \frac{a^4}{b^4} n^4 - \pi^2 \frac{a^4}{b^2} n^2 \frac{q}{N} = 0$$

となり更に

$$\left(D^2 - \pi^2 \frac{a^2}{b^2} n^2\right)^2 - \left(\pi \frac{a^2}{b} n \sqrt{\frac{g}{N}}\right)^2 = 0$$

或は

$$\left(D^2 - \pi^2 \frac{a^2}{L^2} n^2 - \pi \frac{a^2}{L} n \sqrt{\frac{q}{\Lambda^2}}\right) \left(D^2 - \pi^2 \frac{a^2}{L^2} n^2 + \pi \frac{a^2}{L} n \sqrt{\frac{q}{\Lambda^2}}\right) = 0$$

となるから

$$D = \pm \sqrt{\pi^2 \frac{a^2}{l^2} n^2 + \pi \frac{a^2}{h} n} \sqrt{\frac{g}{N}} \quad ; \quad D = \pm \sqrt{\pi^2 \frac{a^2}{l^2} n^2 - \pi \frac{a^2}{h} n} \sqrt{\frac{g}{N}} \quad (3)$$

となる。今

$$Q = \frac{q}{N} \frac{b^2}{\pi^2} \quad (\text{無名數})$$

と置くと (3) 式より

$$D = \pm \pi \sqrt{\frac{a^2}{b^2}n^2 + \frac{a^2}{b^2}n\sqrt{Q}} = \pm \pi \frac{a}{b} \sqrt{n^2 + n\sqrt{Q}}$$

$$D = \pm \pi \sqrt{\frac{a^2}{b^2} n^2 - \frac{a^2}{b^2} n \sqrt{Q}} = \pm \pi \frac{a}{b} \sqrt{n^2 - n \sqrt{Q}}$$

文書

$$\left. \begin{array}{l} D = \pm \pi K_n \\ D = \pm \pi K_{n'} \end{array} \right\} \quad \begin{array}{l} K_n = \frac{a}{b} \sqrt{n^2 + n\sqrt{Q}} \\ K_{n'} = \frac{a}{b} \sqrt{n^2 - n\sqrt{Q}} \end{array} \quad \dots \quad (4)$$

を得る。

弹性基礎上の矩形版に対する公式と、上記各公式とを對比するに前者に於ける $\lambda^4 w$, $\frac{a^2 \lambda^2}{\pi^2}$ は夫々後者に於ける $\frac{y \theta^2 m}{N \partial y^2}$ 及び $\frac{a^2}{b^2} n \sqrt{Q'}$ に相當して居る。故に $K_n, K_{n'}$ が (4) 式を以て表されるものとすれば、この場合に對する撓度 w は、第 3 章に於ける弹性基礎上の矩形版に対する公式 (33), 即ち

$$w = \sum_n \left[E_{n'} \left\{ \left(K_{n'^2} - \frac{\nu a^2}{b^2} n^2 \right) \frac{\cosh \pi K_n \left(\frac{1}{2} - \xi \right)}{\cosh \frac{\pi}{2} K_n} - \left(K_n^2 - \frac{\nu a^2}{b^2} n^2 \right) \frac{\cosh \pi K_{n'} \left(\frac{1}{2} - \xi \right)}{\cosh \frac{\pi}{2} K_{n'}} \right\} + F_{n'} \left\{ \left(K_{n'^2} - \frac{\nu a^2}{b^2} n^2 \right) \frac{\sinh \pi K_n \left(\frac{1}{2} - \xi \right)}{\sinh \frac{\pi}{2} K_n} - \left(K_n^2 - \frac{\nu a^2}{b^2} n^2 \right) \frac{\sinh \pi K_{n'} \left(\frac{1}{2} - \xi \right)}{\sinh \frac{\pi}{2} K_{n'}} \right\} \right] \sin \omega \pi \eta$$

で表すことが出来る。而して

$$\cosh \pi K_n \left(\frac{1}{2} - \xi \right) = \cosh \pi K_n \left\{ \frac{1}{2} - (1 - \xi) \right\}$$

$$\sinh \pi K_n \left(\frac{1}{2} - \xi \right) = -\sinh \pi K_n' \left\{ \frac{1}{2} - (1 - \xi) \right\}$$

なる關係があるから, 版の中心線 $\xi=1/2$ に關して對稱的な挫屈に對しては

$$w = \sum_n E_n' \left\{ \left(K_n'^2 - \frac{\nu a^2}{b^2} n^2 \right) \frac{\cosh \pi K_n \left(\frac{1}{2} - \xi \right)}{\cosh \frac{\pi}{2} K_n} - \left(K_n^2 - \frac{\nu a^2}{b^2} n^2 \right) \frac{\cosh \pi K_n' \left(\frac{1}{2} - \xi \right)}{\cosh \frac{\pi}{2} K_n'} \right\} \sin n\pi\eta \quad \dots \dots (5)$$

同じ中心線に關して斜對稱な挫屈に對しては

$$w = \sum_n E_n' \left\{ \left(K_n'^2 - \frac{\nu a^2}{b^2} n^2 \right) \frac{\sinh \pi K_n \left(\frac{1}{2} - \xi \right)}{\sinh \frac{\pi}{2} K_n} - \left(K_n^2 - \frac{\nu a^2}{b^2} n^2 \right) \frac{\sinh \pi K_n' \left(\frac{1}{2} - \xi \right)}{\sinh \frac{\pi}{2} K_n'} \right\} \sin n\pi\eta \quad \dots \dots (6)$$

を得る。上記 (5) 式は自由邊に對する境界條件

$$\left| \frac{\partial^2 w}{\partial x^2} + \nu \frac{\partial^2 w}{\partial y^2} \right|_{\xi=0} = 0$$

を満足して居る。故に殘りの條件

$$\left| \frac{\partial^3 w}{\partial x^3} + (2-\nu) \frac{\partial^3 w}{\partial x \partial y^2} \right|_{\xi=1} = 0$$

より

$$K_n \left(K_n'^2 - \frac{\nu a^2}{b^2} n^2 \right)^2 \tanh \frac{\pi}{2} K_n - K_n' \left(K_n^2 - \frac{\nu a^2}{b^2} n^2 \right)^2 \tanh \frac{\pi}{2} K_n' = 0$$

従つて

$$\frac{\tanh \frac{\pi}{2} K_n}{\tanh \frac{\pi}{2} K_n'} = \frac{K_n'}{K_n} \left(\frac{K_n^2 - \frac{\nu a^2}{b^2} n^2}{K_n'^2 - \frac{\nu a^2}{b^2} n^2} \right)^2$$

を得る。同様に (6) 式より

$$K_n \left(K_n'^2 - \frac{\nu a^2}{b^2} n^2 \right)^2 \coth \frac{\pi}{2} K_n - K_n' \left(K_n^2 - \frac{\nu a^2}{b^2} n^2 \right)^2 \coth \frac{\pi}{2} K_n' = 0$$

従つて

$$\frac{\coth \frac{\pi}{2} K_n}{\coth \frac{\pi}{2} K_n'} = \frac{K_n'}{K_n} \left(\frac{K_n^2 - \frac{\nu a^2}{b^2} n^2}{K_n'^2 - \frac{\nu a^2}{b^2} n^2} \right)^2$$

を得る。(7) 式又は (8) 式に於て, 輪へられたる n に對する Q の値を算出すれば求むる挫屈荷重は $q = \frac{N\pi^2}{b^2} Q$ に依つて決定される。一定の n に對する上記方程式の根, 即ち Q の値は數限りなくある。故に之を一般に Q で表はせば $\nu=0.3$ なる正方形版の中心線 $\eta=1/2$ に關して對稱なる挫屈に對しては公式 (7) より表-1 の結果を得る。

同様に斜對稱なる挫屈に對しては公式 (8) より表-2 の結果を得る。

公式 (5), (6) 式中の $\sin n\pi\eta$ に就て検討すると

表-1.

n	i	$n\sqrt{Q_i}$			Q_i		
		0	1	2	0	1	2
1	0	0.9759	3.7312	18.5472	0.9524	18.8473	183.5266
2	0	3.9459	7.1673	17.1776	3.8925	12.8425	73.7675
3	0	8.9149	12.3654	22.7720	8.8206	16.9892	57.6233

表-2.

n	i	$n\sqrt{Q_i}$			Q_i		
		0	1	2	0	1	2
1	0	1.6347	7.6281	21.4901	2.6722	58.1879	461.8244
2	0	4.7355	11.2490	25.0709	5.6022	31.0350	157.1375
3	0	9.7810	16.6868	30.7287	10.5214	30.9388	104.9170

$$\begin{aligned} \sin n\pi(1-\eta) &= \sin n\pi \cos n\pi\eta - \cos n\pi \sin n\pi\eta \\ &= -(-1)^n \sin n\pi\eta \\ &= +\sin n\pi\eta && n=1, 3, 5, \dots, \infty \text{ のとき} \\ &= -\sin n\pi\eta && n=2, 4, 6, \dots, \infty \text{ のとき} \end{aligned}$$

故に上表中の $n=1, 3$ 及 $n=2$ は夫々中心線 $\eta=1/2$ に関して對稱, 若しくは斜對稱なる挫屈面に對應するものなる事が分る。又 $n=1$ 従つて $\sin n\pi\eta$ は $0 < \eta < 1$ なる範圍に於ては 0 となり得ないから, x 軸に平行なる節線 (nodal line) を持つて居ない。同様に $n=2$ なるときの挫屈面は $\eta=1/2$ なる只一つの節線を有し, $n=3$ のときは $\eta=1/3, \eta=2/3$ なる 2 つの節線を生ずる。實用上重要な挫屈荷重は其の最小値である。上表より斯くの如き最小挫屈荷重は, 對稱なる挫屈に於ける $n=1, i=0$ に對應するもの, 即ち

$$Q_{\min} = 0.9524$$

$$q_{\min} = \frac{N\pi^2}{b^2} Q = \frac{EI\pi^2}{b^2(1-\nu^2)} Q = 1.04659 \frac{EI\pi^2}{b^2}$$

但し $\nu = 0.3$ とする。

であつて, (Euler's formula; $q_{\min} = EI\pi^2/b^2$) 第 1, 第 2, ..., 次等, 高次の挫屈荷重も同様にして求める事が出来る。

第 12 章 弾性基礎上の平版と桁との關係に就て

彈性基礎上の平版に圖-21 (省略) の如く其中央に oy 軸に平行に直線荷重が在るときの A_{mn} は (28) 式より

$$A_{mn} = \frac{8P}{N\pi abn\rho_{mn}} (-1)^{\frac{m-1}{2}}$$

$$m, n = 1, 3, 5, \dots, \infty$$

であるから $\sum_m A_{mn} \sin m\pi\xi$ は

$$\sum_m A_{mn} \sin m\pi\eta = \sum_m \frac{8P}{N\pi abn\rho_{mn}} (-1)^{\frac{m-1}{2}} \sin m\pi\xi$$

を得る。

今 $\cosh \pi K_n(1/2 - \xi)$ を「フーリエ」に展開し更に其の結果を ξ に就いて一回積分すると

$$\sum_n \frac{\cos m\pi\xi}{m^2 + K_n^2} = \frac{\pi \sinh \pi K_n \left(\frac{1}{2} - \xi \right)}{4K_n \cosh \frac{\pi}{2} K_n} \quad 0 < \xi < 1 \quad \dots \dots \dots \quad (1)$$

$$m = 1, 3, 5, \dots \infty$$

を得るから

$$\sum_m A_{mn} \sin m\pi\xi = \frac{-2Pa^3}{N\pi^4 b} \frac{1}{n(K_n^2 - K_n'^2)} \left(\frac{\sinh \pi K_n \xi}{K_n \cosh \frac{\pi}{2} K_n} - \frac{\sinh \pi K_n' \xi}{K_n' \cosh \frac{\pi}{2} K_n'} \right)$$

を得る。

今原點を $(0, b/2)$ の點即ち oy 軸の b の中央に移すと

$$\sin n\pi y = (-1)^{\frac{n-1}{2}} \cos n\pi y \quad n=1, 3, 5, \dots, \infty$$

となる。よって ω は (33) 式より

$$w = \sum_n \left[E_{n'}' \left\{ \left(K_n n^2 - \frac{\nu a^2}{b^2} n^2 \right) \frac{\cosh \pi K_n \left(\frac{1}{2} - \xi \right)}{\cosh \frac{\pi}{2} K_n} - \left(K_n^2 - \frac{\nu a^2}{b^2} n^2 \right) \frac{\cosh \pi K_n' \left(\frac{1}{2} - \xi \right)}{\cosh \frac{\pi}{2} K_n'} \right\} - \frac{2P a^3}{N \pi^4 b (K_n^2 - K_n'^2) n} \left(\frac{\sinh \pi K_n \xi}{K_n \cosh \frac{\pi}{2} K_n} - \frac{\sinh \pi K_n' \xi}{K_n' \cosh \frac{\pi}{2} K_n'} \right) \right] (-1)^{\frac{n-1}{2}} \cos n \pi \eta \dots \dots \dots \quad (2)$$

$0 \leq \xi \leq 1/2$ $n = 1, 3, 5, \dots, \infty$

となる。上式の $E_{n'}$ は (34) 式から

$$E_n' = \frac{\sum_m A_{mn} m \left\{ m^2 + (2-\nu) \frac{a^2}{b^2} n^2 \right\}}{K_n \left(K_n'^2 - \frac{\nu a^2}{b^2} n^2 \right)^2 \tanh \frac{\pi}{2} K_n - K_n' \left(K_n^2 - \frac{\nu a^2}{b^2} n^2 \right)^2 \tanh \frac{\pi}{2} K_n'}$$

であるから、これに A_{mn} を入れると分子は

$$\sum_m A_{mn} m \left\{ m^2 + (2-\nu) \frac{a^2}{b^2} n^2 \right\} = \frac{8 P a^3}{N \pi^4 b^4} \left[\sum_m \frac{m^9 (-1)^{\frac{m-1}{2}}}{(m^2 + K_n^2)(n^2 + K_n'^2)} + (2-\nu) \frac{a^2}{b^2} n^2 \sum_m \frac{m(-1)^{\frac{m-1}{2}}}{(m^2 + K_n^2)(n^2 + K_n'^2)} \right]$$

となる。

又(36)式より

$$\sum_m \frac{m}{(m^2 + K_n^2)(m^2 + K_n'^2)} \sin m\pi\xi = -\frac{\pi}{4(K_n^2 - K_n'^2)} \left\{ \frac{\cosh\pi K_n' \left(\frac{1}{2} - \xi\right)}{\cosh \frac{\pi}{2} K_n} - \frac{\cosh\pi K_n' \left(\frac{1}{2} + \xi\right)}{\cosh \frac{\pi}{2} K_n'} \right\}$$

$$\sum_m \frac{m^2}{(m^2 + K_n^2)(m^2 + K_n'^2)} \sin m\pi\xi = \frac{\pi}{4(K_n^2 - K_n'^2)} \left\{ \frac{K_n^2 \cosh \pi K_n \left(\frac{1}{2} - \xi\right)}{\cosh \frac{\pi}{2} K_n} - \frac{K_n'^2 \cosh \pi K_n' \left(\frac{1}{2} - \xi\right)}{\cosh \frac{\pi}{2} K_n'} \right\} \quad \dots \dots \dots (3)$$

を得るから上式にて $\xi = 1/2$ と置くと

$$\begin{aligned} \sum_m \frac{m(-1)^{\frac{m-1}{2}}}{(m^2 + K_n^2)(m^2 + K_n'^2)} &= \frac{-\pi}{4(K_n^2 - K_n'^2)} \left(\frac{1}{\cosh \frac{\pi}{2} K_n} - \frac{1}{\cosh \frac{\pi}{2} K_n'} \right) \\ \sum_m \frac{m^2 (-1)^{\frac{m-1}{2}}}{(m^2 + K_n^2)(m^2 + K_n'^2)} &= \frac{\pi}{4(K_n^2 - K_n'^2)} \left(\frac{K_n^2}{\cosh \frac{\pi}{2} K_n} - \frac{K_n'^2}{\cosh \frac{\pi}{2} K_n'} \right) \end{aligned}$$

となる。よつて

$$\sum_m A_{mn}m \left\{ n^2 + (2 - \nu) \frac{a^2}{b^2} n^2 \right\} = - \frac{2Pa^3}{N\pi^4 b n (K_n^2 - K_n'^2)} \left\{ \left(K_n'^2 - \frac{\nu a^2}{b^2} n^2 \right) \operatorname{sech} \frac{\pi}{2} K_n - \left(K_n^2 - \frac{\nu a^2}{b^2} n^2 \right) \operatorname{sech} \frac{\pi}{2} K_n' \right\}$$

を得る。従つて E_n' は結局

$$E_n' = - \frac{2Pa^3}{N\pi^4 b n (K_n^2 - K_n'^2)} \frac{\bar{a}_n}{\bar{a}_n}$$

但し、

$$\bar{a}_n = \frac{\left(K_n'^2 - \frac{\nu a^2}{b^2} n^2 \right) \operatorname{sech} \frac{\pi}{2} K_n - \left(K_n^2 - \frac{\nu a^2}{b^2} n^2 \right) \operatorname{sech} \frac{\pi}{2} K_n'}{K_n \left(K_n'^2 - \frac{\nu a^2}{b^2} n^2 \right)^2 \tanh \frac{\pi}{2} K_n - K_n' \left(K_n^2 - \frac{\nu a^2}{b^2} n^2 \right)^2 \tanh \frac{\pi}{2} K_n'}$$

となる。従つて w は

$$\begin{aligned} w = - \frac{2Pa^3}{N\pi^4 b} \sum_n \frac{(-1)^{\frac{n-1}{2}}}{n(K_n^2 - K_n'^2)} &\left[\bar{a}_n \left\{ \left(K_n'^2 - \frac{\nu a^2}{b^2} n^2 \right) \frac{\cosh \pi K_n \left(\frac{1}{2} - \xi\right)}{\cosh \frac{\pi}{2} K_n} - \left(K_n^2 - \frac{\nu a^2}{b^2} n^2 \right) \frac{\cosh \pi K_n' \left(\frac{1}{2} - \xi\right)}{\cosh \frac{\pi}{2} K_n'} \right\} \right. \\ &\left. + \frac{\sin \pi K_n \xi}{K_n \cosh \frac{\pi}{2} K_n} - \frac{\sinh \pi K_n' \xi}{K_n' \cosh \frac{\pi}{2} K_n' } \right] \cos n\pi\eta \quad \dots \dots \dots (4) \end{aligned}$$

$$n = 1, 3, 5, \dots \infty$$

$$0 \leq \xi \leq 1/2$$

を得る。

次で(4)式に於て $b = \infty$ のときの極限値は、弾性基礎上の兩端自由なる板の沈下を表すものである。 P/b は $x = a/2$ に沿ふての単位長に對する荷重であるから b が如何に増減するとも常數と見做す可きであるから再びこれを P とす。即ち

$$\lim_{b \rightarrow \infty} \frac{P}{b} = \text{常數} = P$$

又

$$\lim_{b \rightarrow \infty} K_n^2 = i \frac{a^2 \lambda^2}{\pi^2} \quad \lim_{b \rightarrow \infty} K_n'^2 = -i \frac{a^2 \lambda^2}{\pi^2}$$

$$\lim_{b \rightarrow \infty} K_n = \frac{1+i}{\sqrt{2}} \frac{a\lambda}{\pi} \quad \lim_{b \rightarrow \infty} K_n' = \frac{1-i}{\sqrt{2}} \frac{a\lambda}{\pi}$$

$$\lim_{b \rightarrow \infty} K_n^2 - K_{n'}^2 = 2i \frac{a^2 \lambda^2}{\pi^2}$$

であるから w は

$$w = - \frac{Pa^3}{N\pi^4} \lim_{\lambda^2 \rightarrow \infty} \left\{ f(\xi) \sum_n \frac{(-1)^{\frac{n-1}{2}}}{n} \cos \frac{n\pi}{b} y \right\}$$

となるが

$$\sum_n \frac{(-1)^{\frac{n-1}{2}}}{n} \cos n\pi\eta = \sum_n \frac{1}{n} \sin n\pi\left(\frac{1}{2} + \eta\right) = \frac{\pi}{4}$$

であるから w は

$$w = - \frac{Pa^3}{4N\pi^3 i} \frac{a^2 \lambda^2}{\pi^3} \lim_{b \rightarrow \infty} f(\xi)$$

を得る。

上式内には i を含むから、これを消去する計算を施すと遂に w は

$$w = \frac{\sqrt{2}P}{4N\lambda^8} \frac{4 \cosh \frac{a\lambda}{2\sqrt{2}} \cos \frac{a\lambda}{2\sqrt{2}} u(\xi) + \left(\sinh \frac{a\lambda}{\sqrt{2}} + \sin \frac{a\lambda}{\sqrt{2}} \right) v(\xi)}{\left(\cosh \frac{a\lambda}{\sqrt{2}} + \cos \frac{a\lambda}{\sqrt{2}} \right) \left(\sinh \frac{a\lambda}{\sqrt{2}} + \sin \frac{a\lambda}{\sqrt{2}} \right)} \quad \dots \dots \dots \quad (5)$$

$$u(\xi) = \cosh \frac{a\lambda}{\sqrt{2}}(1-\xi) \cos \frac{a\lambda}{\sqrt{2}}\xi + \cosh \frac{a\lambda}{\sqrt{2}}\xi \cos \frac{a\lambda}{\sqrt{2}}(1-\xi)$$

$$v(\xi) = \cosh \frac{a\lambda}{\sqrt{2}} \left(\frac{1}{2} + \xi \right) \sin \frac{a\lambda}{\sqrt{2}} \left(\frac{1}{2} - \xi \right) - \cosh \frac{a\lambda}{\sqrt{2}} \left(\frac{1}{2} - \xi \right)$$

$$\times \sin \frac{a\lambda}{\sqrt{2}} \left(\frac{1}{2} + \xi \right) + \sinh \frac{a\lambda}{\sqrt{2}} \left(\frac{1}{2} + \xi \right) \cos \frac{a\lambda}{\sqrt{2}} \left(\frac{1}{2} - \xi \right) - \sinh \frac{a\lambda}{\sqrt{2}} \left(\frac{1}{2} - \xi \right) \cos \frac{a\lambda}{\sqrt{2}} \left(\frac{1}{2} + \xi \right)$$

$$0 \leq \xi \leq 1/2$$

を得る。この(5)式は弾性基礎上に於て a なる桁の中央點に集中荷重 P があるときの沈下の一般式である。又この式は計算を省略するが、桁の一般方程式

$$\frac{d^4 w}{dx^4} + \lambda^4 w = 0$$

を満足し、その境界条件

1. $M_x = 0$ $x=0, x=a$ に對して

2. $Q_x = 0$ $x=0, x=a$ に對して

を満足して居る事を知る。

更に又、林 桂一氏著 “Theorie des Trägers auf elastischer Unterlage” の 44 頁の (6) 式はこの場合の式を示すものであるが、これと比較するために先づ (5) 式の原點を中央に移し、且つ $+x$ を左の方向に取れば、 w の式にて

の代りに 1/2--

$$\begin{array}{ll} 1/2+\xi & \text{の代りに} \\ 1/2-\xi & \text{の代りに} \end{array} \quad \begin{array}{l} 1-\xi \\ +\xi \end{array}$$

と置かねばならぬ。依つて

$$\begin{aligned} u(\xi) &= \cosh \alpha \left(\frac{1}{2} + \xi \right) \cos \alpha \left(\frac{1}{2} - \xi \right) + \cosh \alpha \left(\frac{1}{2} - \xi \right) \cos \alpha \left(\frac{1}{2} + \xi \right) \\ v(\xi) &= \cosh \alpha (1-\xi) \sin \alpha \xi - \cosh \alpha \xi \sin \alpha (1-\xi) + \sinh \alpha (1-\xi) \cos \alpha \xi - \sinh \alpha \xi \cos \alpha (1-\xi) \\ \text{但し, } \alpha &= \sqrt{\frac{K}{2}} \end{aligned}$$

となる。従つて

$$\begin{aligned} 4 \cosh \frac{\alpha}{2} \cos \frac{\alpha}{2} u(\xi) &= 2 \{(1 + \cosh \alpha)(1 + \cos \alpha) \cosh \alpha \xi \cos \alpha \xi + \sinh \alpha \sin \alpha \sinh \alpha \xi \sin \alpha \xi\} \\ (\sinh \alpha + \sin \alpha) v(\xi) &= (\sinh \alpha + \sin \alpha) \{(\cosh \alpha + \cos \alpha)(\cosh \alpha \xi \sin \alpha \xi - \sinh \alpha \xi \cos \alpha \xi) \\ &\quad - (\sinh \alpha + \sin \alpha) \sinh \alpha \xi \sin \alpha \xi + (\sinh \alpha - \sin \alpha) \cosh \alpha \xi \cos \alpha \xi\} \end{aligned}$$

となるから

$$\begin{aligned} 4 \cosh \frac{\alpha}{2} \cos \frac{\alpha}{2} u(\xi) &+ (\sinh \alpha + \sin \alpha) v(\xi) \\ &= (\cosh \alpha + \cos \alpha) [\sinh \alpha (1-\xi) \sin \alpha \xi - \sin \alpha (1-\xi) \sinh \alpha \xi \\ &\quad + 2 \left\{ \cos \frac{\alpha}{2} \cos \left(\frac{1}{2} - \xi \right) \cosh \alpha \xi + \cosh \frac{\alpha}{2} \cosh \alpha \left(\frac{1}{2} - \xi \right) \cos \alpha \xi \right\}] \end{aligned}$$

を得る。

又、林 桂一氏の (6) 式は

$$\begin{aligned} y &= \frac{P}{2KL(\sinh \lambda + \sin \lambda)} \left[\sin \xi \sinh (\lambda - \xi) - \sinh \xi \sin (\lambda - \xi) \right. \\ &\quad \left. + 2 \left\{ \cosh \xi \cos \frac{\alpha}{2} \cos \left(\frac{\lambda}{2} - \xi \right) + \cos \xi \cosh \frac{\lambda}{2} \cosh \left(\frac{\lambda}{2} - \xi \right) \right\} \right] \end{aligned}$$

であるが、符号を合せるため

$$K_H = N \lambda^4, \quad L = \frac{\sqrt{2}}{\lambda}, \quad \lambda_H = \frac{l}{L} = \frac{a \lambda}{\sqrt{2}} = \alpha$$

$$LK_H = \sqrt{2} N \lambda^3, \quad \xi_H = \frac{a \lambda}{\sqrt{2}} \xi = \alpha \xi$$

と置いて上式を變形すると

$$\begin{aligned} y &= \frac{P}{2\sqrt{2} N \lambda^3 (\sinh \alpha + \sin \alpha)} \left[\sin \alpha \xi \sinh \alpha (1-\xi) - \sinh \alpha \xi \sin \alpha (1-\xi) \right. \\ &\quad \left. + 2 \left\{ \cosh \alpha \xi \cos \frac{\alpha}{2} \cos \alpha \left(\frac{1}{2} - \xi \right) + \cos \alpha \xi \cosh \frac{\alpha}{2} \cosh \alpha \left(\frac{1}{2} - \xi \right) \right\} \right] \end{aligned}$$

となる。

よつて (5) 式とこの式は全く同一の式なる事を知る。

以上により彈性基礎上の桁の式は版の式より容易に導き得るものである。即ち桁は版の特例に過ぎぬのであって、實際の觀念と能く一致せるものなる事が式の上で證明し得られるのである。

第 13 章 數値計算例と之に對する w, M_x, M_y の變化状況に就ての検討

註. 圖面中一部省略せり。

[I] 弹性基礎上の矩形版に就て

本文の應用問題としては, 岸壁築造の場合, 函塊を使用するとその上部構造(蓋)は, 函塊の壁上にて相対二邊の支承邊となり, その横の兩側の施工目地は自由邊として考へられる。而してその函塊の中埋めに砂若しくは砂利等を使用すると, その上部構造の版は本問題の矩形版となる。

函塊が小さいと或は四邊支承の矩形版となり, 或は三邊支承其他の一邊自由なる矩形版になるなど, 施工方法の異なるに従つて, 種々の境界條件の矩形版となる。

水上飛行機の滑走臺築造に際しては, かゝる構造物として考へられる場合多く, 殊にその場合の版は水中に在るために溫度の變化に依る應力を受けること少なく, 荷重による應力の變化が第一義的のものである。

相対二邊支承されたる矩形版が, 残りの自由なる二邊の中央線 ($y=b/2$) 上に荷重を載荷したとき, その線上の w, M_x, M_y は何れも荷重點附近に於てのみ影響が大きいから, 支承邊間の距離を相當大きく取つた場合には, 該 w, M_x, M_y をそのまま道路の鋪装版の中央線上のものとして實用上近似的計算に適用し得るものである。

附圖に示す計算表は (35) 式と (46) 式とを使用したもので, w は w_1 と w_2 , M は M_1 と M_2 とに分け, 値を算出したものである。

$$\begin{aligned} w_1 &= \sum_m \sum_n A_{mn} \sin m\pi\xi \sin n\pi\eta \\ w_2 &= \sum_n \left[E_n \left\{ (1-\nu) \frac{a^2}{b^2} n^2 f(x) + \frac{a^2 \lambda^2}{\pi^2} \phi(x) \right\} + F_n \left\{ (1-\nu) \frac{a^2}{b^2} n^2 f_1(x) + \frac{a^2 \lambda^2}{\pi^2} \phi_1(x) \right\} \right] \sin n\pi\eta \\ w &= w_1 + w_2 \end{aligned}$$

以上の計算に採用した a, b, h, ν, C 等は,

$$\begin{aligned} C &= 10 \text{ kg/cm}^3, & \nu &= 1/6 (\text{コンクリート版}), & h &= 15 \text{ cm} \\ E &= 210\,000 \text{ kg/cm}^2, & N &= \frac{Eh^3}{12(1-\nu)} = 60\,748\,000 \text{ kg-cm} \\ a &= 400 \text{ cm}, & b &= 600 \text{ cm} \end{aligned}$$

の矩形版である。

(A) 矩形版の計算説明

(1) 荷重が任意の點に在る場合

このときの A_{mn} は

$$\begin{aligned} A_{mn} &= \frac{16p_0a^4}{N\pi^6mn^2 \left\{ \left(m^2 + \frac{a^2}{b^2} n^2 \right)^2 + \frac{a^4 \lambda^4}{\pi^4} \right\}} \sin m\pi\xi_0 \sin m\pi\xi_1 \sin n\pi\eta_0 \sin n\pi\eta_1 \\ &= \frac{16p_0}{N\pi^6m^6n^6 \left\{ \left(\frac{1}{a^2} \cdot \frac{1}{n^2} + \frac{1}{b^2} \cdot \frac{1}{m^2} \right)^2 + \frac{\lambda^4}{\pi^4} \frac{1}{m^4n^4} \right\}} \sin m\pi\xi_0 \sin m\pi\xi_1 \sin n\pi\eta_0 \sin n\pi\eta_1 \end{aligned}$$

となるから, 収斂は急速で從つて w_1 は收斂の早い級數で表されてゐる。今 m, n を圖表-1 に示す如く縦横に取つて, 各々 1 より 8 迄のものを①とし以下順次に②③④⑤⑥…に分けて計算すると,

w_1 は荷重の中心點にて,

858 相対二邊に於て支承せられる矩形版が弾性基礎上に在る場合の變曲, 並に其他の弾性諸問題の研究

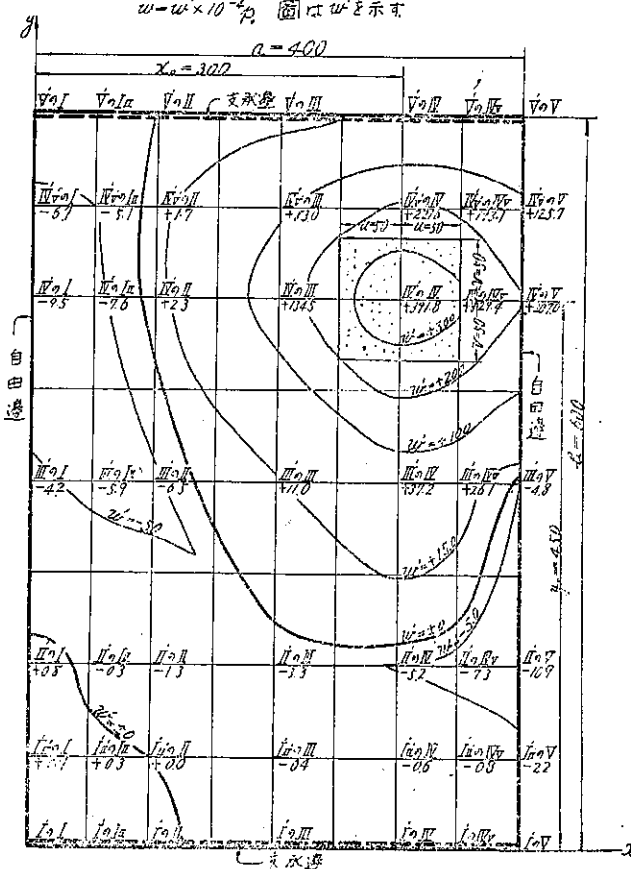
圖表-1

	比率
w_1 の ① = $\sum_{m=1}^8 \sum_{n=1}^8 (\text{公式}) = 371,170 (10^{-4} p_0)$	99.64 %
w_1 の ② = $\sum_{m=1}^3 \sum_{n=9}^{16} (\text{"}) = 2,202 (\text{"})$	0.59 %
w_1 の ③ = $\sum_{m=9}^{16} \sum_{n=1}^8 (\text{"}) = -0.818 (\text{"})$	-0.32 %
w_1 の ④ = $\sum_{m=9}^{16} \sum_{n=9}^{16} (\text{"}) = -0.035 (\text{"})$	-0.01 %
計	372,519 (") 100.00 %

但し本計算では $\xi_0 = \eta_0 = 3/4$ であるから m, n が 4 の倍数であるときは $\sin m\pi\xi = \sin n\pi\eta_0 = 0$ となる。上に見る如く②以下の比率は非常に僅小であるから①のみの計算で大差ない。

図-1.

弾性地盤上の版 等沈下曲線図
(単位 程)



w_2 は E_n, F_n の項を含み m について收斂の遅い級数であるが版の中央近くでは w_1 に比較するとその影響が小さいからこれも①のみで實用上差支へない。荷重の中心點にては、

	比率
w_1 の ① = $\sum_{m=1}^8 \sum_{n=1}^8$ (公式) = $20.591 (10^{-4} p_0)$	103.35 %
w_1 の ② = $\sum_{m=1}^8 \sum_{n=9}^{16}$ () = $0.012 ()$	0.06 %
w_1 の ③ = $\sum_{m=9}^{16} \sum_{n=1}^8$ () = $-1.590 ()$	-8.40 %
w_1 の ④ = $\sum_{m=9}^{16} \sum_{n=9}^{16}$ () = $-0.002 ()$	-0.01 %
計	19.005 ()
	100.00 %

w_1 と w_2 とを加へると

	比率
w の ① = $\sum_{m=1}^8 \sum_{n=1}^8$ (公式) = $391.760 (10^{-4} p_0)$	100.06 %
w の ② = $\sum_{m=1}^8 \sum_{n=9}^{16}$ () = $2.214 ()$	0.57 %
w の ③ = $\sum_{m=9}^{16} \sum_{n=1}^8$ () = $-2.414 ()$	-0.62 %
w の ④ = $\sum_{m=9}^{16} \sum_{n=9}^{16}$ () = $-0.038 ()$	-0.01 %
計	391.522 ()
	100.00 %

以上の如く ②以下のお数値が①に比較して非常に小さいから實用上は①のみの計算で充分である。

図-1~3 (図-2, 3 省略) は何れも m, n 共に 1 より 8 迄の計算値である。

M_{x_1} を

$$M_{x_1} = N \sum_m \sum_n A_{mn} m^2 n^2 \left\{ \frac{\pi^2}{a^2} \frac{1}{n^2} + \nu \frac{\pi^2}{b^2} \frac{1}{m^2} \right\} \sin m\pi\xi \sin n\pi\eta$$

$$M_{x_2} = -N \sum_n \left[E_n \left\{ (1-\nu)^2 \frac{\pi^2 a^2}{b^4} n^4 + \frac{a^2 \lambda^4}{\pi^2} \right\} f(x) + F_n \left\{ (1-\nu)^2 \frac{\pi^2 a^2}{b^4} n^4 + \frac{a^2 \lambda^4}{\pi^2} \right\} f_1(x) \right] \sin n\pi\eta$$

とに分けて見ると、 w よりは收敛が緩慢である。

荷重點の M_x は

	比率
M_{x_1} の ① = $\sum_{m=1}^8 \sum_{n=1}^8$ (公式) = $643.240 p_0$	104.49 %
M_{x_1} の ② = $\sum_{m=1}^8 \sum_{n=9}^{16}$ () = $9.855 p_0$	1.60 %
M_{x_1} の ③ = $\sum_{m=9}^{16} \sum_{n=1}^8$ () = $-35.960 p_0$	-5.84 %
M_{x_1} の ④ = $\sum_{m=9}^{16} \sum_{n=9}^{16}$ () = $-1.522 p_0$	-0.25 %
計	615.613 p_0
	100.00 %

となる。

M_{x_2} の影響は M_{x_1} に比較すると小さい。即ち

M_{x_2} の ① = $\sum_{m=1}^8 \sum_{n=1}^8$ (公式) = -96.403 p_0	比率 109.02 %
M_{x_2} の ② = $\sum_{m=1}^8 \sum_{n=9}^{16}$ () = -0.106 p_0	0.12 %
M_{x_2} の ③ = $\sum_{m=9}^{16} \sum_{n=1}^8$ () = -8.065 p_0	-9.13 %
M_{x_2} の ④ = $\sum_{m=9}^{16} \sum_{n=9}^{16}$ () = -0.021 p_0	-0.02 %
計 - 88.423 p_0	100.00 %

であつて、 M_{x_2} は上述の如く M_{x_1} の僅かに 14.4 % に過ぎない。

M_x としては、

M_x の ① = $\sum_{m=1}^8 \sum_{n=1}^8$ (公式) = 545.840 p_0	比率 103.73 %
M_x の ② = $\sum_{m=1}^8 \sum_{n=9}^{16}$ () = -9.749 p_0	1.85 %
M_x の ③ = $\sum_{m=9}^{16} \sum_{n=1}^8$ () = -27.895 p_0	-5.29 %
M_x の ④ = $\sum_{m=9}^{16} \sum_{n=9}^{16}$ () = -1.501 p_0	-0.29 %
計 527.193 p_0	100.00 %

の如く収斂が急であるから實用上は①のみで支障はない。

圖-4 はこの①の結果に依つたものである。

M_y についても M_x と同様に

$$M_{y_1} = N \sum_n \sum_m A_{mn} m^2 n^2 \left\{ \nu \frac{\pi^2}{a^2} \frac{1}{n^2} + \frac{\pi^2}{b^2} \frac{1}{m^2} \right\} \sin m\pi\xi \sin n\pi\eta$$

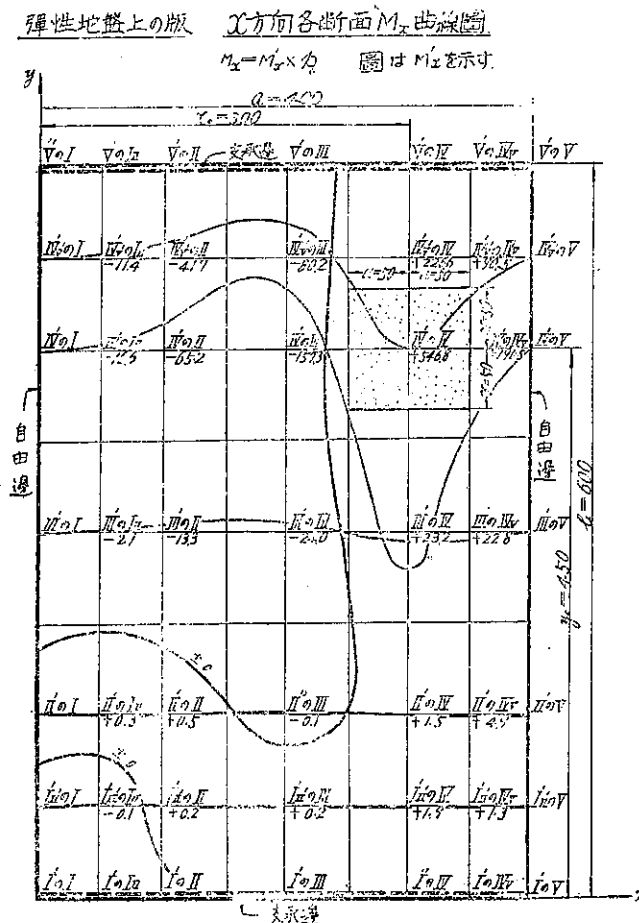
$$M_{y_2} = -N \sum_n \left[E_n \left\{ \left(\nu \frac{a^2 \lambda^4}{\pi^2} - (1-\nu)^2 \frac{\pi^2 a^2}{b^4} n^4 \right) f(x) - (1-\nu^2) \frac{a^2 \lambda^2}{b^2} n^2 \phi(x) \right\} \right. \\ \left. + F_n \left\{ \left(\nu \frac{a^2 \lambda^4}{\pi^2} - (1-\nu)^2 \frac{\pi^2 a^2}{b^4} n^4 \right) f_1(x) - (1-\nu^2) \frac{a^2 \lambda^2}{b^2} n^2 \phi_1(x) \right\} \right] \sin n\pi\eta$$

に分けると、荷重點に於ては M_{y_1} の影響が大きくて M_{y_2} は餘り影響しない。

M_{y_1} の ① = $\sum_{m=1}^8 \sum_{n=1}^8$ (公式) = 550.460 p_0	比率 96.83 %
M_{y_1} の ② = $\sum_{m=1}^8 \sum_{n=9}^{16}$ () = 26.407 p_0	4.64 %
M_{y_1} の ③ = $\sum_{m=9}^{16} \sum_{n=1}^8$ () = -7.971 p_0	-1.40 %
M_{y_1} の ④ = $\sum_{m=9}^{16} \sum_{n=9}^{16}$ () = -0.387 p_0	-0.07 %
計 568.509 p_0	100.00 %

	比率
M_{y_2} の ① = $\sum_{m=1}^8 \sum_{n=1}^8$ (公式) = $8.856 p_0$	104.88 %
M_{y_2} の ② = $\sum_{m=1}^8 \sum_{n=9}^{16}$ () = $0.156 p_0$	1.85 %
M_{y_2} の ③ = $\sum_{m=9}^{16} \sum_{n=1}^8$ () = $-0.538 p_0$	-6.37 %
M_{y_2} の ④ = $\sum_{m=9}^{16} \sum_{n=9}^{16}$ () = $-0.030 p_0$	-0.36 %
計	$8.444 p_0$
	100.00 %

図-4.



依つて M_y としては

	比率
$M_y \text{ の } ① = \sum_{m=1}^8 \sum_{n=1}^8 \text{ (公式)} = 559.320 p_0$	96.94 %
$M_y \text{ の } ② = \sum_{m=1}^8 \sum_{n=9}^{16} \text{ () } = 26.563 p_0$	4.60 %
$M_y \text{ の } ③ = \sum_{m=9}^{16} \sum_{n=1}^8 \text{ () } = -8.509 p_0$	-1.47 %
$M_y \text{ の } ④ = \sum_{m=9}^{16} \sum_{n=9}^{16} \text{ () } = -0.418 p_0$	-0.07 %
計	570.956 p_0
	100.00 %

(2) 荷重の中心點と版の中心點とが一致する場合

この場合の A_{mn} は

$$A_{mn} = \frac{16 p_0 a^4 (-1)^{\frac{m-1}{2}} (-1)^{\frac{n-1}{2}}}{N \pi^6 m n \left\{ \left(m^2 + \frac{a^2}{b^2} n^2 \right)^2 + \frac{a^4 \lambda^4}{\pi^4} \right\}} \sin m \pi \xi_1 \sin n \pi \eta_1$$

であるから、(1) の場合との相違は $\sin m \pi \xi_1$ の代りに $(-1)^{\frac{m-1}{2}}$, $\sin n \pi \eta_1$ の代りに $(-1)^{\frac{n-1}{2}}$ であつて、 m, n は $1, 3, 5, \dots, \infty$ であるから F_n の項は消失する。

この時の中心點の數値計算値は次々

	比率
$w_1 \text{ の } ① = \sum_{m=1}^7 \sum_{n=1}^7 \text{ (公式)} = +370.250 (10^{-4} p_0)$	99.51 %
$w_1 \text{ の } ② = \sum_{m=1}^7 \sum_{n=9}^{15} \text{ () } = + 2.579 ()$	0.69 %
$w_1 \text{ の } ③ = \sum_{m=9}^{15} \sum_{n=1}^7 \text{ () } = - 0.768 ()$	-0.20 %
$w_1 \text{ の } ④ = \sum_{m=9}^{15} \sum_{n=9}^{15} \text{ () } = - 0.087 ()$	-0.01 %
$w_1 \text{ の } ⑤ = \sum_{m=17}^{23} \sum_{n=1}^7 \text{ () } = + 0.052 ()$	0.01 %
$w_1 \text{ の } ⑥ = \sum_{m=25}^{31} \sum_{n=1}^7 \text{ () } = - 0.009 ()$	-0.00 %
計	+372.067 ()
	100.00 %

	比率
$w_2 \text{ の } ① = \sum_{m=1}^7 \sum_{n=1}^7 \text{ (公式)} = +3.573 (10^{-4} p_0)$	97.22 %
$w_2 \text{ の } ② = \sum_{m=1}^7 \sum_{n=9}^{15} \text{ () } = + 0.000 ()$	0.00 %
$w_2 \text{ の } ③ = \sum_{m=9}^{15} \sum_{n=1}^7 \text{ () } = + 0.115 ()$	3.13 %
$w_2 \text{ の } ④ = \sum_{m=9}^{15} \sum_{n=9}^{15} \text{ () } = - 0.000 ()$	-0.00 %

$$w_2 \text{ の } ⑤ = \sum_{m=17}^{23} \sum_{n=1}^7 \{ \text{''} \} = -0.019 (10^{-4} p_0) \quad -0.51\%$$

$$w_2 \text{ の } ⑥ = \sum_{m=25}^{31} \sum_{n=1}^7 \{ \text{''} \} = +0.006 (\text{''}) \quad 0.16\%$$

$$\text{計} \quad +3.675 (\text{''}) \quad 100.00\%$$

となるから $w_1 + w_2$ 即ち w は實用上 m, n 共 1 より 7 迄の①のみの計算で充分である。

M_x と M_y は、

$$M_x \text{ の } ① = \sum_{m=1}^7 \sum_{n=1}^7 \{ \text{公式} \} = +571.350 p_0 \quad \text{比率} \\ 103.57\%$$

$$M_x \text{ の } ② = \sum_{m=1}^7 \sum_{n=9}^{15} \{ \text{''} \} = +11.091 p_0 \quad 2.01\%$$

$$M_x \text{ の } ③ = \sum_{m=9}^{15} \sum_{n=1}^7 \{ \text{''} \} = -33.731 p_0 \quad -6.11\%$$

$$M_x \text{ の } ④ = \sum_{m=9}^{15} \sum_{n=9}^{15} \{ \text{''} \} = -1.659 p_0 \quad -0.30\%$$

$$M_x \text{ の } ⑤ = \sum_{m=17}^{23} \sum_{n=1}^7 \{ \text{''} \} = +7.164 p_0 \quad 1.30\%$$

$$M_x \text{ の } ⑥ = \sum_{m=25}^{31} \sum_{n=1}^7 \{ \text{''} \} = -2.593 p_0 \quad -0.47\%$$

$$\text{計} \quad +551.622 p_0 \quad 100.00\%$$

$$M_y \text{ の } ① = \sum_{m=1}^7 \sum_{n=1}^7 \{ \text{公式} \} = +543.750 p_0 \quad 96.00\%$$

$$M_y \text{ の } ② = \sum_{m=1}^7 \sum_{n=9}^{15} \{ \text{''} \} = +29.647 p_0 \quad 5.23\%$$

$$M_y \text{ の } ③ = \sum_{m=9}^{15} \sum_{n=1}^7 \{ \text{''} \} = -7.446 p_0 \quad -1.31\%$$

$$M_y \text{ の } ④ = \sum_{m=9}^{15} \sum_{n=9}^{15} \{ \text{''} \} = -0.400 p_0 \quad -0.07\%$$

$$M_y \text{ の } ⑤ = \sum_{m=17}^{23} \sum_{n=1}^7 \{ \text{''} \} = +1.328 p_0 \quad 0.23\%$$

$$M_y \text{ の } ⑥ = \sum_{m=25}^{31} \sum_{n=1}^7 \{ \text{''} \} = -0.456 p_0 \quad -0.08\%$$

$$\text{計} \quad +560.423 p_0 \quad 100.00\%$$

以上の結果より判断すると、實用上 M_x, M_y 共に m, n は 1 より 7 迄採つて計算したる①のみで充分である。

w_1 と w_2 とを比較すると、 w_2 の影響は w_1 の値かに 1% に足りぬから、かくの如く版の中心點に荷重のあるときは w, M 共に實用的には w_1, M_{x1}, M_{y1} の計算により大略を察知する事が出来る。

(3) 等分布荷重が版の全面に在る場合

この場合の A_{mn} は

$$A_{mn} = \frac{16p_0a^4}{N\pi^4 mn \left\{ \left(m^2 + \frac{a^2}{b^2} n^2 \right)^2 + \frac{a^4 \lambda^4}{\pi^4} \right\}}$$

$$= \frac{16p_0}{N\pi^6 m^6 n^6 \left\{ \left(\frac{1}{a^2} \cdot \frac{1}{n^2} + \frac{1}{b^2} \cdot \frac{1}{m^2} \right)^2 + \frac{\lambda^4}{\pi^4} \cdot \frac{1}{m^4 n^4} \right\}}$$

であつて (1) の場合との差異は $\sin m\pi\xi_0 \sin m\pi\xi_1 \sin n\pi\eta_0 \sin n\pi\eta_1$ の項が 1 となり、又 $m, n = 1, 3, 5, \dots, \infty$ であるから、 P_n の項は消失することである。即ち、 w, M 等は、

$$\begin{aligned} w_1 &= \sum_m \sum_n \frac{16p_0}{N\pi^6 m^6 n^6 \left\{ \left(\frac{1}{a^2} \cdot \frac{1}{n^2} + \frac{1}{b^2} \cdot \frac{1}{m^2} \right)^2 + \frac{\lambda^4}{\pi^4} \cdot \frac{1}{m^4 n^4} \right\}} \sin m\pi\xi \sin n\pi\eta \\ w_2 &= \sum_n \left[E_n \left\{ (1-\nu) \frac{a^2}{b^2} n^2 f(x) + \frac{a^2 \lambda^2}{\pi^2} \phi(x) \right\} \sin n\pi\eta \right. \\ &\quad \left. - M_{w1} \frac{16p_0 \left(\frac{1}{a^2} \cdot \frac{1}{n^2} + \nu \frac{1}{b^2} \cdot \frac{1}{m^2} \right)}{\pi^4 m^3 n^3 \left\{ \left(\frac{1}{a^2} \cdot \frac{1}{n^2} + \frac{1}{b^2} \cdot \frac{1}{m^2} \right)^2 + \frac{\lambda^4}{\pi^4} \cdot \frac{1}{m^4 n^4} \right\}} \sin m\pi\xi \sin n\pi\eta \right] \\ M_{w1} &= -N \sum_n \left[E_n \left\{ (1-\nu) \frac{\pi^2 a^2}{b^4} n^4 + \frac{a^2 \lambda^4}{\pi^2} \right\} f(x) \right] \sin n\pi\eta \end{aligned}$$

にて表される。

前同様の計算を施すと、版の中心點にて

	比率
w_1 の ① = $\sum_{m=1}^7 \sum_{n=1}^7 \{\text{公式}\} = 11.264 (10^{-2} p_0)$	99.66 %
w_1 の ② = $\sum_{m=1}^7 \sum_{n=9}^{15} \{\text{''}\} = 0.032 (\text{''})$	0.28 %
w_1 の ③ = $\sum_{m=9}^{15} \sum_{n=1}^7 \{\text{''}\} = 0.006 (\text{''})$	0.05 %
w_1 の ④ = $\sum_{m=9}^{15} \sum_{n=9}^{15} \{\text{''}\} = 0.000 (\text{''})$	0.00 %
w_1 の ⑤ = $\sum_{m=17}^{23} \sum_{n=1}^7 \{\text{''}\} = 0.000 (\text{''})$	0.00 %
w_1 の ⑥ = $\sum_{m=25}^{31} \sum_{n=1}^7 \{\text{''}\} = 0.000 (\text{''})$	0.00 %
w_1 の ⑦ = $\sum_{m=1}^7 \sum_{n=17}^{23} \{\text{''}\} = 0.001 (\text{''})$	0.01 %
計	11.303 (\text{''})
	100.00 %

以上の如くなるから w_1 は①の計算のみで充分である。

w_2 は版の中心點にて、

	比率
w_2 の ① = $\sum_{m=1}^7 \sum_{n=1}^7 \{\text{公式}\} = -0.879 (10^{-2} p_0)$	76.70 %
w_2 の ② = $\sum_{m=1}^7 \sum_{n=9}^{15} \{\text{''}\} = +0.000 (\text{''})$	-0.00 %
w_2 の ③ = $\sum_{m=9}^{15} \sum_{n=1}^7 \{\text{''}\} = -0.150 (\text{''})$	13.87 %

w_2 の ④ = $\sum_{m=9}^{15} \sum_{n=9}^{15} \{ \cdot \cdot \cdot \} = +0.000$	(")	-0.00 %
w_2 の ⑤ = $\sum_{m=17}^{23} \sum_{n=1}^7 \{ \cdot \cdot \cdot \} = -0.054$	(")	4.71 %
w_2 の ⑥ = $\sum_{m=25}^{31} \sum_{n=1}^7 \{ \cdot \cdot \cdot \} = -0.027$	(")	2.36 %
w_2 の ⑦ = $\sum_{m=1}^7 \sum_{n=9}^{23} \{ \cdot \cdot \cdot \} = +0.000$	(")	-0.00 %
w_2 の ⑧ = $\sum_{m=33}^{39} \sum_{n=1}^7 \{ \cdot \cdot \cdot \} = -0.016$	(")	1.40 %
w_2 の ⑩ = $\sum_{m=41}^{47} \sum_{n=1}^7 \{ \cdot \cdot \cdot \} = -0.011$	(")	0.96 %
計	-1.146 (")	100.00 %

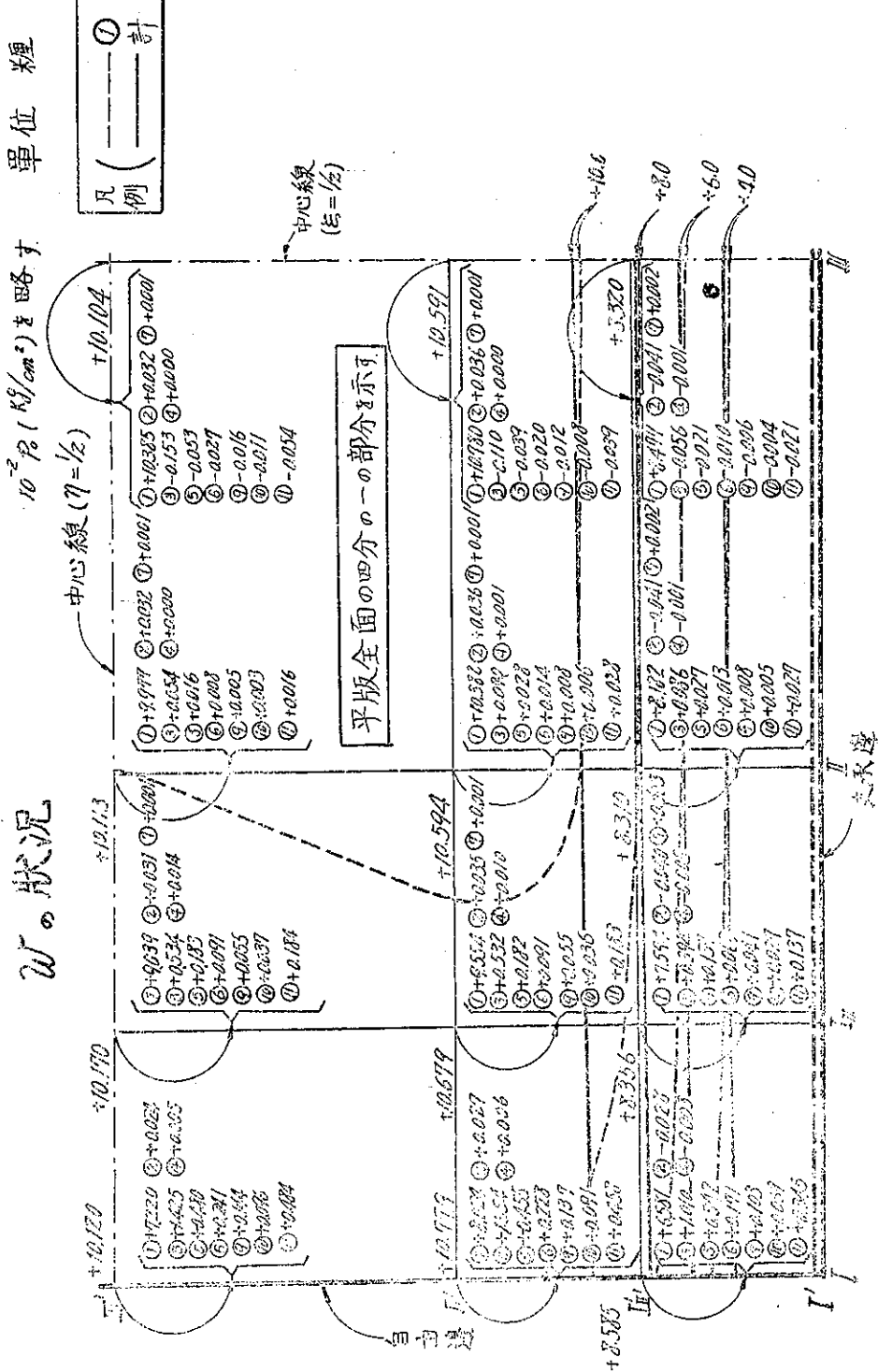
以上の如く w_2 は m の方向に收斂が緩慢であつて、これの影響は w_1 の 10 % に過ぎないが、 $y=b/2$ 線上の先端 (III' の "I") の點に於ける w_2 を見ると、

	比率
w_2 の ① = $\sum_{m=1}^7 \sum_{n=1}^7 \{ \text{公式} \} = 7.220(10^{-2} p_0)$	74.94 %
w_2 の ② = $\sum_{m=1}^7 \sum_{n=9}^{15} \{ \cdot \cdot \cdot \} = 0.024$	0.25 %
w_2 の ③ = $\sum_{m=9}^{15} \sum_{n=1}^7 \{ \cdot \cdot \cdot \} = 1.425$	14.79 %
w_2 の ④ = $\sum_{m=9}^{15} \sum_{n=9}^{15} \{ \cdot \cdot \cdot \} = 0.005$	0.05 %
w_2 の ⑤ = $\sum_{m=17}^{23} \sum_{n=1}^7 \{ \cdot \cdot \cdot \} = 0.480$	4.98 %
w_2 の ⑥ = $\sum_{m=25}^{31} \sum_{n=1}^7 \{ \cdot \cdot \cdot \} = 0.241$	2.50 %
w_2 の ⑧ = $\sum_{m=33}^{39} \sum_{n=1}^7 \{ \cdot \cdot \cdot \} = 0.144$	1.49 %
w_2 の ⑩ = $\sum_{m=41}^{47} \sum_{n=1}^7 \{ \cdot \cdot \cdot \} = 0.096$	1.00 %
計	9.635 (")
	100.00 %

となつて、版の縁に於ては m に就いて收斂が緩慢であると同時に w_1 は 0 であるから w_2 のみの影響となり其の數値も中心點の w_1 の値と等しからず寧ろ大きくなる性質のものである。依つて w の全體として見るときは版の中心點にて次の如き結果となる。

	比率
w の ① = $\sum_{m=1}^7 \sum_{n=1}^7 \{ \text{公式} \} = 10.385(10^{-2} p_0)$	102.24 %
w の ② = $\sum_{m=1}^7 \sum_{n=9}^{15} \{ \cdot \cdot \cdot \} = 0.032$	0.32 %
w の ③ = $\sum_{m=9}^{15} \sum_{n=1}^7 \{ \cdot \cdot \cdot \} = -0.153$	-1.51 %

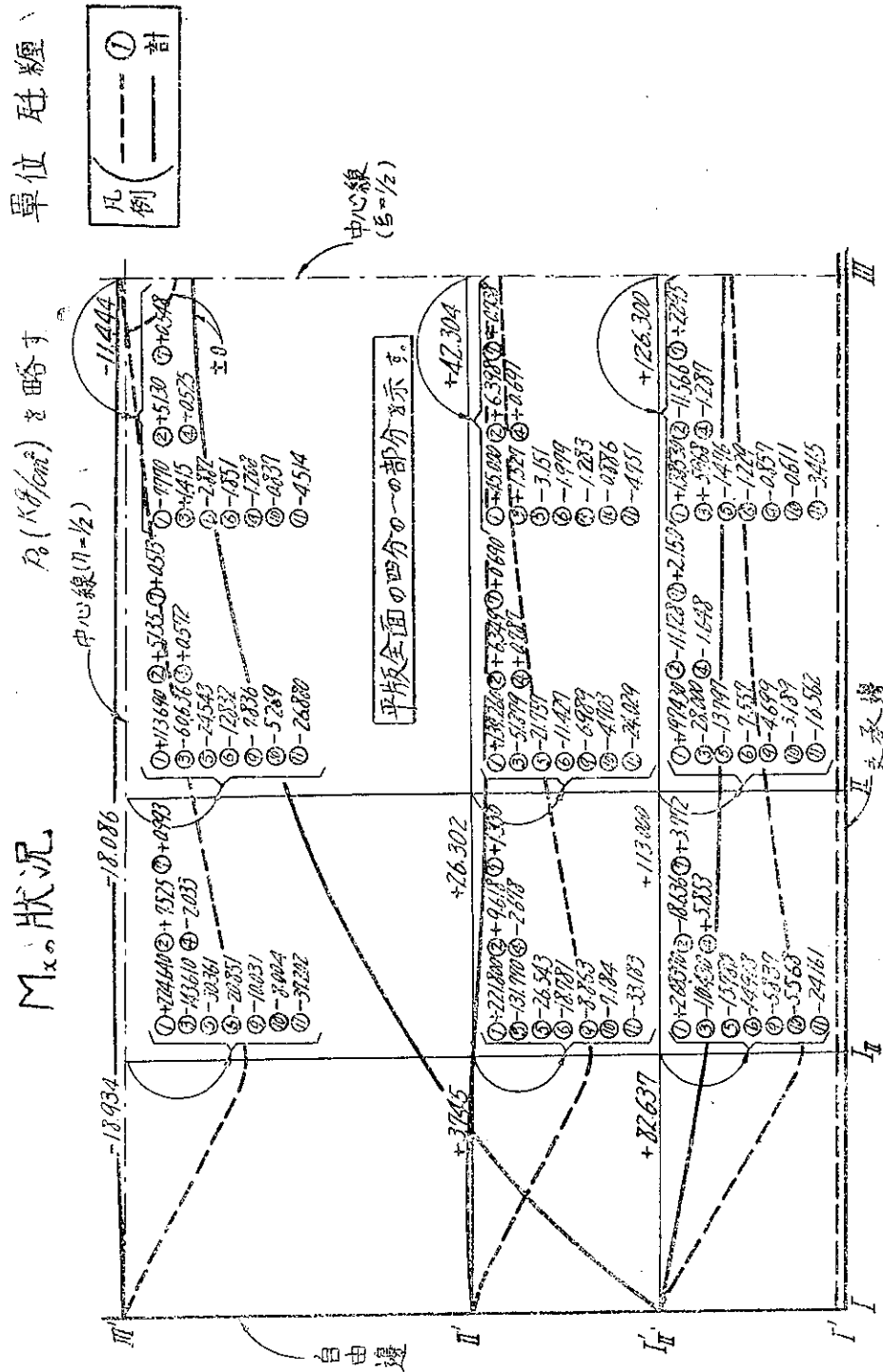
壁介布荷重が版全面に在る場合
 \bar{W} の状況



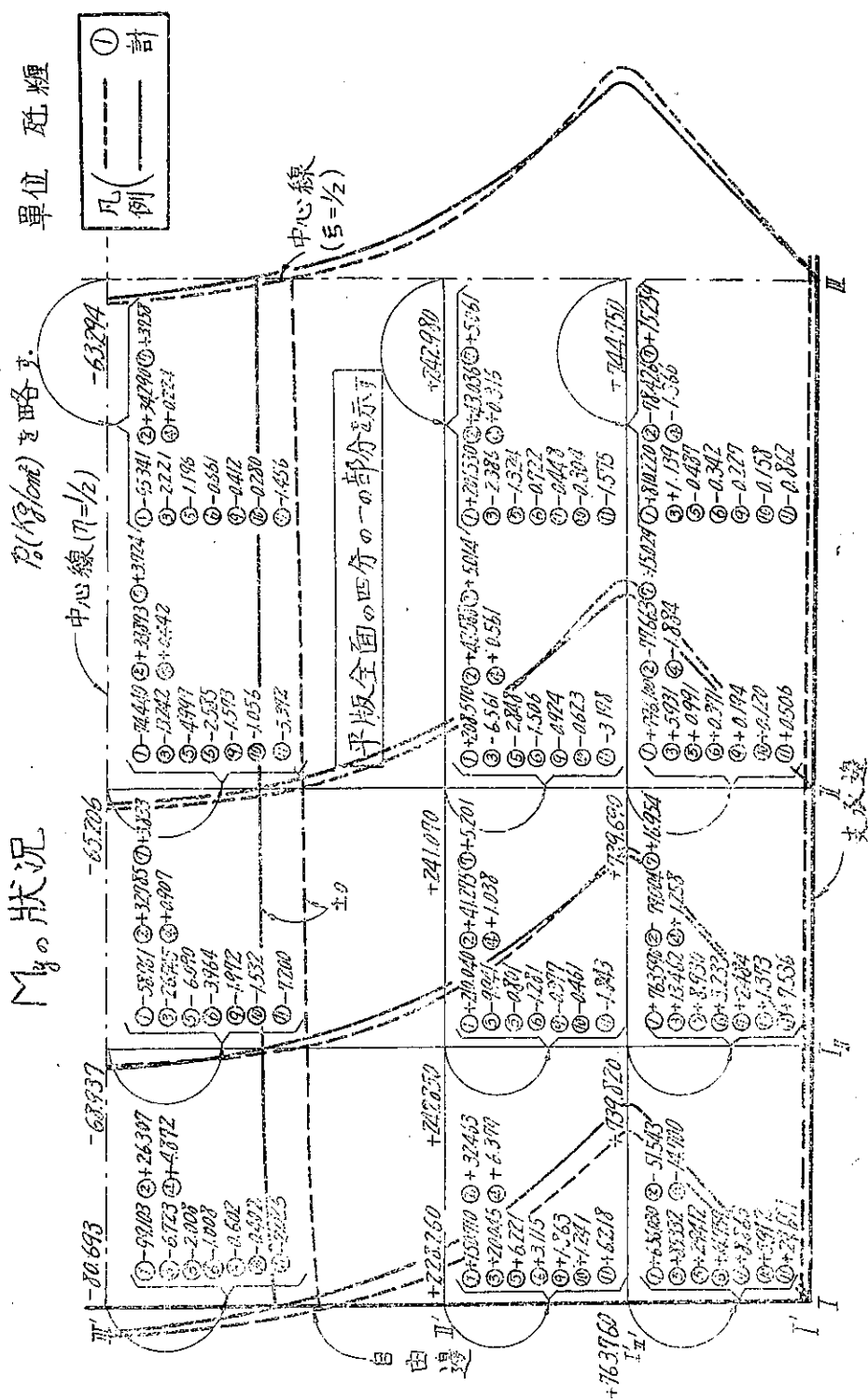
等分布荷重が版全面に在る場合

M_x の状況

P_0 (kg/cm^2) を略す



等分析着重於版全面，在場合



$$\begin{aligned}
 w の ④ &= \sum_{m=9}^{15} \sum_{n=9}^{15} \{ \cdot \cdot \cdot \} = 0.000 (\text{''}) & 0.00\%
 \\
 w の ⑤ &= \sum_{m=17}^{23} \sum_{n=1}^7 \{ \cdot \cdot \cdot \} = -0.053 (\text{''}) & -0.52\%
 \\
 w の ⑥ &= \sum_{m=25}^{31} \sum_{n=1}^7 \{ \cdot \cdot \cdot \} = -0.027 (\text{''}) & -0.26\%
 \\
 w の ⑦ &= \sum_{m=33}^{39} \sum_{n=1}^7 \{ \cdot \cdot \cdot \} = -0.016 (\text{''}) & -0.16\%
 \\
 w の ⑧ &= \sum_{m=41}^{47} \sum_{n=1}^7 \{ \cdot \cdot \cdot \} = -0.011 (\text{''}) & -0.11\%
 \\
 \text{計} & & 10.157 (\text{''}) & 100.00\%
 \end{aligned}$$

以上の如く版の中心點に於ては w_1 の影響が大きく, w_2 の影響が少ないので實用上は①のみで充分であるが, 版の縁では w_2 の影響が大きいので m を 47 迄取つても尚收斂が遅れることは前表に示す通りである。

$m=47$ までを以上の如く計算し, 夫れ以下の m についても,

$$A_{mn} = \frac{16 p_0 a^4}{N \pi^6 m n \left(\left(m^2 + \frac{a^2}{b^2} n^2 \right)^2 + \frac{a^4 \lambda^4}{\pi^4} \right)}$$

の式にて m が 49 以上になると, $a^2/b^2 = 0.44444 \dots$, $a^4 \lambda^4 / \pi^4 = 43.261 \dots$ であるから, $m^2 = 49^2 = 2401$ と比較すると, a^2/b^2 , $a^4 \lambda^4 / \pi^4$ は共に非常に小さいと見做し, 是等を無視して n が小なる間は,

$$A_{mn} \approx \frac{16 p_0 a^4}{N \pi^6 m^5 n}$$

と考へ得る。而して E_n の分子は,

$$[E_n \text{ の分子}] = \sum_m A_{mn} \frac{1 - (-1)^m}{2} m \left\{ m^2 + (2 - \nu) \frac{a^2}{b^2} n^2 \right\}$$

これも $m=49$ 以上に於て m 以外の項を無視すると,

$$\begin{aligned}
 [E_n \text{ の分子}] &\approx \sum_n A_{mn} m^5 \quad (m \text{ は奇数}) \\
 &\approx \sum_m \frac{16 p_0 a^4 m^8}{N \pi^6 m^5 n} = \frac{16 p_0 a^4}{N \pi^6 n} \sum_m \frac{1}{m^2}
 \end{aligned}$$

となる。然るに $\sum_m \frac{1}{m^2} = \frac{\pi^2}{6}$ $m=1, 2, 3, \dots \infty$

$$\sum_m \frac{1}{m^2} = \frac{3}{4} \cdot \frac{\pi^2}{6} = 1.233700550 \quad m=1, 3, 5, \dots \infty$$

$$\sum_{m=1}^{47} \frac{1}{m^2} = 1.223250789$$

よつて m が 49 以降無限大までの $\sum_{m=49}^{\infty} \frac{1}{m^2} = 0.010449761$ を得る。

これを用ひて計算すると各點の w, M_x, M_y は圖表-2~4 の如く得られる。

圖表-2~4 の沈下 w の状況を見ると, $\xi=0, \xi=1/8, \xi=1/4, \xi=1/2$ の各線と, $\eta=1/2$ 線が交叉する各點の沈下量は殆んど等しくて, $\xi=0$ 線即ち版の縁上の點 (III'~I) の沈下が極めて僅かに大きいのである。この事は $\eta=1/4, \eta=1/8$ 線上の各交點についても同様である。依つて實用上は中央線 ($\xi=1/2$) 上の各點の沈下量を $\xi=0, \xi=1/8, \xi=1/4$ 線上の各點に適用出来るものである。その計算は m, n 共に 1 より 7 迄を採用した①のみで充

弹性地盤上の版

分析荷重 $\frac{x}{a} = \xi_1 = \frac{3}{4}, \frac{y}{b} = \eta_1 = \frac{3}{4}$ に在る場合 (其の一)

$$C = 10 \text{ kg/cm}^2$$

$$V = \frac{1}{6}$$

$$h = 1.5 \text{ cm.}$$

$$a = 400 \text{ cm}$$

$$\beta = 600 \text{ cm}$$

$$E = 21,000 \text{ kg/cm}^2$$

$$\lambda^4 = \frac{E h^3}{12(1-V^2)} = 60,748,000 \text{ kg-cm}^4$$

$$P_o = 1 \text{ kg/cm}^2$$

$$2\mu = 100 \text{ cm}$$

$$2V = 1.00 \text{ cm}$$

$$E'_n = \frac{\sum_m A_{mn} \frac{1-(-1)^m}{2} m \left\{ m^2 + (2-V) \frac{a^2}{b^2} n^2 \right\}}{-a_n \sin \pi b n - a_n \sin \theta \pi p_n} = \frac{\sum_m A'_{mn} E'}{Q}$$

$$F'_n = \frac{\sum_m A_{mn} \frac{1+(-1)^m}{2} m \left\{ m^2 + (2-V) \frac{a^2}{b^2} n^2 \right\}}{a_n \sin \pi b n - a_n \sin \theta \pi p_n} = \frac{\sum_m A'_{mn} F'}{Q}$$

上式中

$$P_n = \sqrt{\frac{\frac{a^2}{b^2} n^4 + \frac{a^2}{b^2} \lambda^2 + \frac{a^2}{b^2} n^2}{2}}$$

$$Q_n = \sqrt{\frac{\frac{a^2}{b^2} n^4 + \frac{a^2}{b^2} \lambda^2 - \frac{a^2}{b^2} n^2}{2}}$$

$$A'_{mn} = \frac{\sin m \pi b n \sin m \pi b n \sin m \pi p_n}{\pi^6 m^2 (m^2 + \frac{a^2}{b^2} n^2)^2 + \frac{a^2 \lambda^4}{b^2} n^2}$$

$$a_n = \{(1-V) \frac{a^2}{b^2} \lambda^2 - \frac{a^2}{b^2} \lambda^2\} P_n + 2(1-V) \frac{a^2}{b^2} \lambda^2 n^2 p_n$$

$$a'_n = \{(1-V)^2 \frac{a^2}{b^2} \lambda^2 - \frac{a^2}{b^2} \lambda^2\} Q_n - 2(1-V) \frac{a^2}{b^2} \lambda^2 n^2 p_n$$

 $m = 1, 2, 3, 4, 5, 6, 7;$

表-1.

n	b_n	g_n	A'_{mn}	$m = 1$	$m = 2$	$m = 3$	$m = 4$	$m = 5$	$m = 6$	$m = 7$
1	1.8757	1.7533	1	+0.000 000 13	-0.000 001 06	+0.000 000 31	0.000 000 06	-0.000 000 03	+0.000 000 01	-0.000 000 00
2	2.0726	1.5868	2	-0.000 001 38	+0.000 001 19	-0.030 000 35	0.000 000 00	+0.000 000 04	-0.000 000 02	+0.000 000 00
3	2.4185	1.3598	3	+0.000 000 68	-0.000 000 57	+0.930 000 17	0.000 000 03	-0.000 000 02	+0.000 000 01	-0.000 000 00
4	2.8981	1.1348	4	0.000 000 00	0.000 000 03	0.050 000 00	0.000 000 00	0.000 000 00	0.000 000 00	0.000 000 00
5	3.4658	0.9489	5	-0.000 000 10	+0.000 000 10	-0.4350 000 06	0.000 000 00	+0.000 000 01	-0.000 000 00	+0.000 000 00
6	4.0804	0.8059	6	+0.000 000 14	-0.000 000 13	+0.600 000 05	0.000 000 03	-0.000 000 01	+0.000 000 00	-0.000 000 00
7	4.7185	0.6967	7	-0.000 000 04	+0.000 000 05	-0.000 000 02	0.000 000 00	+0.000 000 00	-0.000 000 00	+0.000 000 00

n	b_n	g_n	A'_{mn}	$m = 1$	$m = 2$	$m = 3$	$m = 4$	$m = 5$	$m = 6$	$m = 7$
1	1.8757	1.7533	1	+0.000 000 13	-0.000 001 06	+0.000 000 31	0.000 000 06	-0.000 000 03	+0.000 000 01	-0.000 000 00
2	2.0726	1.5868	2	-0.000 001 38	+0.000 001 19	-0.030 000 35	0.000 000 00	+0.000 000 04	-0.000 000 02	+0.000 000 00
3	2.4185	1.3598	3	+0.000 000 68	-0.000 000 57	+0.930 000 17	0.000 000 03	-0.000 000 02	+0.000 000 01	-0.000 000 00
4	2.8981	1.1348	4	0.000 000 00	0.000 000 03	0.050 000 00	0.000 000 00	0.000 000 00	0.000 000 00	0.000 000 00
5	3.4658	0.9489	5	-0.000 000 10	+0.000 000 10	-0.4350 000 06	0.000 000 00	+0.000 000 01	-0.000 000 00	+0.000 000 00
6	4.0804	0.8059	6	+0.000 000 14	-0.000 000 13	+0.600 000 05	0.000 000 03	-0.000 000 01	+0.000 000 00	-0.000 000 00
7	4.7185	0.6967	7	-0.000 000 04	+0.000 000 05	-0.000 000 02	0.000 000 00	+0.000 000 00	-0.000 000 00	+0.000 000 00

表-2. 弾性地盤上の版

分布荷重が $x_0/a = \xi_0 = 3/4$, $y_0/b = \eta_0 = 3/4$ に在る場合（其の二）

n	$m = 2$	$m = 4$	$\sum_m A_{mn} F'$
1	+0.000 002 06	+0.000 009 21	-0.000 004 64
2	-0.000 005 87	-0.000 013 06	+0.000 006 31
3	+0.000 005 72	+0.000 008 71	-0.000 004 14
4	0.000 000 00	0.000 000 00	0.000 000 00
5	-0.000 000 32	-0.000 006 68	+0.000 003 12
6	+0.000 004 28	+0.000 006 49	-0.000 003 56
7	-0.000 001 99	-0.000 005 27	+0.000 001 92

n	$m = 2$	$m = 4$	$\sum_m A_{mn} E'$
1	+0.000 002 06	+0.000 009 21	-0.000 004 64
2	-0.000 005 87	-0.000 013 06	+0.000 006 31
3	+0.000 005 72	+0.000 008 71	-0.000 004 14
4	0.000 000 00	0.000 000 00	0.000 000 00
5	-0.000 000 32	-0.000 006 68	+0.000 003 12
6	+0.000 004 28	+0.000 006 49	-0.000 003 56
7	-0.000 001 99	-0.000 005 27	+0.000 001 92

n	$m = 2$	$m = 4$	$\sum_m A_{mn} F'$
1	-0.000 010 28	0.000 000 00	+0.000 003 61
2	+0.000 017 41	0.000 000 00	-0.000 004 90
3	-0.000 012 95	0.000 000 00	+0.000 003 23
4	0.000 000 00	0.000 000 00	0.000 000 00
5	+0.000 000 01	0.000 000 00	-0.000 002 50
6	-0.000 000 21	0.000 000 00	+0.000 002 91
7	+0.000 004 45	0.000 000 00	-0.000 001 61

n	$m = 2$	$m = 4$	$\sum_m A_{mn} E'$
1	+0.000 002 06	+0.000 009 21	-0.000 004 64
2	-0.000 005 87	-0.000 013 06	+0.000 006 31
3	+0.000 005 72	+0.000 008 71	-0.000 004 14
4	0.000 000 00	0.000 000 00	0.000 000 00
5	-0.000 000 32	-0.000 006 68	+0.000 003 12
6	+0.000 004 28	+0.000 006 49	-0.000 003 56
7	-0.000 001 99	-0.000 005 27	+0.000 001 92

表-3.

彈性地盤上の版、分布荷重が $\frac{x}{a} = \frac{5}{4}, \frac{y}{b} = \frac{3}{4}$ の場合、 $a = 400$ 單位 kg/cm

部の位置			W_1	W_2	W	M_x	M_y
$x/a = \frac{y}{b}$	y/b						
$\frac{5}{4}$	I	$\frac{3}{4}$	0.000 000	0.000 000	0.000 000	0.000 000	0.000 000
	II	$\frac{1}{4}$	0.000 000	0.000 000	0.000 000	0.000 000	0.000 000
	III	$\frac{3}{4}$	0.000 000	0.000 000	0.000 000	0.000 000	0.000 000
	IV	$\frac{3}{4}$	0.000 000	0.000 000	0.000 000	0.000 000	0.000 000
	V	$\frac{1}{4}$	0.000 000	0.000 000	0.000 000	0.000 000	0.000 000
	VI	$\frac{3}{4}$	0.000 000	0.000 000	0.000 000	0.000 000	0.000 000
$\frac{1}{2}$	I	$\frac{3}{4}$	0.000 000	+0.000 058	+0.000 068	0.000 000	+0.553 160
	II	$\frac{1}{4}$	-0.000 009	-0.000 034	+0.000 024	-0.057 390	+0.889 870
	III	$\frac{3}{4}$	-0.000 028	+0.000 028	+0.000 030	+0.159 590	+1.446 100
	IV	$\frac{3}{4}$	-0.000 086	+0.000 043	-0.000 043	+0.163 180	+3.001 500
	V	$\frac{1}{4}$	-0.000 032	+0.000 021	-0.000 060	+1.870 800	+5.504 600
	VI	$\frac{3}{4}$	-0.000 049	-0.000 034	-0.000 084	+1.279 300	+7.564 760
$\frac{1}{4}$	I	$\frac{3}{4}$	0.000 000	-0.000 224	-0.000 224	0.000 000	+7.458 000
	II	$\frac{1}{4}$	0.000 000	-0.000 224	-0.000 224	0.000 000	+7.458 000
	III	$\frac{3}{4}$	0.000 000	+0.000 079	+0.000 079	0.000 000	+1.691 300
	IV	$\frac{3}{4}$	-0.000 082	+0.000 058	-0.000 028	+0.345 670	+1.919 000
	V	$\frac{1}{4}$	-0.000 180	+0.000 048	-0.000 131	+0.409 420	+2.325 900
	VI	$\frac{3}{4}$	-0.000 366	+0.000 035	-0.000 330	-0.147 700	+0.782 800
$\frac{3}{4}$	I	$\frac{3}{4}$	-0.000 342	-0.000 173	-0.000 516	+1.472 900	-2.757 500
	II	$\frac{1}{4}$	-0.000 191	-0.000 538	-0.000 732	+4.928 300	-0.306 500
	III	$\frac{3}{4}$	-0.000 000	-0.001 092	-0.001 092	0.000 000	+5.945 300
	IV	$\frac{3}{4}$	-0.000 000	-0.000 173	-0.000 516	+1.472 900	-2.757 500
	V	$\frac{1}{4}$	-0.000 000	-0.000 538	-0.000 732	+4.928 300	-0.306 500
	VI	$\frac{3}{4}$	-0.000 000	-0.000 483	-0.000 483	0.000 000	+5.945 300
$\frac{5}{4}$	I	$\frac{3}{4}$	0.000 000	-0.000 416	-0.000 416	0.000 000	+0.532 530
	II	$\frac{1}{4}$	-0.000 151	-0.000 151	-0.000 588	-2.045 600	-1.876 800
	III	$\frac{3}{4}$	-0.000 603	-0.000 046	-0.000 649	-13.291 000	-4.310 100
	IV	$\frac{3}{4}$	+0.001 377	-0.000 277	+0.001 099	-24.011 000	-65.342 000
	V	$\frac{1}{4}$	+0.004 283	-0.000 559	+0.003 724	+23.155 000	-157.130 000
	VI	$\frac{3}{4}$	+0.003 023	-0.000 416	+0.002 607	+22.769 000	-140.430 000
$\frac{7}{4}$	I	$\frac{3}{4}$	0.000 000	-0.000 483	-0.000 483	0.000 000	-111.820 000
	II	$\frac{1}{4}$	-0.000 000	-0.000 483	-0.000 483	0.000 000	-111.820 000
	III	$\frac{3}{4}$	-0.000 000	-0.000 483	-0.000 483	0.000 000	-111.820 000
	IV	$\frac{3}{4}$	-0.000 000	-0.000 483	-0.000 483	0.000 000	-111.820 000
	V	$\frac{1}{4}$	-0.000 000	-0.000 483	-0.000 483	0.000 000	-111.820 000
	VI	$\frac{3}{4}$	-0.000 000	-0.000 483	-0.000 483	0.000 000	-111.820 000
$\frac{3}{2}$	I	$\frac{3}{4}$	0.000 000	-0.000 947	-0.000 947	0.000 000	-4.601 000
	II	$\frac{1}{4}$	-0.000 338	-0.000 420	-0.000 758	-16.519 000	-4.807 000
	III	$\frac{3}{4}$	+0.000 453	-0.000 208	+0.000 225	-63.161 000	-3.147 800
	IV	$\frac{3}{4}$	+0.013 893	-0.000 439	+0.013 454	-157.230 000	+155.230 000
	V	$\frac{1}{4}$	+0.037 117	+0.002 059	+0.039 176	+54.684 000	+53.932 000
	VI	$\frac{3}{4}$	+0.024 526	+0.008 410	+0.032 597	+190.550 000	+197.910 000
$\frac{7}{4}$	I	$\frac{3}{4}$	0.000 000	+0.020 695	+0.020 695	0.000 000	+242.820 000
	II	$\frac{1}{4}$	-0.000 000	+0.020 695	+0.020 695	0.000 000	+242.820 000
	III	$\frac{3}{4}$	-0.000 000	+0.020 695	+0.020 695	0.000 000	+242.820 000
	IV	$\frac{3}{4}$	-0.000 000	+0.020 695	+0.020 695	0.000 000	+242.820 000
	V	$\frac{1}{4}$	-0.000 000	+0.020 695	+0.020 695	0.000 000	+242.820 000
	VI	$\frac{3}{4}$	-0.000 000	+0.020 695	+0.020 695	0.000 000	+242.820 000
$\frac{5}{4}$	I	$\frac{3}{4}$	0.000 000	-0.020 666	-0.000 666	0.000 000	-4.461 400
	II	$\frac{1}{4}$	-0.000 200	-0.000 297	-0.000 508	-11.364 000	-5.044 200
	III	$\frac{3}{4}$	+0.000 320	-0.000 153	+0.000 166	-41.721 000	-6.693 600
	IV	$\frac{3}{4}$	+0.008 601	-0.000 302	+0.008 299	-80.179 000	+7.272 500
	V	$\frac{1}{4}$	+0.020 763	+0.001 399	+0.022 162	+22.570 000	+35.491 000
	VI	$\frac{3}{4}$	+0.013 883	+0.005 425	+0.019 304	+90.498 000	+33.675 000
∇	I	$\frac{3}{4}$	0.000 000	+0.012 568	+0.012 568	0.000 000	+72.595 000
	II	$\frac{1}{4}$	0.000 000	0.000 000	0.000 000	0.000 000	0.000 000
	III	$\frac{3}{4}$	0.000 000	0.000 000	0.000 000	0.000 000	0.000 000
	IV	$\frac{3}{4}$	0.000 000	0.000 000	0.000 000	0.000 000	0.000 000
	V	$\frac{1}{4}$	0.000 000	0.000 000	0.000 000	0.000 000	0.000 000
	VI	$\frac{3}{4}$	0.000 000	0.000 000	0.000 000	0.000 000	0.000 000

添字 p は省略す。

分であることが知られる。

且つ w の式にて $\xi=1/2$ とすると

$$f(x)=2 \sinh \frac{\pi p_n}{2} \sin \frac{\pi q_n}{2}$$

$$\phi(x)=2 \cosh \frac{\pi p_n}{2} \cos \frac{\pi q_n}{2}$$

$$\sin m\pi\xi=(-1)^{\frac{m-1}{2}} \quad m=1, 3, 5, 7, \dots \infty$$

となるから $\xi=1/2$ 線上の w は

$$w=\sum_n \left[E_n \left\{ 2(1-\nu) \frac{a^2}{b^2} n^2 \sinh \frac{\pi p_n}{2} \sin \frac{\pi q_n}{2} + \frac{2a^2 \lambda^2}{\pi^2} \cosh \frac{\pi p_n}{2} \cos \frac{\pi q_n}{2} \right\} + \sum_m A_{mn} (-1)^{\frac{m-1}{2}} \right] \sin m\pi\eta$$

$$m, n=1, 3, 5, 7, \dots \infty$$

$$A_{mn}=\frac{16 p_0 a^4}{N \pi^6 m n \left\{ \left(m^2 + \frac{a^2}{b^2} n^2 \right)^2 + \frac{a^4 \lambda^4}{\pi^4} \right\}}$$

の簡単なる式を得る。

M_x の量は $\xi=1/2$ 線上のものが最大で他の各點のものは小さいから $\eta=1/2$ 線上のものを除き, 實用上は $\xi=1/2$ で而かも m, n 共に 1 より 7 迄を採用した①のみの計算で充分である。たゞ $\eta=1/2$ 線上の M_x は $\xi=1/8, \xi=1/4$ 線との交點附近にて最大であるが其量は小さいものである。

M_y は數字表に示す如く其收斂が n の方向に緩慢であるが大體に於て $\xi=1/8, \xi=1/4, \xi=1/2$ 線上のものは殆んど等しく, たゞ $\xi=0$ 即ち版の縁に於ける値が少し不同である。この M_y に就ても $\xi=1/2$ 線上のもので實用上は差支へないのである。その計算は m, n 共 1 より 7 迄の①とするか, 或は m を 1 より 7 まで, n を 1 より 23 迄取つた①②⑦を採用すればより正確に近い數値が得られる。

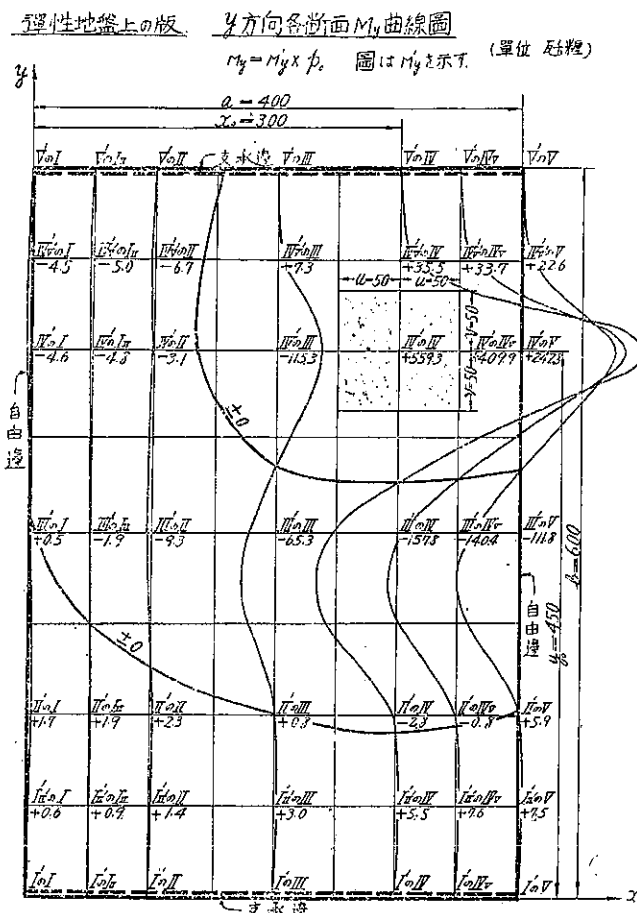
(B) 附圖の説明

(1) 弾性地盤上の $a=400$ cm, $b=600$ cm の矩形版にて分布荷重が $x_0/a=\xi_0=3/4, y_0/b=\eta_0=3/4$ に在る場合 $2u=2v=100$ cm, $p_0=1$ kg/cm² の等分布荷重に對する常數の値は表-1, w, M_x, M_y の値は表-3 に示す通りである。圖-1 は本表計算値より製作せる撓度の等高線圖である。之によると沈下の最大値は荷重の直下に起り, これを遠ざかるに従つて急に減少して版は僅少の浮上りを生じ, 又左下の部分に極めて僅かの量ではあるが版は再び沈下を生ずることが分かる。而して, (圖-2, 3 省略) に依れば最大浮上りは最大沈下の約 40 分の 1 程度に過ぎない。又 w を w_1 及び w_2 に分けて考へると (圖-6, 7 省略) w_1 は荷重の中心にて w_2 の約 18 倍も影響するが, 版の兩端にては w_2 のみの影響で w_1 は四邊支承せられたる版の撓度であるから當然 0 である。 x 一方向の斷面では w_2 は荷重に近い自由邊に於て最大となり, 且つ浮上りの影響も w_1 よりは w_2 の方が遙かに大きい事が判る。 w_1 と w_2 との曲線は全然異つた形を持つて居る。荷重の中心を通る斷面 IV' の各點の沈下と之より y 一方向に $b/8$ だけ離れた斷面 IV'y' の各點の沈下とを比較するに載荷面積附近に於ては前者は後者の約 2倍に増加してゐる。

M_x は圖-4 に示す如く, 荷重附近に於ては常に正, 其の最大値は $-M_x$ の約 3 倍に達してゐる。

M_y は圖-5 に示す如く, 荷重附近にて正で最大値は矢張り荷重直下に生ずる。荷重點を遠ざかるに従つて急に減少して其符号を變ずるが, $-M_y$ も $+M_y$ の 1/3 程度が最大である。更に遠ざかると M_y は再び正となる部分

圖-5.



が生ずる。其の最大値は荷重點附近の $\max M_y$ の値かに 1/80 程度に過ぎぬ。版全體として見渡すと M_y の \pm 方向の變化は稍々波状形を呈し版面は二つの ± 0 線によつて正負正の三つの部分に分割せられる。

(2) 弹性地盤上の $a=400$ cm, $b=600$ cm の矩形版にて分布荷重が $x_0/a=\xi_0=1/2$, $y_0/b=\gamma_0=1/2$ に在る場合 この場合に關する計算結果は表-4 並に表-5 及び圖-8~14 (圖-9, 10, 13, 14 省略) に示す如くである。即ち 正の沈下は荷重點を中心として起り四周邊附近には皆浮き上りを生ずる。これは勿論 C, a, b, u, v 等の大小に關聯するものである。又 w を w_1 と w_2 とに分けて見ると (圖-13, 14 省略) 荷重の中心點にて w_2 の影響は w_1 の約 1/100 程度に過ぎない事が判る。

この事は實用的には w_2 を無視して單に、

$$w = \sum_m \sum_n A_{mn} \sin m\pi\xi \sin n\pi\eta$$

とする事が出来る。此式は第 6 章の (55) 式に外ならないのであつて、荷重の中心が版の中心點と一致し、而かも載荷面積が版面 $a \times b$ に比して小なるときは、近似的に四邊支承邊の版と見做しても大過のないことを意味する。斯る狀態にある道路の鋪裝版の撓度は實用的には上式を適用して計算し得るものと云ふ事が出来る。 M_x は

彈性地盤上の版

分布荷重 $\rho_n = \xi = 1/\rho$, $\eta_n = \eta = 1/\rho$, 在し, 例合

$$\begin{aligned} C &= 10 \text{ kg/cm}^2, & h &= 15 \text{ cm}, \\ V &= 1/6 \text{ cm}, & f &= 600 \text{ cm}, \\ a &= 400 \text{ cm}, \\ E &= 210,000 \text{ kg/cm}^2, \\ N &= \frac{E h^3}{12(1-\nu^2)} = 60,748,000 \text{ kg-cm}, \end{aligned}$$

$$\rho = \frac{C}{N} = 0.0000016461 \text{ cm}^{-4}$$

$$\rho_n = 100 \text{ cm}$$

$$v = 100 \text{ cm}$$

$$E_n = \sum_m A_{mn} \frac{1 - (-1)^m}{2} m \left\{ m + (2-\nu) \frac{\alpha^2}{f^2} n^2 \right\} = \frac{\sum_m A_{mn} E'}{Q'}$$

上式中,

$$\begin{aligned} p_n &= \sqrt{\frac{\alpha^2}{f^2} n^4 + \frac{\alpha^2}{f^2} \lambda^4 + \frac{\alpha^2}{f^2} n^2}, \quad q_n = \sqrt{\frac{\alpha^2}{f^2} n^4 + \frac{\alpha^2}{f^2} \lambda^4 - \frac{\alpha^2}{f^2} n^2} \\ A_{mn} &= \frac{1}{16} (-1)^{\frac{m+1}{2}} \sin m \pi \xi, \quad (-1)^{\frac{m-1}{2}} \sin n \pi \eta, \\ \lambda^4 &= [(1-\nu)^2 \frac{\alpha^2}{f^2} n^4 - \frac{\alpha^2}{f^2} \lambda^4] p_n + 2(1-\nu) \frac{\alpha^2}{f^2} \lambda^2 n^2 q_n \\ a_n &= [(1-\nu)^2 \frac{\alpha^2}{f^2} n^4 - \frac{\alpha^2}{f^2} \lambda^4] q_n - 2(1-\nu) \frac{\alpha^2}{f^2} \lambda^2 n^2 p_n \\ m, n &= 1, 3, 5, 7, \end{aligned}$$

n	p_n	q_n	A'_{mn}
1	1.8757	1.7553	
3	2.4185	1.3598	
5	3.4658	0.9489	
7	4.7135	0.6967	

n	$\sum_m A_{mn} E'$	Q'	$E'_n = \frac{\sum_m A_{mn} E'}{Q'}$
1	-0.000 0.0536	35	-0.000 0.0536
3	-0.000 0.2159	59	+0.000 0.0569
5	+0.000 0.6647	47	-0.000 0.0569
7	-0.000 0.0156	56	+0.000 0.0569

n	$m = 1$	$m = 3$	$m = 5$	A'_{mn}
1	-0.000 0.0000	0.0000	0.0000	0.000 0.0000
3	-0.000 0.0000	0.0000	0.0000	0.000 0.0000
5	+0.000 0.0000	0.0000	0.0000	0.000 0.0000
7	-0.000 0.0000	0.0000	0.0000	0.000 0.0000

n	$\sum_m A_{mn} E'$	Q'	$E'_n = \frac{\sum_m A_{mn} E'}{Q'}$
1	-0.000 0.0000	0.0000	-0.000 0.0000
3	-0.000 0.0000	0.0000	-0.000 0.0000
5	+0.000 0.0000	0.0000	+0.000 0.0000
7	-0.000 0.0000	0.0000	-0.000 0.0000

表-5. 弾性地盤上の版

分布荷重が $\gamma_0/a = \xi_0 = 1/2$, $\gamma_0/b = \eta_0 = 1/2$ に在る場合 $a=400, b=600$ 單位 kg.cm (表中 p_0 は省略す)

點の位置		w_1	w_2	w	M_x	M_y
$y/a = \eta$	$x/a = \xi$					
I	$\frac{1}{4}$	$0.000\ 000$	$0.000\ 000$	$0.000\ 000$	$0.000\ 000$	$0.000\ 000$
	$\frac{1}{2}$	$0.000\ 000$	$0.000\ 000$	$0.000\ 000$	$0.000\ 000$	$0.000\ 000$
	$\frac{3}{4}$	$0.000\ 000$	$0.000\ 000$	$0.000\ 000$	$0.000\ 000$	$0.000\ 000$
	$\frac{1}{4}$	$0.000\ 000$	$0.000\ 000$	$0.000\ 000$	$0.000\ 000$	$0.000\ 000$
	$\frac{3}{4}$	$0.000\ 000$	$0.000\ 000$	$0.000\ 000$	$0.000\ 000$	$0.000\ 000$
II	$\frac{1}{2}$	$0.090\ 000$	$-0.001\ 420$	$-0.001\ 420$	$0.000\ 000$	$+0.889\ 880$
	$\frac{1}{4}$	$-0.000\ 291$	$-0.000\ 562$	$-0.000\ 853$	$+4.504\ 800$	$-7.999\ 000$
	$\frac{3}{4}$	$-0.000\ 411$	$-0.000\ 073$	$-0.000\ 484$	$-0.855\ 100$	$-20.704\ 000$
	$\frac{1}{4}$	$-0.000\ 276$	$+0.000\ 138$	$-0.000\ 138$	$-0.748\ 500$	$-36.773\ 000$
	$\frac{3}{4}$					
III	$\frac{1}{4}$	$0.000\ 000$	$-0.002\ 822$	$-0.002\ 822$	$0.000\ 000$	$-8.945\ 400$
	$\frac{1}{2}$	$+0.000\ 322$	$-0.001\ 101$	$-0.000\ 779$	$-2.895\ 000$	$-25.607\ 000$
	$\frac{3}{4}$	$+0.001\ 376$	$-0.000\ 153$	$+0.001\ 222$	$-10.021\ 000$	$-63.205\ 000$
	$\frac{1}{4}$	$+0.003\ 679$	$+0.000\ 250$	$+0.003\ 930$	$+17.557\ 000$	$-149.600\ 000$
	$\frac{3}{4}$	$+0.037\ 025$	$+0.000\ 357$	$+0.037\ 382$	$+57.350\ 000$	$+543.750\ 000$

図-8.

弾性地盤上の版 等沈下曲線図

(単位 程)

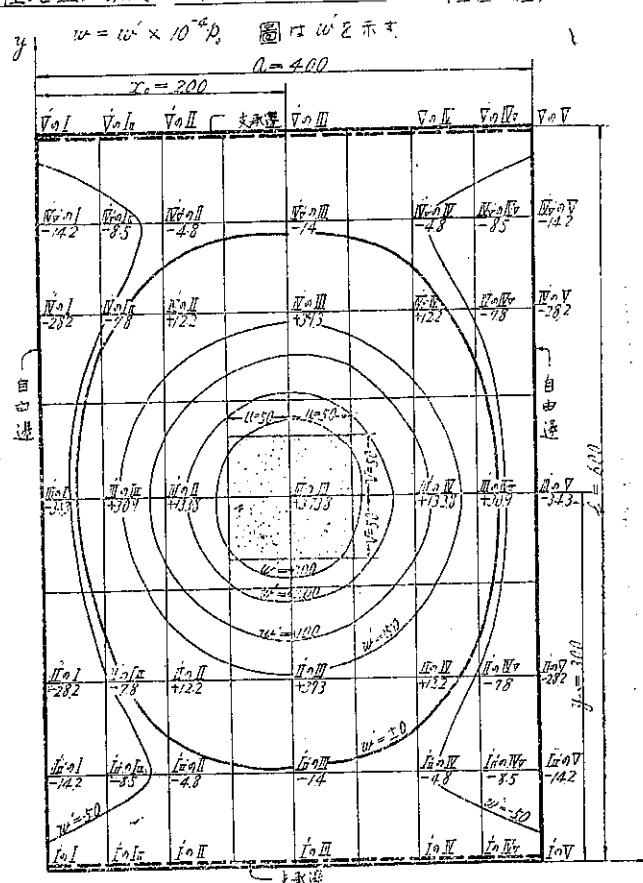
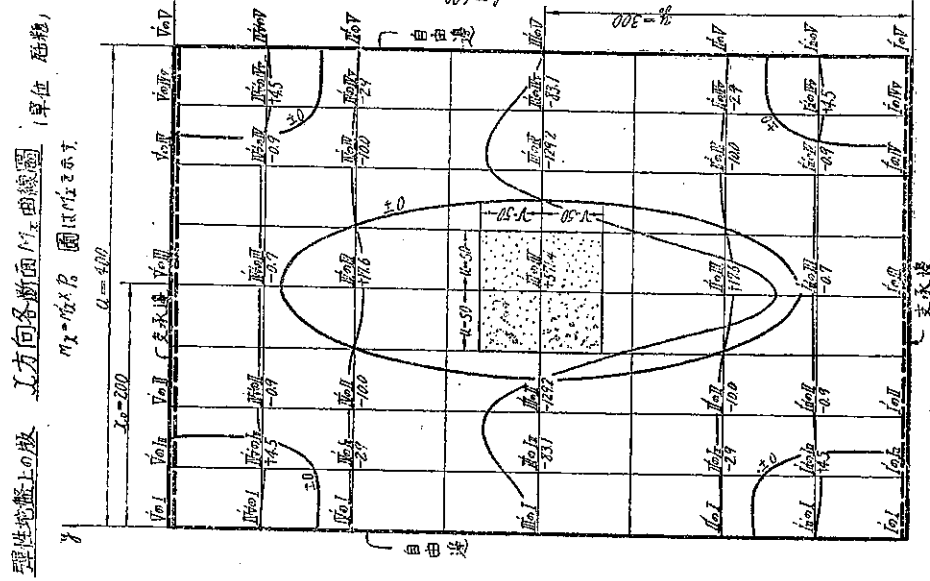


圖-11, M_y は圖-12 に示す。 M_x は荷重點附近に於て正號を有し、其最大値は常に荷重の中心に生じ、これより遠ざかるに従つて、急速に減少して $-M_x$ となり、版の四隅附近に於て再び僅少なる $+M_x$ を生ずる。 M して、 $-\max M_x$ の最大値は $+\max M_y$ の約 $1/4$ 程度である。 $+M_y$ も圖12 に示す如く荷重附近に起り、二つの ± 0 線の外側には $-M_y$ の部分を生ずる。 $-\max M_y$ は $+\max M_y$ の約 $1/3$ 程度である。

図-11.

弾性地盤上の版 J 方向各断面の γ の曲線図 (単位: 底筋)

$\gamma_1 = \gamma_2 = P_0$ 圖は省略して置く。

$a = 200$

$b = 200$

$a = 400$

$b = 600$

$a = 300$

図-12.

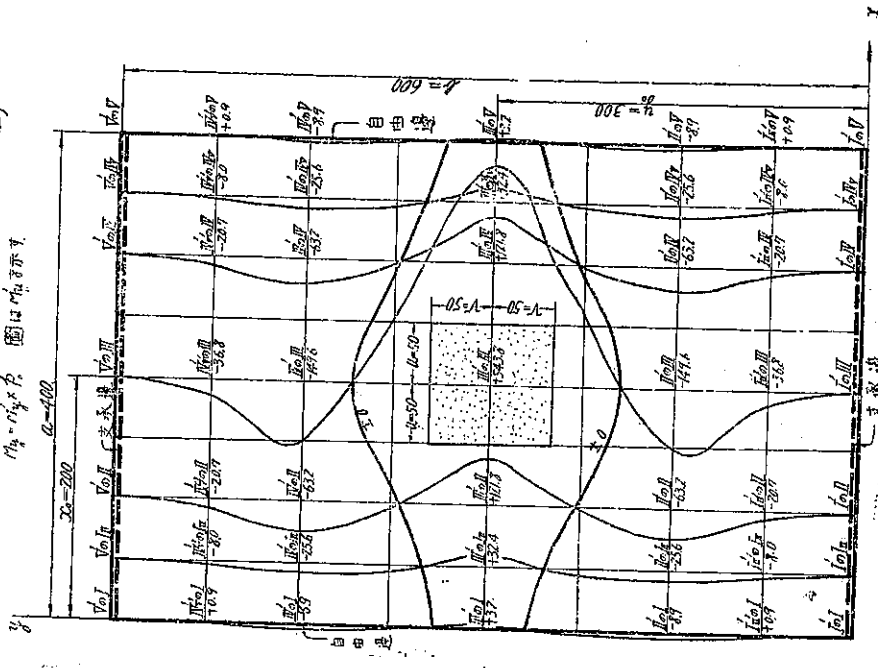


表-6. 弾性地盤上の版 分布荷重が $x_0/a = \xi_0 = 1/8$, $y_0/b = \eta_0 = 1/2$ に在る場合(其の一)

$$\begin{aligned} C &= 10 \text{ kg/cm}^3 \\ V &= \frac{1}{6} \text{ cm} \\ h &= 15 \text{ cm} \\ a &= 400 \text{ cm} \\ b &= 600 \text{ cm} \\ E &= 210,000 \text{ kg/cm}^2 \\ N &= \frac{E f^3}{12(1-\nu^2)} = 60,748,000 \text{ kg/cm}^4 \\ \lambda^2 &= \frac{C}{N} = 0,000,000,164,61 \text{ cm}^{-4} \\ P_n &= 1 \text{ kg/cm}^2 \\ 2u &= 100 \text{ cm} \\ 2v &= 100 \text{ cm} \end{aligned}$$

上式中

$$\begin{aligned} P_n &= \sqrt{\frac{\alpha^2 n^4 + \frac{\alpha^2}{\pi^2} \lambda^4}{\frac{\alpha^2}{\pi^2} n^2} + \frac{\alpha^2 \lambda^4}{\pi^2 n^2}} \\ Q_n &= \sqrt{\frac{\alpha^2 n^4 + \frac{\alpha^2}{\pi^2} \lambda^4}{\frac{\alpha^2}{\pi^2} n^2} - \frac{\alpha^2 \lambda^4}{\pi^2 n^2}} \\ A_{mn} &= \frac{16}{\pi m n \left\{ \left(m^2 + \frac{\alpha^2}{\pi^2} n^2 \right)^2 + \frac{\alpha^2 \lambda^4}{\pi^2 n^2} \right\}} \sin^2 m \pi \frac{x}{a} (-1)^{\frac{m-1}{2}} \sin m \pi \frac{y}{b} \end{aligned}$$

$$\begin{aligned} Q_n &= [(1-\nu)^2 \frac{\alpha^2}{\pi^2} n^4 - \frac{\alpha^2}{\pi^2} \lambda^4] P_n + 2(1-\nu) \frac{\alpha^2}{\pi^2 n^2} \lambda^2 n^2 q_n \\ Q_n &= [(1-\nu)^2 \frac{\alpha^2}{\pi^2} n^4 - \frac{\alpha^2}{\pi^2} \lambda^4] q_n - 2(1-\nu) \frac{\alpha^2}{\pi^2 \lambda^2} \lambda^2 n^2 p_n \end{aligned}$$

$$m = 1, 2, 3, 4, 5, 6, 7; \quad n = 1, 2, 5, 7.$$

n	A_{mn}						
	$m = 1$	$m = 2$	$m = 3$	$m = 4$	$m = 5$	$m = 6$	$m = 7$
1	+ 6757 17533						
2	- 0000 013 91	+ 0000 017 09	+ 0000 009 25	+ 0000 003 43	+ 0000 001 36	+ 0000 000 26	+ 0000 000 03
3	- 0000 008 41	- 0000 009 14	- 0000 005 25	- 0000 002 21	- 0000 000 19	- 0000 000 09	- 0000 000 02
4	+ 0000 000 47	+ 0000 002 05	+ 0000 002 04	+ 0000 001 05	+ 0000 000 40	+ 0000 000 11	+ 0000 000 01
5	- 0000 000 59	- 0000 000 50	- 0000 000 41	- 0000 000 35	- 0000 000 39	- 0000 000 05	- 0000 000 05

n	A_{mn}						
	$m = 4$	$m = 5$	$m = 6$	$m = 7$	$m = 8$	$m = 9$	$m = 10$
1	+ 0000 025 74	+ 0000 272 41	+ 0000 131 42	+ 0000 012 63	+ 0000 447 70	- 1 + 0000 447 70	15 + 0000 000 029 493 00
3	- 0000 070 12	- 0000 257 64	- 0000 121 43	- 0000 011 34	- 0000 461 54	3 - 0000 461 54	149 320 - 0000 000 003 90 90
5	+ 0000 057 97	+ 0000 180 05	+ 0000 097 41	+ 0000 008 93	+ 0000 334 35	5 + 0000 334 35	10 621 000 + 0000 000 031 48
7	- 0000 024 48	- 0000 046 82	- 0000 051 93	- 0000 005 91	- 0000 184 26	7 - 0000 184 26	1 345 700 000 - 0000 000 000 000 13

表-7. 弹性地盤上の版 分布荷重が $x_0/a = \xi_0 = 1/8$, $y_0/b = \eta_0 = 1/2$ に在る場合(其の二)

n	A_{mn}						
	$m = 4$	$m = 5$	$m = 6$	$m = 7$	$m = 8$	$m = 9$	$m = 10$
1	+ 0000 164 57	+ 0000 230 97	+ 0000 057 81	+ 0000 453 30	- 1 + 0000 453 30	15 282 + 0000 000 029 662 00	
3	- 0000 007 24	- 0000 206 49	- 0000 051 72	- 0000 465 45	3 - 0000 465 45	149 560 - 0000 000 003 116 30	
5	+ 0000 144 55	+ 0000 150 24	+ 0000 040 04	+ 0000 334 54	5 + 0000 334 54	10 621 000 + 0000 000 031 49	
7	- 0000 071 16	- 0000 087 34	- 0000 153 18	- 0000 194 39	7 - 0000 184 39	1 345 700 000 - 0000 000 000 000 13	

n	A_{mn}						
	$m = 4$	$m = 5$	$m = 6$	$m = 7$	$m = 8$	$m = 9$	$m = 10$
1	+ 0000 164 57	+ 0000 230 97	+ 0000 057 81	+ 0000 453 30	- 1 + 0000 453 30	15 282 + 0000 000 029 662 00	
3	- 0000 007 24	- 0000 206 49	- 0000 051 72	- 0000 465 45	3 - 0000 465 45	149 560 - 0000 000 003 116 30	
5	+ 0000 144 55	+ 0000 150 24	+ 0000 040 04	+ 0000 334 54	5 + 0000 334 54	10 621 000 + 0000 000 031 49	
7	- 0000 071 16	- 0000 087 34	- 0000 153 18	- 0000 194 39	7 - 0000 184 39	1 345 700 000 - 0000 000 000 000 13	

表-8. 弹性地盤上の版

分布荷重が $x_0/a = \xi_0 = 1/8$, $y_0/b = \eta_0 = 1/2$ に在る場合 $a=400$, $b=600$ 單位延・綫表中 p_0 は省略す

緒 つ 位 置			W_1	W_2	W	M_x	M_y
$y/b = \eta$		$x/a = \xi$					
I	$\frac{1}{8}$	I	$\frac{1}{4}$	0.000 000	0.000 000	0.000 000	0.000 000
	"	I _{II}	$\frac{1}{8}$	0.000 000	0.000 000	0.000 000	0.000 000
	"	II	$\frac{1}{4}$	0.000 000	0.000 000	0.000 000	0.000 000
	"	III	$\frac{2}{4}$	0.000 000	0.000 000	0.000 000	0.000 000
	"	IV	$\frac{3}{4}$	0.000 000	0.000 000	0.000 000	0.000 000
	"	IV _V	$\frac{7}{8}$	0.000 000	0.000 000	0.000 000	0.000 000
	"	V	$\frac{4}{4}$	0.000 000	0.000 000	0.000 000	0.000 000
II	$\frac{1}{8}$	I	$\frac{1}{4}$	-0.000 509	-0.000 509	0.000 000	-64.591 000
	"	I _{II}	$\frac{1}{8}$	+0.000 254	-0.000 972	-0.000 718	-8.722 200
	"	II	$\frac{1}{4}$	+0.000 189	-0.001 094	-0.000 905	-10.494 000
	"	III	$\frac{2}{4}$	-0.000 291	-0.000 473	-0.000 765	-3.668 500
	"	IV	$\frac{3}{4}$	-0.000 242	-0.000 021	-0.000 264	+1.578 900
	"	IV _V	$\frac{7}{8}$	-0.000 119	+0.000 045	-0.000 073	+1.020 900
	"	V	$\frac{4}{4}$	0.000 000	+0.000 082	+0.000 082	+1.019 100
III	$\frac{1}{4}$	I	$\frac{1}{4}$	0.000 000	+0.006 049	+0.006 049	0.000 000
	"	I _{II}	$\frac{1}{8}$	+0.002 545	+0.001 854	+0.004 400	-27.482 000
	"	II	$\frac{1}{4}$	+0.003 023	-0.000 810	+0.002 212	-27.512 000
	"	III	$\frac{2}{4}$	+0.000 322	-0.000 986	-0.000 664	-25.923 000
	"	IV	$\frac{3}{4}$	-0.000 431	-0.000 111	-0.000 543	-1.160 600
	"	IV _V	$\frac{7}{8}$	-0.000 243	+0.000 028	-0.000 215	+1.164 700
	"	V	$\frac{4}{4}$	0.000 000	+0.000 779	+0.000 077	+0.030 930
IV	$\frac{3}{4}$	I	$\frac{1}{4}$	0.000 000	+0.052 579	+0.052 579	0.000 000
	"	I _{II}	$\frac{1}{8}$	+0.023 858	+0.020 952	+0.044 810	+352.380 000
	"	II	$\frac{1}{4}$	+0.024 331	+0.004 617	+0.028 918	+71.537 000
	"	III	$\frac{2}{4}$	+0.004 425	-0.001 418	+0.005 007	-135.100 000
	"	IV	$\frac{3}{4}$	-0.000 421	-0.000 297	-0.000 718	-16.245 000
	"	IV _V	$\frac{7}{8}$	-0.000 359	-0.000 075	-0.000 435	-1.801 600
	"	V	$\frac{4}{4}$	0.000 000	-0.000 047	-0.000 047	-1.176 300

(3) 弹性地盤上の $a=400$ cm, $b=600$ cm の矩形版にて分布荷重が $x_0/a = \xi_0 = 1/8$, $y_0/b = \eta_0 = 1/2$ に在る場合表-6~8 及び図-15~21 (図-16, 17, 20, 21 省略) はこの場合の計算結果である。この場合の最大沈下は中心線 ($y=b/2$) の荷重側の先端に生じ、前例同様に w の大きさは荷重點を遠ざかるに従つて、急激に減少し、版の隅角 $(a, 0), (a, b)$ 附近を除き其他の部分には僅少なる浮上りを生ずる。

図-15 に見る如く沈下の等高線は荷重點を中心として略々同心圓の形を取る。而して其の最大浮上りは最大沈下値の約 1/50 に過ぎぬ。

図-18, 19 は夫々 M_x 及び M_y の圖表であるが $+M$ の區域が非常に狭く、 $-M$ の部分が相當區域に擴大され、その最大値は $+M$ の最大値の約 40 % 程度のものが惹起する。道路の矩形舗装版に於て其の荷重が版の自由邊附近に作用し、而も版闊より相當距離に在る場合には近似的に前記各公式を適用し得るものである。(4) 弹性地盤上の $a=400$ cm, $b=600$ cm の矩形版にて版全面に等分布荷重が在る場合表-9, 10, 図-22~26 (図-23, 24 省略) はこの場合のものを示す。版の沈下は $\eta=1/4$ 線と $\eta=3/4$ 線間の各點に於て殆んど等しく $\eta=1/2$ 線即ち版の中央にて特に大とはならずに寧ろ僅少の差ではあるが小さくなつてゐ

図-18.

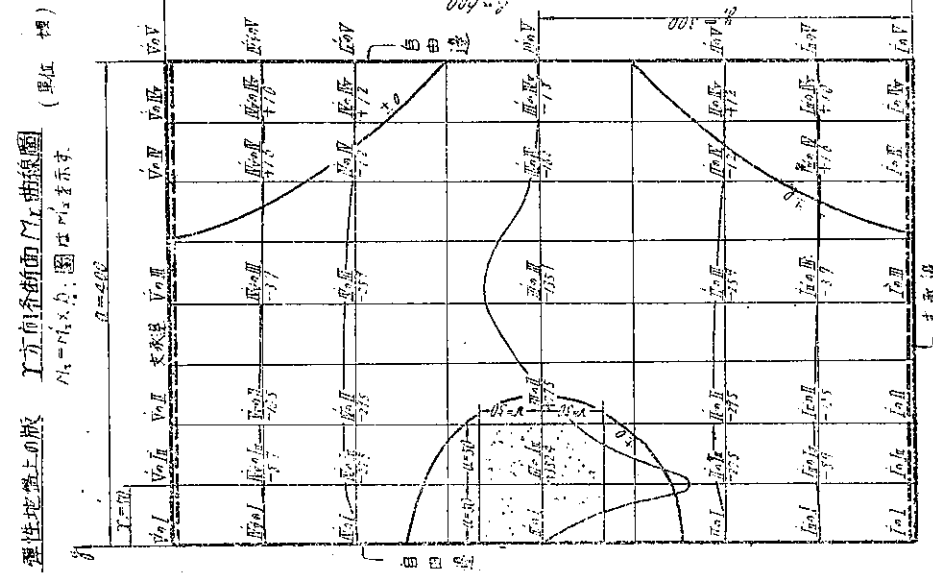
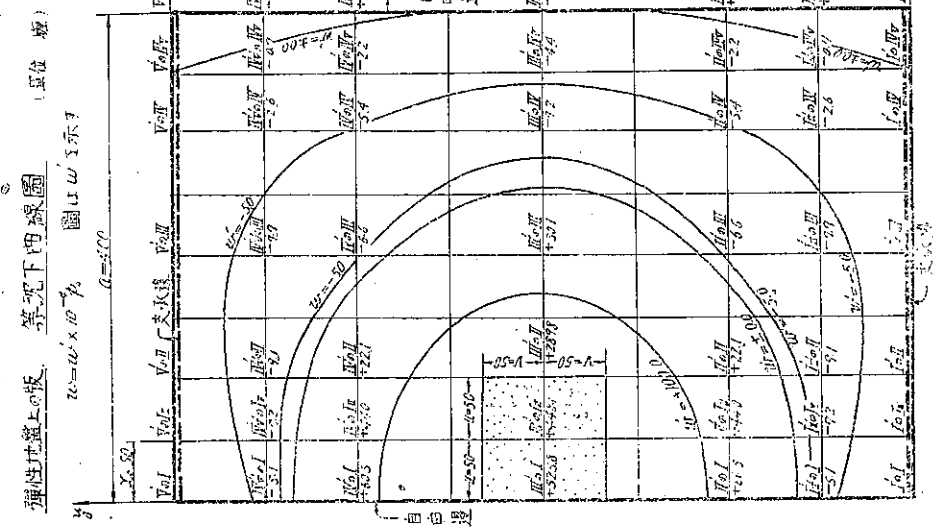


図-19. 弾性地盤上の板、4方向各断面の曲線図

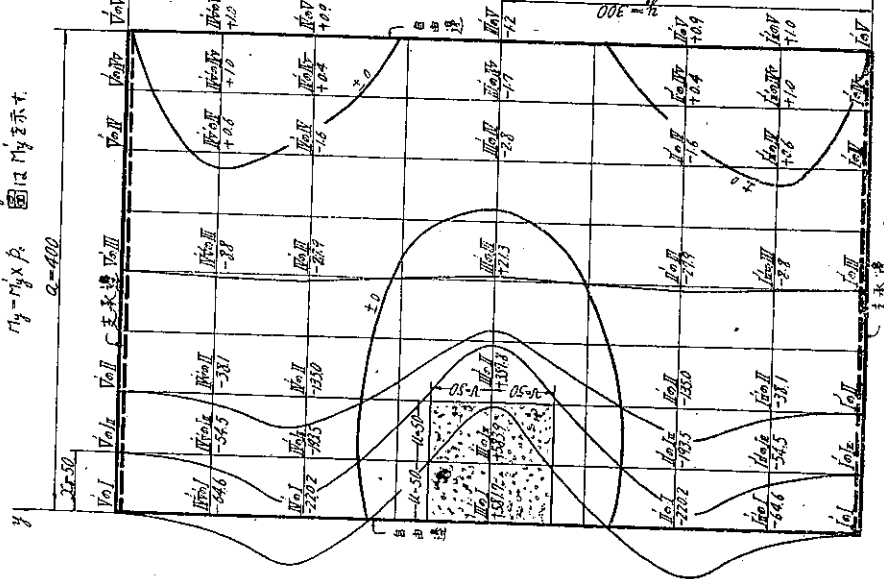


図-22.

図-22. 等流下曲線圖

$r_{xy} = r_{yx}$ r_x r_y は r_{xy} を示す

$Q = 400$

$D = \leq 20$

単位 長さ

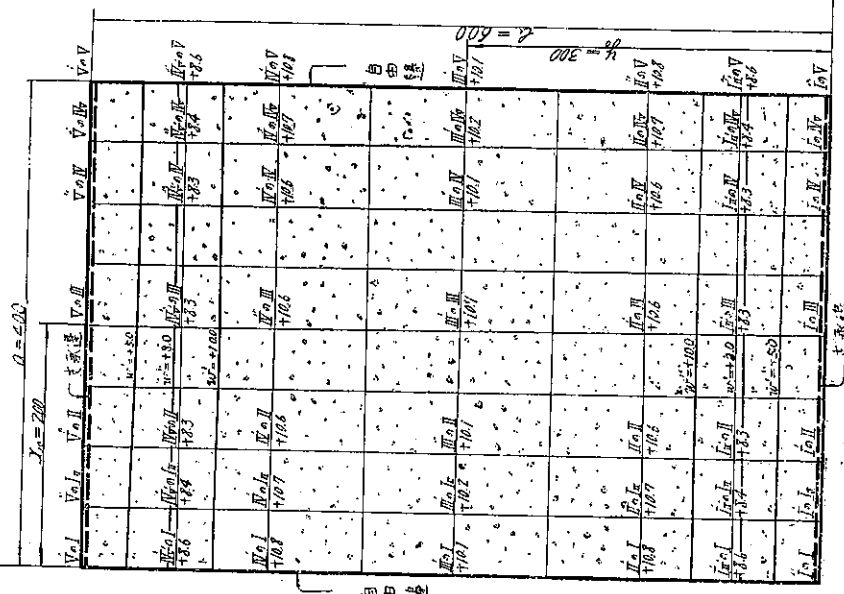


表-9.

彈性地盤上の版

版全面に分布荷重が作用する場合。

n	p_n	q_n
1	1.8751	1.7533
3	2.4185	1.3598
5	3.4658	0.9489
7	4.7185	0.6967

$$E' = \sum_m A_{mn} \frac{(-1)^m}{2} m [m^2 + (2-\nu) \frac{\alpha^2}{\pi^2} n^2] = \frac{\sum_m A_{mn} E}{Q'}$$

$$A_{mn} = -a_n \sin \pi p_n - a_n \sinh \pi p_n$$

$$A_{mn} = \frac{16}{\pi^6 m n \left\{ (m^2 + \frac{\alpha^2 n^2}{\beta^2})^2 + \frac{\alpha^2 \lambda^4}{\pi^4} \right\}}$$

$$p_n = \sqrt{\frac{\alpha^4}{\beta^4} n^4 + \frac{\alpha^4}{\pi^2 \beta^2} \lambda^4 + \frac{\alpha^2}{\beta^2} n^2} \quad q_n = \sqrt{\frac{\alpha^4}{\beta^4} n^4 + \frac{\alpha^2}{\pi^2 \beta^2} \lambda^4 - \frac{\alpha^2}{\beta^2} n^2}$$

$$a_n = \{(1-\nu)^2 \frac{\alpha^4}{\beta^4} n^4 - \frac{\alpha^4 \lambda^4}{\pi^2 \beta^2}\} p_n + 2(1-\nu) \frac{\alpha^4}{\pi^2 \beta^2} \lambda^2 n^2 p_n$$

$$a'_n = \{(1-\nu)^2 \frac{\alpha^4}{\beta^4} n^4 - \frac{\alpha^4 \lambda^4}{\pi^2 \beta^2}\} q_n - 2(1-\nu) \frac{\alpha^4}{\pi^2 \beta^2} \lambda^2 n^2 p_n$$

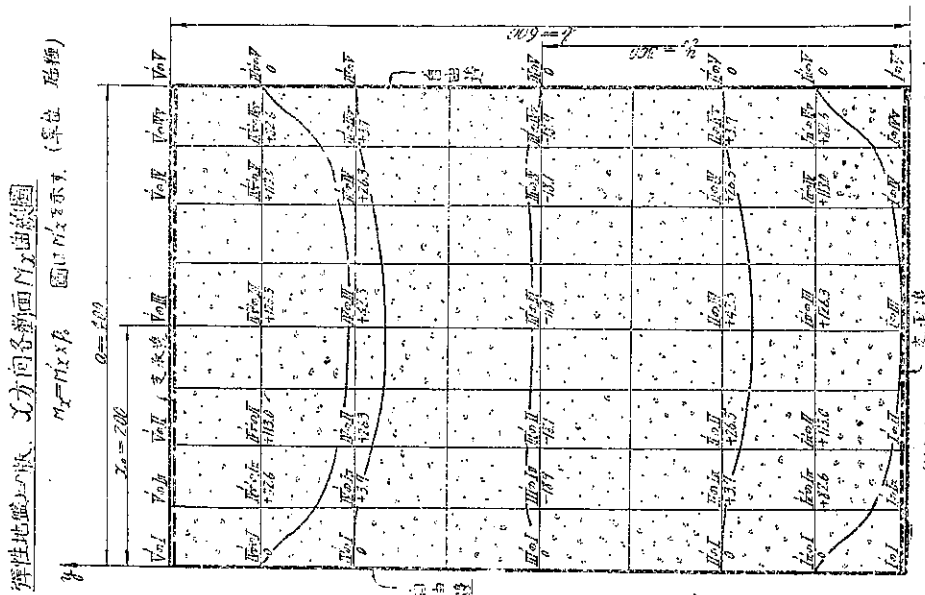
$$m = 1, 3, 5, 7, \dots, \infty; \quad n = 1, 3, 5, 7, \dots, 23; \quad (\text{但し本表では } m, n = 1, 3, 5, 7, \text{ は省略記号})$$

n	$\sum_m A_{mn} E$		
	$m = 1$	$m = 3$	$m = 5$
1	0.000 3.67	0.000 0.41	0.000 0.04
3	0.000 0.81	0.000 0.08	0.000 0.01
5	0.000 0.17	0.000 0.01	0.000 0.00
7	0.000 0.04	0.000 0.00	0.000 0.00

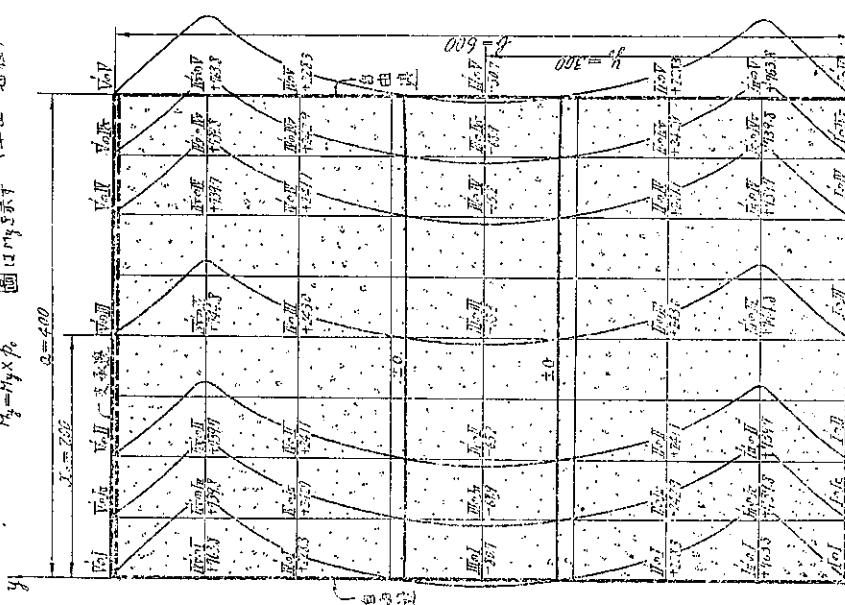
n	$\sum_m A_{mn} E$		
	$m = 1$	$m = 3$	$m = 5$
1	0.000 0.666 05	0.000 2.33 13	0.000 6.22 08
3	0.000 6.77 22	0.000 4.26 36	0.000 2.02 35
5	0.000 5.74 49	0.000 2.18 35	0.000 1.12 08
7	0.000 1.73 10	0.000 1.17 44	0.000 0.65 17

n	$\sum_m A_{mn} E$		
	$m = 1$	$m = 3$	$m = 5$
1	0.000 0.654 50	0.000 1.60	0.000 0.00 0.00
3	0.000 4.16 50	0.000 3.20	0.000 0.00 0.00
5	0.000 0.62 01	0.000 0.00	0.000 0.00 0.00
7	0.000 4.01 55	0.000 1.34 00	0.000 0.00 0.00

図-25.



弾性地盤上の版、X方向各断面の曲線図
 M_p (単位: 斜線)
 V_{0x} (単位: 斜線)



弾性地盤上の版、Y方向各断面の曲線図
 M_p (単位: 斜線)
 V_{0y} (単位: 斜線)

表-10. 弹性地盤上の版

版全面に分布荷重が在る場合、 $a=400$, $b=600$, 単位面・纏（表中 p_0 は省略す）

點の位置			W_1	W_2	W	M_x	M_y
$\eta = \frac{y}{b}$	$\xi = \frac{x}{a}$						
I	0/4	I	0.000 000	0.000 000	0.000 000	0.000 000	0.000 000
	"	II	0.000 000	0.000 000	0.000 000	0.000 000	0.000 000
	"	III	0.000 000	0.000 000	0.000 000	0.000 000	0.000 000
	"	IV	0.000 000	0.000 000	0.000 000	0.000 000	0.000 000
II	1/8	I	0.000 000	+0.085 851	+0.085 851	0.000 000	+73.760 000
	"	II	+0.049 107	+0.034 450	+0.083 556	+82.637 000	+739.820 000
	"	III	+0.075 889	+0.007 215	+0.083 104	+113.000 000	+739.690 000
	"	IV	+0.087 941	-0.004 745	+0.083 195	+126.300 000	+744.750 000
III	1/4	I	0.000 000	+0.107 790	+0.107 790	0.000 000	+228.260 000
	"	II	+0.063 457	+0.043 307	+0.106 790	+3.744 900	+247.850 000
	"	III	+0.098 934	+0.007 003	+0.105 940	+26.302 000	+241.070 000
	"	IV	+0.114 730	-0.008 827	+0.105 910	+42.304 000	+242.980 000
IV	3/4	I	0.000 000	+0.101 200	+0.101 200	0.000 000	-80.693 000
	"	II	+0.063 577	+0.038 104	+0.101 700	-12.934 000	-68.937 000
	"	III	+0.098 522	+0.002 611	+0.101 130	-12.086 000	-65.206 000
	"	IV	+0.113 040	-0.011 994	+0.101 040	-11.444 000	-63.294 000

る（図-22）。 M_x は M_y に比較するとその約 17 % のものが惹起され $\xi=1/2$ 線附近は負号を有し、 $\eta=1/3$ 線附近にて大きく $\xi=1/2$ 線との交點 ($I'_{II'}$ の III) が最大である（図-25）。

M_y は $\eta=1/8$ 線と $\xi=1/2$ 線との交點 ($I'_{II'}$ の III) にて最大で且つ $\xi=1/2$ 線上の各點のものが他の點のものより稍々大きい。 $\eta=1/3$ 線附近にては負号を有するが $+M_y$ の 10 % にも達せぬ値である（図-26）。

[II] 同上正方形版に就て

之は省略するが、矩形版の場合と大體同様である（図-27～46、表-11～20 省略）。

[III] 平版橋に就て

(A) 計算説明

この場合に採用した數値は

$$a=750 \text{ cm}, \quad b=500 \text{ cm}, \quad h=40 \text{ cm}, \quad N=1,152,000,000 \text{ kg} \cdot \text{cm}$$

でコンクリート版である。

平版橋の場合に於ても荷重が任意の點に在るとき、及び $\eta=1/3$ 線上に在るときの w, M は、彈性基礎上の版と同様に m, n を 1 より 8 遍採つた計算値①のみを採用しても實用上は支障無いものと云へる。

荷重が任意の點例へば荷重の中心が $\xi=3/4$, $\eta=3/4$ 點上にあるとき $\xi=3/4$ 線上の荷重の中心點の w, M は

		比率
w の ①	= $\sum_{m=1}^8 \sum_{n=1}^8 \{\text{公式}\} = 194.18 (10^{-4} p_0)$	94.42 %
w の ②	= $\sum_{m=1}^8 \sum_{n=9}^{18} \{\text{''}\} = 0.11 (\text{''})$	0.05 %
w の ③	= $\sum_{m=9}^{16} \sum_{n=1}^8 \{\text{''}\} = 11.27 (\text{''})$	5.48 %
w の ④	= $\sum_{m=17}^{24} \sum_{n=1}^8 \{\text{''}\} = 0.10 (\text{''})$	0.05 %
計	205.66 (\text{''})	100.00 %

M_x の ① = $\sum_{m=1}^8 \sum_{n=1}^8$ {公式} = $920.72 p_0$	比率 95.17 %
M_x の ② = $\sum_{m=1}^8 \sum_{n=9}^{16}$ { " } = $-9.90 p_0$	1.02 %
M_x の ③ = $\sum_{m=9}^{16} \sum_{n=1}^8$ { " } = $60.74 p_0$	6.28 %
M_x の ⑤ = $\sum_{m=17}^{24} \sum_{n=1}^8$ { " } = $-23.87 p_0$	-2.47 %
計 $967.49 p_0$	100.00 %
M_y の ① = $\sum_{m=1}^8 \sum_{n=1}^8$ {公式} = $1717.20 p_0$	比率 90.78 %
M_y の ② = $\sum_{m=1}^8 \sum_{n=9}^{16}$ { " } = $47.27 p_0$	2.50 %
M_y の ③ = $\sum_{m=9}^{16} \sum_{n=1}^8$ { " } = $132.38 p_0$	7.00 %
M_y の ⑤ = $\sum_{m=17}^{24} \sum_{n=1}^8$ { " } = $-5.35 p_0$	-0.28 %
計 $1891.50 p_0$	100.00 %

となるから①のみでも充分であるが、特に③を加へるとより正確に近いものが得られる。圖面はこの①の數値により作圖したものである。

荷重の中心と版の中心と一致する場合

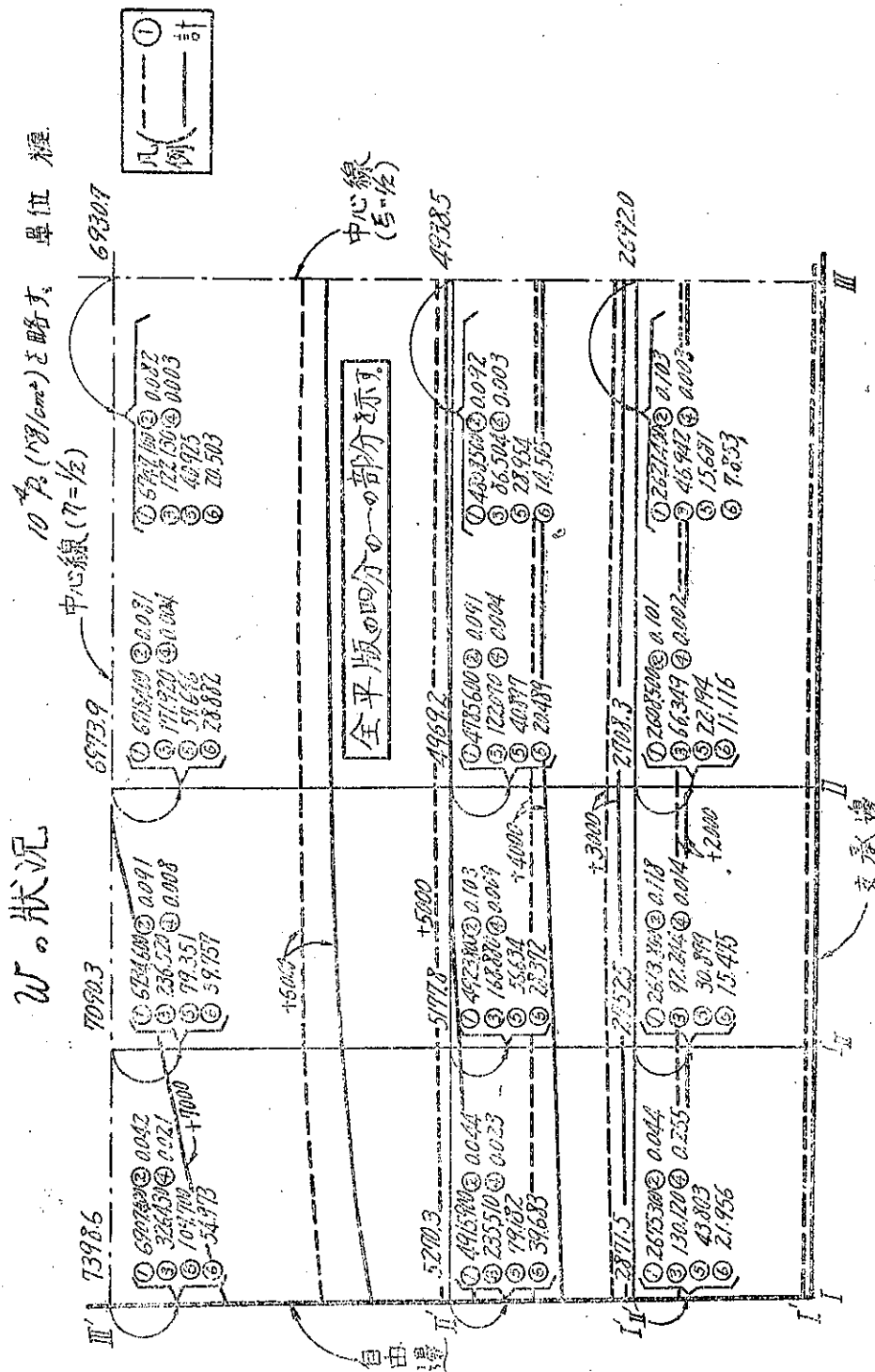
荷重の中心點にて

w の ① = $\sum_{m=1}^7 \sum_{n=1}^7$ {公式} = $275.32 (10^{-4} p_0)$	比率 97.71 %
w の ② = $\sum_{m=1}^7 \sum_{n=9}^{16}$ { " } = $0.11 (")$	0.04 %
w の ③ = $\sum_{m=9}^{16} \sum_{n=1}^7$ { " } = $7.50 (")$	2.66 %
w の ⑤ = $\sum_{m=17}^{23} \sum_{n=1}^7$ { " } = $-0.22 (")$	-0.08 %
w の ⑥ = $\sum_{m=25}^{31} \sum_{n=1}^7$ { " } = $-0.92 (")$	-0.33 %
計 $281.79 (")$	100.00 %

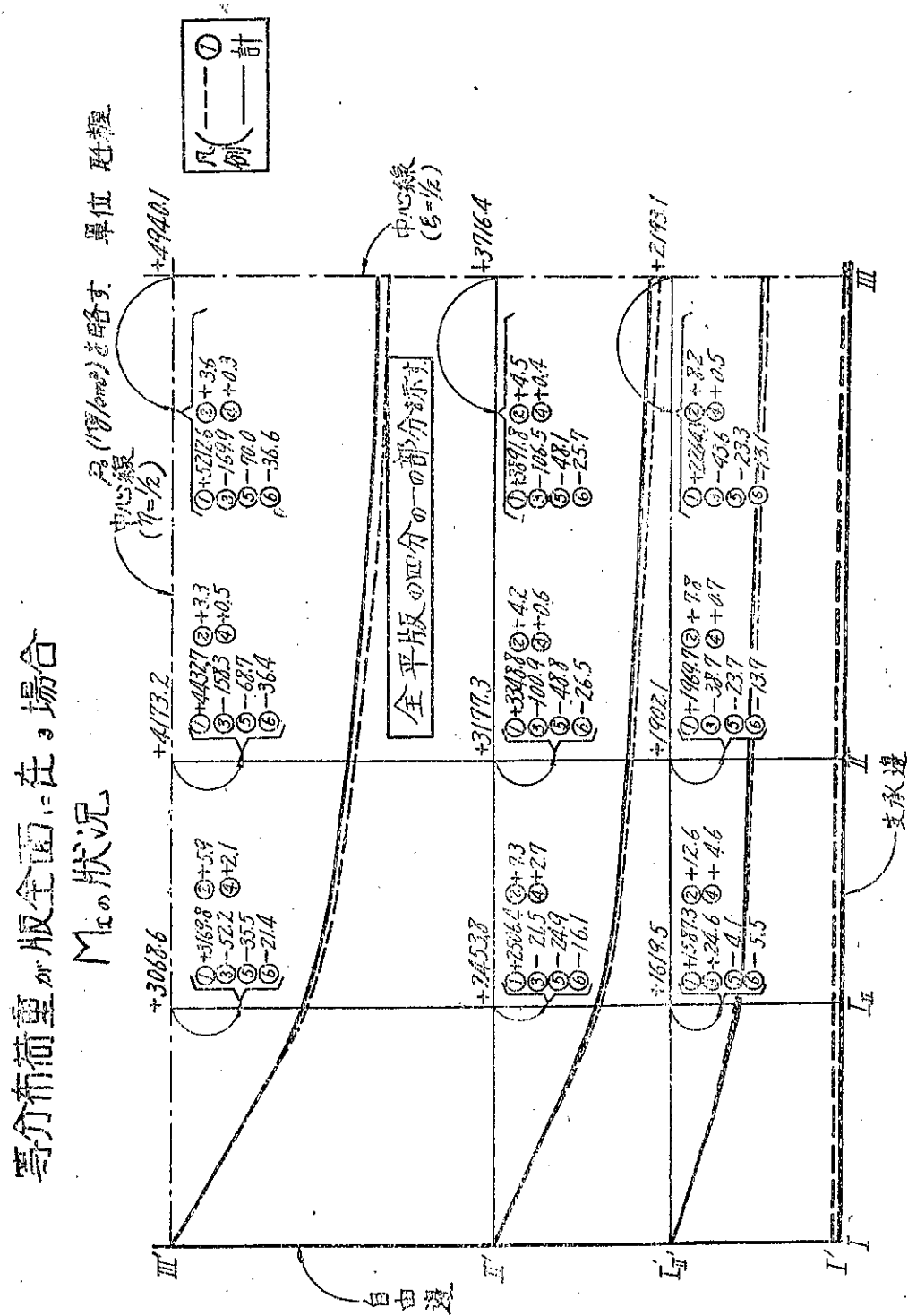
M_x の ① = $\sum_{m=1}^7 \sum_{n=1}^7$ {公式} = $1181.30 p_0$	比率 95.37 %
M_x の ② = $\sum_{m=1}^7 \sum_{n=9}^{15}$ { " } = $11.03 p_0$	0.89 %

等分布荷重版全面に在る場合

図表-5.

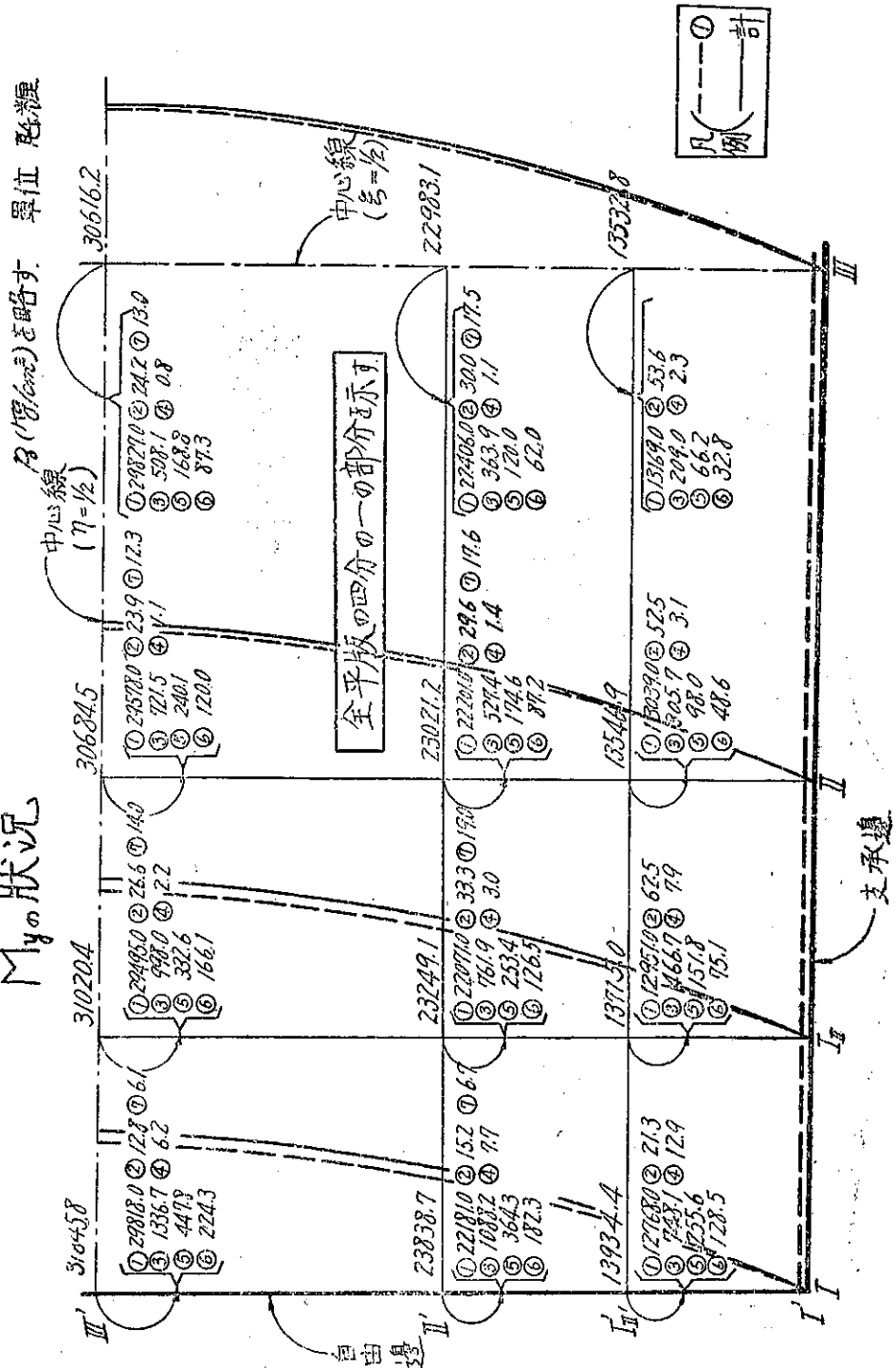


圖表-6



等分布荷重が版全面に在る場合
M_y の状況

図表-7.



M_x の ③	$= \sum_{m=9}^{15} \sum_{n=1}^7 \{ \text{''} \} = 71.68 p_0$	5.79 %
M_x の ⑤	$= \sum_{m=17}^{23} \sum_{n=1}^7 \{ \text{''} \} = -22.82 p_0$	-1.84 %
M_x の ⑥	$= \sum_{m=25}^{31} \sum_{n=1}^7 \{ \text{''} \} = -2.55 p_0$	-0.21 %
計	$1238.64 p_0$	100.00 %
		比率
M_y の ①	$= \sum_{m=1}^7 \sum_{n=1}^7 \{ \text{公式} \} = 1878.90 p_0$	94.77 %
M_y の ②	$= \sum_{m=1}^7 \sum_{n=9}^{15} \{ \text{''} \} = 47.75 p_0$	2.41 %
M_y の ③	$= \sum_{m=9}^{15} \sum_{n=1}^7 \{ \text{''} \} = 62.97 p_0$	3.18 %
M_y の ⑤	$= \sum_{m=17}^{23} \sum_{n=1}^7 \{ \text{''} \} = -5.88 p_0$	-0.30 %
M_y の ⑥	$= \sum_{m=25}^{31} \sum_{n=1}^7 \{ \text{''} \} = -1.16 p_0$	-0.06 %
計	$1982.58 p_0$	100.00 %

この場合も w に就ては①の計算値即ち m, n 共 1 より 7 迄のもので差支へないが、 M_x と M_y は①の計算値に更に②③の値を加へると、より正確に近いものが得られる。作図は①の數値に據つたものである。

以上の圖表-5~7 に依り等分布荷重が版全面にあるときは m の方向にその w も M も收斂が緩慢である事が知られる。

$\eta=1/2$ 線上の各點の沈下は殆んど等しい。又 $\eta=1/4$ 線上にても同様である。たゞ $\xi=0$ 線即ち版の縁に於て僅少ではあるが大きくなつてゐる。この縁の w は、 w の一般式にて $\xi=0$ と置くと、

$$\begin{aligned} \sin m\pi\xi &= 0 \\ f(x) &= 0 \\ \phi(x) &= \cosh \frac{an\pi}{b} + 1 \end{aligned}$$

を得るから

$$w = \sum_n E_n \cdot \frac{2}{1-\nu} \left(\cosh \frac{an\pi}{b} + 1 \right) \sin n\pi\eta$$

なる簡単な式となる。

この式にて n は 1 より 7 まで m は 1 より 23 まで、即ち前圖表の①, ③, ⑥を計算し、これをその點の沈下値と見做しても實用上は充分である。然し作図は前表の數値即ち m は 1 より 31 迄、 n は 1 より 15 迄採りしたもので畫いたものである。

M_x は M_y に比し其値僅少ではあるが惹起される。その内で $\eta=1/2$ 線上のものが最大である。そして實用上は m, n を 1 より 7 まで採用せし計算値①のみで充分であるが、製圖は前表に依つたものである。

M_y は $\eta=1/4$ 線上の各點にて殆んど相等しい値である。又 $\eta=1/2$ 線上の各點にても同様であるが、版の縁にて僅かではあるが大きくなつてゐる。

表-21. 平版端

分布荷重が $x_0/a = \xi_0 = 3/4$, $y_0/b = \eta_0 = 3/4$ 在る場合(単位:延縫)其の一

$$\begin{aligned}
 V &= 1/6 \\
 h &= 4.0 \text{ cm.} \\
 a &= 75.0 \text{ cm.} \\
 b &= 50.0 \text{ cm.} \\
 E &= 210,000 \text{ kg/cm}^2 \\
 M &= \frac{E h^3}{12(1-\nu^2)} = 1,152,000,000 \text{ kg cm.} \\
 p &= 1 \text{ kg/cm}^2 \\
 2u &= 10.2 \text{ cm.} \\
 2v &= 7.0 \text{ cm.}
 \end{aligned}$$

$$\begin{aligned}
 E'_n &= \frac{\sum_m A'_{mn} \frac{(-1)^m}{2} m \left[m + (2-\nu) \frac{Q^2 n^2}{b^2} \right]}{\frac{Q^3 n^3}{b^3} \left\{ (\nu+1) \sinh \frac{Q \pi n}{b} - (1-\nu) \frac{Q \pi n}{b} \right\}} = \frac{\sum_m A'_{mn} E'}{Q'} \\
 F'_n &= \frac{\sum_m A'_{mn} \frac{(-1)^m}{2} m \left[m + (2-\nu) \frac{Q^2 n^2}{b^2} \right]}{\frac{Q^3 n^3}{b^3} \left\{ (\nu+1) \sinh \frac{Q \pi n}{b} + (1-\nu) \frac{Q \pi n}{b} \right\}} = \frac{\sum_m A'_{mn} F'}{Q''}
 \end{aligned}$$

$$A'_{mn} = \frac{16}{\pi^2 m R \left(m^2 + \frac{Q^2 n^2}{b^2} \right)^2} \sin m \pi \frac{x}{a} \sin n \pi \frac{y}{b} \sin m \pi \frac{x}{a} \sin n \pi \frac{y}{b}$$

$$m, n = 1, 2, 3, 4, 5, 6, 7;$$

n	A'_{mn}							$m = 6$
	$m = 1$	$m = 2$	$m = 3$	$m = 4$	$m = 5$	$m = 6$	$m = 7$	
1	+0.0000 036 43	-0.0000 013 61	+0.0000 002 85	0.0000 000 00	-0.0000 000 42	+0.0000 000 28	-0.0000 000 04	
2	-0.0000 005 37	+0.0000 004 34	-0.0000 001 24	0.0000 000 60	+0.0000 000 37	-0.0000 000 27	+0.0000 000 10	
3	+0.0000 000 77	-0.0000 000 84	+0.0000 000 37	0.0000 000 00	-0.0000 000 14	+0.0000 000 12	-0.0000 000 05	
4	0.0000 000 00	0.0000 000 06	0.0000 000 00	0.0000 000 00	0.0000 000 00	0.0000 000 00	0.0000 000 00	
5	-0.0000 000 09	+0.0000 000 11	-0.0000 000 06	0.0000 000 09	+0.0000 000 03	-0.0000 000 03	+0.0000 000 01	
6	+0.0000 000 05	-0.0000 000 07	+0.0000 000 04	0.0000 000 00	-0.0000 000 02	+0.0000 000 03	-0.0000 000 01	
7	-0.0000 000 02	+0.0000 000 02	-0.0000 000 01	0.0000 000 01	-0.0000 000 01	+0.0000 000 00	+0.0000 000 00	

表-22. 平版橋

分布荷重が: $x_0/a = \xi_0 = 3/4$, $y_0/b = \eta_0 = 3/4$ に在る場合、(単位 底面) 其の二

n	$m=1$	$A_{mn}E'$	$n_2=3$	$n_2=5$	$n_2=7$	$\sum_m A'_{mn}E'$	n	$\sum_m A'_{mn}E'$	$n_2=3$	$n_2=5$	$n_2=7$	$\sum_m A'_{mn}E'$
1	+0.000 186.73	+0.000 112.56	-0.000 135.29	-0.000 055.57	-0.000 200.22	+0.000 232.22	1	+0.000 232.22	-0.000 055.57	-0.000 135.29	-0.000 200.22	+0.000 232.22
2	-0.000 062.95	-0.000 117.04	+0.000 078.31	+0.000 025.34	+0.000 055.36	-0.000 025.34	2	-0.000 025.34	+0.000 078.31	+0.000 025.34	-0.000 055.36	-0.000 117.04
3	+0.000 030.43	+0.000 054.49	-0.000 045.20	-0.000 015.55	-0.000 020.47	+0.000 020.47	3	+0.000 015.55	-0.000 045.20	-0.000 015.55	+0.000 020.47	-0.000 054.49
4	0.000 000.00	0.000 000.00	0.000 000.00	0.000 000.00	0.000 000.00	0.000 000.00	4	0.000 000.00	0.000 000.00	0.000 000.00	0.000 000.00	0.000 000.00
5	-0.000 009.98	-0.000 023.34	+0.000 025.21	+0.000 005.25	+0.000 020.39	-0.000 016.19	5	+0.000 016.19	-0.000 023.34	+0.000 025.21	+0.000 005.25	-0.000 020.39
6	+0.000 008.95	+0.000 022.48	-0.000 025.72	-0.000 006.80	-0.000 022.13	+0.000 016.80	6	-0.000 016.80	+0.000 022.48	-0.000 025.72	-0.000 006.80	+0.000 016.80
7	-0.000 002.13	-0.000 010.24	+0.000 012.92	+0.000 001.91	+0.000 009.97	-0.000 012.92	7	+0.000 001.91	-0.000 010.24	+0.000 012.92	+0.000 001.91	-0.000 012.92

n	$\sum_m A'_{mn}F'$	Q'	$E'_n = \frac{\sum_m A'_{mn}E'}{Q'}$
1	-0.000 153.73		
2	+0.000 049.03		
3	-0.000 016.41		
4	0.000 000.00		
5	-0.000 007.22		
6	+0.000 011.21		
7	-0.000 006.43		

n	$A_{mn}F'$	$m=4$	$m=6$	$\sum_m A'_{mn}F'$	Q''	$F'_n = \frac{\sum_m A'_{mn}F'}{Q''}$
1	-0.000 221.25	0.000 000.00	+0.000 068.48	-0.000 153.73		
2	+0.000 173.04	0.000 000.00	-0.000 068.05	+0.000 020.69	0.000 000.00	
3	-0.000 049.57	0.000 000.00	0.000 000.00	+0.000 025.26	-0.000 016.41	
4	0.000 000.00	0.000 000.00	0.000 000.00	0.000 000.00	0.000 000.00	
5	+0.000 025.46	0.000 000.00	-0.000 032.35	-0.000 007.22		
6	-0.000 023.47	0.000 000.00	+0.000 024.71	0.000 011.21		
7	+0.000 013.47	0.000 000.00	-0.000 017.93	-0.000 006.43		

表-23.

平板橋 分布荷重 $\frac{x}{a} = \frac{y}{b} = \frac{3}{4}, \frac{y}{b} = \frac{7}{4}$ の場合 $a = 750$ 單位延長

$\frac{x}{a} = \eta$	節点	W_1	W_2	W_3	M_x	M_y
I	I	0.000 000	0.000 000	0.000 000	0.000 000	0.000 000
	II	0.000 030	0.000 000	0.000 000	0.000 000	0.000 000
	III	0.000 030	0.000 000	0.000 000	0.000 000	0.000 000
	IV	0.000 021	0.000 000	0.000 000	0.000 000	0.000 000
	V	0.000 000	0.000 000	0.000 000	0.000 000	0.000 000
	VI	0.000 000	0.000 000	0.000 000	0.000 000	0.000 000
	VII	0.000 000	0.000 000	0.000 000	0.000 000	0.000 000
II'	I	0.000 000	+ 0.001 457	+ 0.001 457	0.000 000	+ 62783 000
	II	+ 0.000 610	+ 0.001 237	+ 0.001 908	- 15923 000	+ 77777 000
	III	+ 0.001 392	+ 0.001 185	+ 0.002 519	- 19332 000	+ 97633 000
	IV	+ 0.002 871	+ 0.001 742	+ 0.004 684	+ 21490 000	+ 143530 000
	V	+ 0.002 763	+ 0.003 767	+ 0.006 730	+ 84701 000	+ 172160 000
	VI	+ 0.001 173	+ 0.005 431	+ 0.007 209	+ 36707 000	+ 201160 000
	VII	0.000 000	+ 0.007 522	+ 0.007 522	0.000 000	+ 227920 000
II	I	0.000 000	+ 0.002 670	+ 0.002 670	0.000 000	+ 121570 000
	II	+ 0.001 253	+ 0.002 285	+ 0.003 538	- 30492 000	+ 146260 000
	III	+ 0.002 617	+ 0.002 191	+ 0.004 808	- 39819 000	+ 136740 000
	IV	+ 0.005 557	+ 0.003 322	+ 0.008 819	+ 37060 000	+ 287420 000
	V	+ 0.005 368	+ 0.007 033	+ 0.012 402	+ 179850 000	+ 350620 000
	VI	+ 0.003 545	+ 0.010 204	+ 0.013 747	+ 114330 000	+ 409110 000
	VII	0.000 000	+ 0.014 242	+ 0.014 242	0.000 000	+ 457100 000
III'	I	0.000 000	+ 0.003 767	+ 0.003 767	0.000 000	+ 113560 000
	II	+ 0.001 844	+ 0.003 211	+ 0.005 055	- 50199 000	+ 216660 000
	III	+ 0.003 913	+ 0.003 094	+ 0.007 007	- 13614 000	+ 245660 000
	IV	+ 0.009 033	+ 0.004 746	+ 0.013 741	+ 26062 000	+ 521910 000
	V	+ 0.010 943	+ 0.010 283	+ 0.021 242	+ 477430 000	+ 780810 000
	VI	+ 0.006 716	+ 0.015 263	+ 0.021 980	+ 247580 000	+ 853860 000
	VII	0.000 000	+ 0.021 921	+ 0.021 921	0.000 000	+ 952030 000
IV'	I	0.000 000	+ 0.002 586	+ 0.002 586	0.000 000	+ 98657 000
	II	+ 0.001 358	+ 0.002 241	+ 0.003 600	- 37411 000	+ 159430 000
	III	+ 0.002 927	+ 0.002 181	+ 0.005 104	- 68923 000	+ 234460 000
	IV	+ 0.007 477	+ 0.003 340	+ 0.010 868	- 55407 000	+ 624940 000
	V	+ 0.011 378	+ 0.007 535	+ 0.013 913	+ 440330 000	+ 1708300 000
	VI	+ 0.006 843	+ 0.011 431	+ 0.013 274	+ 255560 000	+ 1281300 000
	VII	0.000 000	+ 0.016 900	+ 0.016 900	0.000 000	+ 922410 000
V'	I	0.000 000	+ 0.001 388	+ 0.001 388	0.000 000	+ 56168 000
	II	+ 0.000 744	+ 0.001 207	+ 0.001 951	- 21002 000	+ 84670 000
	III	+ 0.001 613	+ 0.001 179	+ 0.002 921	- 39489 000	+ 132350 000
	IV	+ 0.004 249	+ 0.001 840	+ 0.006 090	- 40084 000	+ 382240 000
	V	+ 0.006 690	+ 0.004 122	+ 0.010 813	+ 531710 000	+ 851960 000
	VI	+ 0.004 060	+ 0.006 300	+ 0.010 360	+ 151510 000	+ 740570 000
	VII	0.000 000	+ 0.009 425	+ 0.009 425	0.000 000	+ 182190 000
V	I	0.000 000	0.000 000	0.000 000	0.000 000	0.000 000
	II	0.000 000	0.000 000	0.000 000	0.000 000	0.000 000
	III	0.000 000	0.000 000	0.000 000	0.000 000	0.000 000
	IV	0.000 000	0.000 000	0.000 000	0.000 000	0.000 000
	V	0.000 000	0.000 000	0.000 000	0.000 000	0.000 000

表中 P. 選択式

表-24.

平版橋、分布荷重 $\sigma_{x_2} = \frac{\sigma_x}{2}$ 、 $\sigma_{y_2} = \frac{\sigma_y}{2}$ の場合、単位延長

$$\nu = \frac{1}{6}$$

$$h = 40 \text{ cm.}$$

$$a = 750 \text{ cm.}$$

$$f = 500 \text{ cm.}$$

$$E = 210,000 \text{ kg/cm}^2$$

$$N = \frac{E f^3}{12(1-\nu^2)} = 1,152,000,000 \text{ kg cm.}$$

$$P_0 = 1 \text{ kg/cm}^2$$

$$2U = 102 \text{ cm.}$$

$$2V = 70 \text{ cm.}$$

$$P_0 = 1 \text{ kg/cm}^2$$

$$E_n' = \frac{\sum_m A_m' \frac{(-1)^m}{2} m \{m^2 + (2-\nu) - \frac{a^2 n^2}{f^2}\}}{\frac{a^2 n^2}{f^2} \left\{ (3+\nu) \sinh \frac{a n \pi}{f} - (1-\nu) \frac{\pi a n}{f} \right\}} = \frac{\sum_m A_m' E'}{Q'}$$

上式中、

$$A_{mn} = \frac{1/6}{\pi^6 mn \left(m^2 + \frac{a^2 n^2 \pi^2}{f^2} \right)^2} (-1)^{\frac{m+1}{2}} \sinh \frac{a n \pi}{f} (-1)^{\frac{n-1}{2}} \sin \pi n$$

$$m, n = 1, 3, 5, 7$$

n	$m = 1$	$m = 3$	$m = 5$	$m = 7$
1	$+0.00937213$	-0.00937213	$+0.0000000035$	-0.0000000149
3	-0.00937213	$+0.00937213$	-0.0000000035	$+0.0000000149$
5	$+0.0000000077$	-0.0000000077	$+0.0000000001$	-0.0000000001
7	-0.0000000024	$+0.0000000024$	-0.0000000002	$+0.0000000001$

n	$m = 1$	$m = 3$	$m = 5$	$m = 7$
1	$+0.00937213$	-0.00937213	$+0.0000000035$	-0.0000000149
3	-0.00937213	$+0.00937213$	-0.0000000035	$+0.0000000149$
5	$+0.0000000077$	-0.0000000077	$+0.0000000001$	-0.0000000001
7	-0.0000000024	$+0.0000000024$	-0.0000000002	$+0.0000000001$

n	$m = 1$	$m = 3$	$m = 5$	$m = 7$
1	$+0.0000000000$	$+0.0000000000$	$+0.0000000000$	$+0.0000000000$
3	$+0.0000000000$	$+0.0000000000$	$+0.0000000000$	$+0.0000000000$
5	$+0.0000000000$	$+0.0000000000$	$+0.0000000000$	$+0.0000000000$
7	$+0.0000000000$	$+0.0000000000$	$+0.0000000000$	$+0.0000000000$

$\xi=0$ のときは

$$M_y = N \sum_n E_n \frac{\pi^2}{b^2} n^2 \cdot 2(1+\nu) \left(\cosh \frac{an\pi}{b} + 1 \right) \sin n\pi \eta$$

なる式となる。

實用上は m は 1 より 23 まで, n は 1 より 7 までを採用して計算したる①, ③, ⑤にて充分で, それを版の M_y と見做しても差支へないものである。然し製圖は前表の數値によつたものである。

表-25. 平版橋 分布荷重が $x_0/a = \xi_0 = 1/2$, $y_0/b = \eta_0 = 1/2$ に在る場合, $a = 750$, $b = 600$, 単位延・彫
(表中の p_0 は省略す)

點の位置			W_1	W_2	W	M_x	M_y
$\xi_0 = \frac{1}{2}$	$\eta_0 = \frac{1}{2}$						
I'	$\frac{1}{4}$	I	$0_{\cdot 1}$	0.000 000	0.000 000	0.000 000	0.000 000
	"	II	$\frac{1}{3}$	0.000 000	0.000 000	0.000 000	0.000 000
	"	III	$\frac{1}{4}$	0.000 000	0.000 000	0.000 000	0.000 000
	"	IV	$\frac{3}{4}$	0.000 000	0.000 000	0.000 000	0.000 000
II'	$\frac{1}{2}$	I	$\frac{1}{4}$	0.000 000	+ 0.004 946	+ 0.004 946	+ 223430 000
	"	II	$\frac{1}{2}$	+ 0.002 424	+ 0.003 542	+ 0.005 956	+ 255900 000
	"	III	$\frac{1}{2}$	+ 0.003 833	+ 0.002 560	+ 0.007 394	+ 1297350 000
	"	IV	$\frac{3}{4}$	+ 0.007 767	+ 0.001 813	+ 0.009 580	+ 310930 000
III'	$\frac{1}{4}$	I	$\frac{1}{4}$	0.000 000	+ 0.009 114	+ 0.009 114	+ 417440 000
	"	II	$\frac{1}{2}$	+ 0.002 507	+ 0.006 534	+ 0.011 042	+ 30374 000
	"	III	$\frac{1}{2}$	+ 0.009 045	+ 0.004 728	+ 0.013 774	+ 39655 000
	"	IV	$\frac{3}{4}$	+ 0.013 862	+ 0.003 350	+ 0.016 273	+ 583900 000
II	$\frac{1}{2}$	I	$\frac{1}{4}$	0.000 000	+ 0.009 114	+ 0.009 114	+ 417440 000
	"	II	$\frac{1}{2}$	+ 0.002 507	+ 0.006 534	+ 0.011 042	+ 30374 000
	"	III	$\frac{1}{2}$	+ 0.009 045	+ 0.004 728	+ 0.013 774	+ 39655 000
	"	IV	$\frac{3}{4}$	+ 0.013 862	+ 0.003 350	+ 0.016 273	+ 583900 000
III	$\frac{3}{4}$	I	$\frac{1}{4}$	0.000 000	+ 0.012 785	+ 0.012 785	+ 536900 000
	"	II	$\frac{1}{2}$	+ 0.006 435	+ 0.009 212	+ 0.015 640	+ 46736 000
	"	III	$\frac{1}{2}$	+ 0.013 035	+ 0.006 680	+ 0.019 715	+ 18057 000
	"	IV	$\frac{3}{4}$	+ 0.022 760	+ 0.004 737	+ 0.027 528	+ 163400 000

(B) 附圖の説明

表-21~29 並に図-47~80 (図-48, 49, 52~55, 57, 59, 61~64, 66, 67, 70~73, 75, 76, 79, 80 省略) はこの場合の計算表及びそれらに依る製圖を示すものである。

この場合に於て最も注目に値する事は荷重の位置によつては、版の最大沈下量は必ずしも荷重の直下で生ずるものではないことで、図-47 の等沈下曲線圖にてそれを知る事が出来る。又図-47 と図-65 とを比較すると前者に於ける版の最大沈下量は後者の約半分に過ぎぬ。即ち版の最大沈下を生ずる荷重の位置は図-65 の場合である事を知る。荷重の位置の変化による M_x の値は図-50, 59, 68 及び 77 に示す通りである。平版橋に於てかかる荷重の場合に對する M_x の理論的公式は餘り見受けられぬのであつて、著者の諸公式による計算により是等を明瞭ならしめることを得たものである。今まで餘り注意されなかつた事は図-77 を除く外の三つの場合には版の約半面以上に $-M_x$ が惹起されると云ふ現象である。更に図-68 に於ては、 $+M_x$ は荷重點附近のみで全版の約 3/4 の區域に亘りて $-M_x$ が生ずる。今若し図-68 に於て、更に今一個の荷重を對稱的に載荷すると假定すれば、版の中心線 ($\xi=1/2$) 内の中心點に於ける $-M_x$ の値は倍加される結果となり、そのときの最大値は $\max M_x$ の約 80 % にも達することを知る。この計算より $-M_x$ に對應出来るやうに版の厚さ又は上部鐵筋量等を理論的に計算出来るものである。

(図-54, 55, 63, 64, 72, 73, 79, 80 省略) は荷重點にて、その版の桁 (荷重の幅を桁の幅とする) として考へ

表26.

正版幅 分布荷重 σ_0 $\sigma_0/a = \sigma_0 = 5/150$, $\sigma_0/b = \sigma_0 = 1/2$ 在 3 場合, 單位 耗費

$$\begin{aligned} \gamma &= 1/6 \\ h &= 40\text{cm.} \\ a &= 750\text{cm.} \\ b &= 500\text{cm.} \\ E &= 210,000 \frac{\text{kg}}{\text{cm}^2} \\ N &= \frac{Eh^3}{2(1-\nu^2)} = 1,352,000,000 \text{kg/cm} \end{aligned}$$

$$\begin{aligned} E_n' &= \frac{\sum A_m' \frac{(-1)^m}{2} m \left\{ m^2 + (2-j) \frac{b^2 n^2}{a^2} \right\}}{\frac{Q'}{Q}} = \frac{\sum A_m' E}{Q'}, \\ F_n' &= \frac{\sum A_m' \frac{(j-1)^m}{2} m \left\{ m^2 + (2-j) \frac{b^2 n^2}{a^2} \right\}}{\frac{Q''}{Q''}} = \frac{\sum A_m' F'}{Q''}, \\ A_{mn}' &= \frac{Q''}{Q''} \left\{ (j+1) \sinh \frac{Q'' n \pi}{a} + (-1)^j \frac{Q'' n}{a} \right\}, \end{aligned}$$

上式中,

$$A_{mn}' = \frac{1/6}{\pi^6 m n} \left(m^2 + \frac{b^2 n^2}{a^2} \right)^2 \sin^2 m \pi \frac{n}{a} \frac{(-1)^{j+1}}{\frac{Q''}{Q''}} \sin m \pi \frac{n}{a} \frac{Q''}{Q''}.$$

$$m = 1, 2, 3, 4, 5, 6, 7; \quad n = 1, 3, 5, 7;$$

		A_{mn}'			
	$m = 1$	$m = 2$	$n = 3$	$m = 4$	$n = 5$
1	+0.000 015 44	+0.000 000 977	+0.000 003 471	+0.000 001 55	+0.000 000 15
3	-0.000 000 35	-0.000 000 447	-0.000 000 47	-0.000 000 36	-0.000 000 25
5	+0.000 000 04	+0.000 000 07	+0.000 000 08	+0.000 000 05	+0.000 000 03
7	-0.000 000 00	-0.000 000 01	-0.000 000 01	-0.000 000 02	-0.000 000 01

		A_{mn}'			
	$m = 1$	$m = 2$	$n = 3$	$m = 4$	$n = 5$
1	+0.000 019 17	+0.000 034 60	+0.000 009 35	+0.000 003 00	+0.000 001 14
3	-0.000 000 02	-0.000 000 25	-0.000 000 22	-0.000 000 17	-0.000 000 13
5	+0.000 000 23	+0.000 000 27	+0.000 000 24	+0.000 000 16	+0.000 000 13
7	-0.000 001 75	-0.000 002 51	-0.000 002 65	-0.000 002 57	-0.000 002 46

		A_{mn}'			
	$m = 1$	$m = 2$	$n = 3$	$m = 4$	$n = 5$
1	+0.000 019 67	+0.000 024 26	+0.000 001 48	+0.000 001 48	+0.000 001 48
3	-0.000 001 83	-0.000 002 07	-0.000 002 20	-0.000 002 20	-0.000 002 20
5	+0.000 001 32	+0.000 001 58	+0.000 001 24	+0.000 001 24	+0.000 001 24
7	-0.000 001 64	-0.000 001 87	-0.000 002 20	-0.000 002 20	-0.000 002 20

		A_{mn}'			
	$m = 1$	$m = 2$	$n = 3$	$m = 4$	$n = 5$
1	+0.000 019 67	+0.000 024 26	+0.000 001 48	+0.000 001 48	+0.000 001 48
3	-0.000 001 83	-0.000 002 07	-0.000 002 20	-0.000 002 20	-0.000 002 20
5	+0.000 001 32	+0.000 001 58	+0.000 001 24	+0.000 001 24	+0.000 001 24
7	-0.000 001 64	-0.000 001 87	-0.000 002 20	-0.000 002 20	-0.000 002 20

		A_{mn}'			
	$m = 1$	$m = 2$	$n = 3$	$m = 4$	$n = 5$
1	+0.000 019 67	+0.000 024 26	+0.000 001 48	+0.000 001 48	+0.000 001 48
3	-0.000 001 83	-0.000 002 07	-0.000 002 20	-0.000 002 20	-0.000 002 20
5	+0.000 001 32	+0.000 001 58	+0.000 001 24	+0.000 001 24	+0.000 001 24
7	-0.000 001 64	-0.000 001 87	-0.000 002 20	-0.000 002 20	-0.000 002 20

表-27. 平版橋 分布荷重が $x/a = \xi_0 = 51/750$, $y_0/b = \eta_0 = 1/2$ に在る場合. $a=750$, $b=500$ 單位距離
(表中の p_0 は省略す)

點の位置			w_1	w_2	w	M_x	M_y
$y_0/b = \eta$	$x_0/a = \xi$						
I	$\frac{1}{4}$	I	0.000 000	0.000 000	0.000 000	0.000 000	0.000 000
	"	II	0.000 000	0.000 000	0.000 000	0.000 000	0.000 000
	"	III	0.000 000	0.000 000	0.000 000	0.000 000	0.000 000
	"	IV	0.000 000	0.000 000	0.000 000	0.000 000	0.000 000
	"	V	0.000 000	0.000 000	0.000 000	0.000 000	0.000 000
	"	VI	0.000 000	0.000 000	0.000 000	0.000 000	0.000 000
	"	VII	0.000 000	0.000 000	0.000 000	0.000 000	0.000 000
	"	VIII	0.000 000	0.000 000	0.000 000	0.000 000	0.000 000
I'	$\frac{1}{8}$	I	0.000 000	+0.016 825	+0.016 825	0.000 000	+525310 000
	"	II	+0.001 467	+0.011 936	+0.013 305	+60819 000	+465819 000
	"	III	+0.001 972	+0.003 105	+0.019 078	+10230 000	+370440 000
	"	IV	+0.001 315	+0.003 590	+0.004 905	-60795 000	+382560 000
	"	V	+0.000 534	+0.001 962	+0.002 497	-34314 000	+102300 000
	"	VI	+0.000 243	+0.001 702	+0.002 031	-21713 000	+83701 000
	"	VII	0.001 000	+0.001 343	+0.001 702	0.000 000	+63647 000
	"	VIII	0.000 000	+0.001 343	+0.001 702	0.000 000	+63647 000
II	$\frac{1}{4}$	I	0.000 000	+0.031 759	+0.031 759	0.000 000	+1120800 000
	"	II	+0.002 985	+0.022 317	+0.025 303	+184670 000	+722510 000
	"	III	+0.003 003	+0.015 045	+0.010 849	+4933 100	+76260 000
	"	IV	+0.002 441	+0.006 636	+0.009 078	-177010 000	+380230 000
	"	V	+0.000 987	+0.003 631	+0.004 618	-78261 000	+114440 000
	"	VI	+0.000 460	+0.003 309	+0.003 770	-41441 000	+153770 000
	"	VII	0.000 000	+0.003 446	+0.003 446	0.000 000	+132082 000
	"	VIII	0.000 000	+0.003 446	+0.003 446	0.000 000	+132082 000
III	$\frac{3}{4}$	I	0.000 000	+0.046 947	+0.046 947	0.000 000	+853780 000
	"	II	+0.005 384	+0.032 163	+0.037 490	+600410 000	+219050 000
	"	III	+0.005 753	+0.021 418	+0.027 172	-131360 000	+471190 000
	"	IV	+0.003 457	+0.009 391	+0.012 849	-204460 000	+531030 000
	"	V	+0.001 380	+0.005 144	+0.006 533	-120570 000	+807050 000
	"	VI	+0.000 655	+0.004 721	+0.005 377	-58703 000	+837920 000
	"	VII	0.000 000	+0.005 015	+0.005 015	0.000 000	+235830 000
	"	VIII	0.000 000	+0.005 015	+0.005 015	0.000 000	+235830 000

図-47.

平版橋 等沈下曲線図

 $w = w' \times 10^5$

(単位 m)

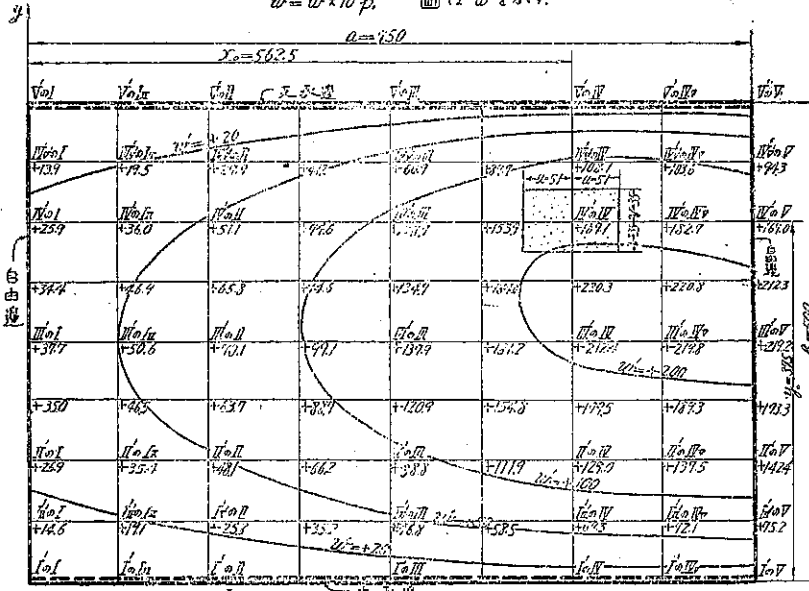


圖-50.

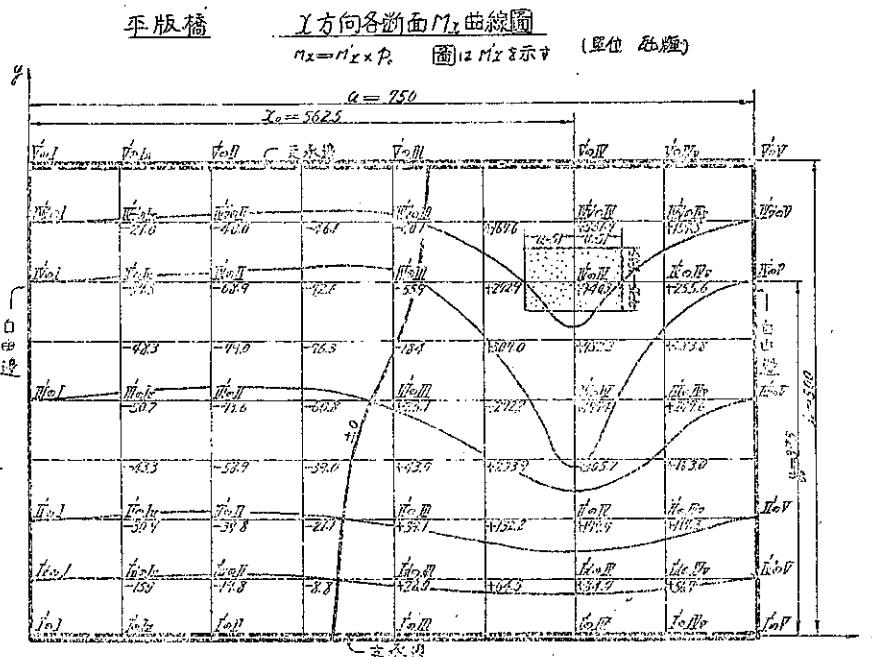


圖-51.

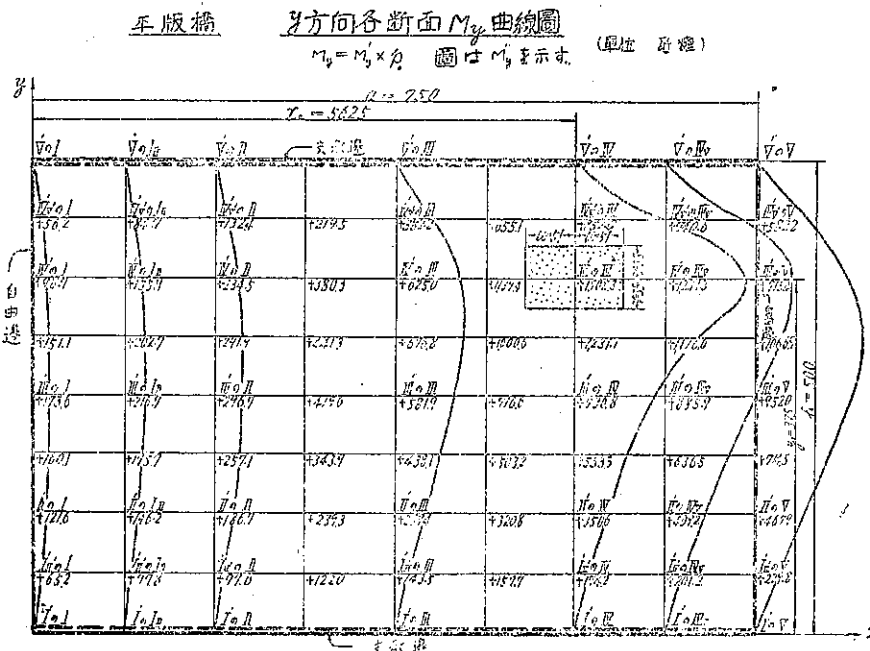


図-56.

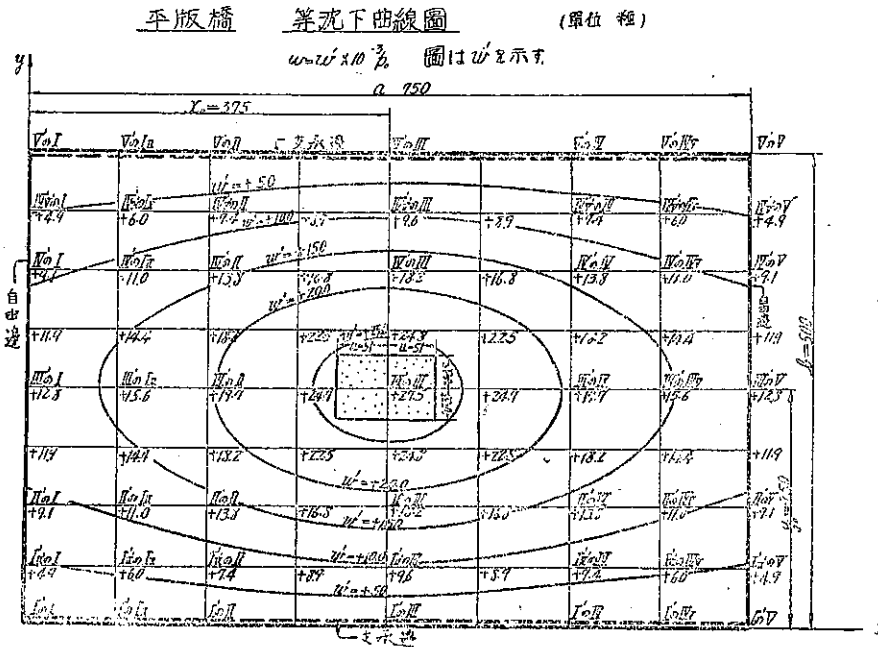


図-59.

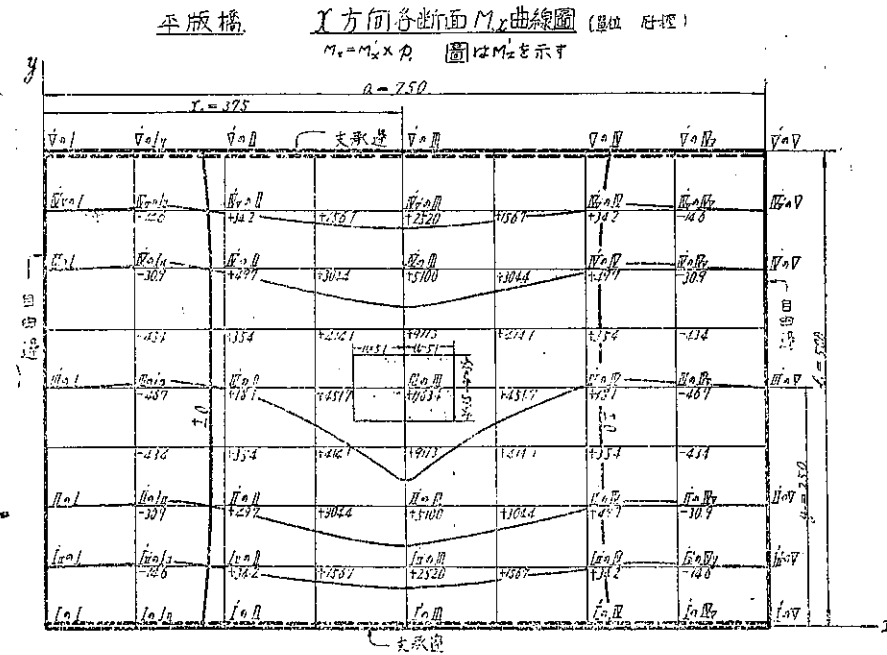


圖-60.

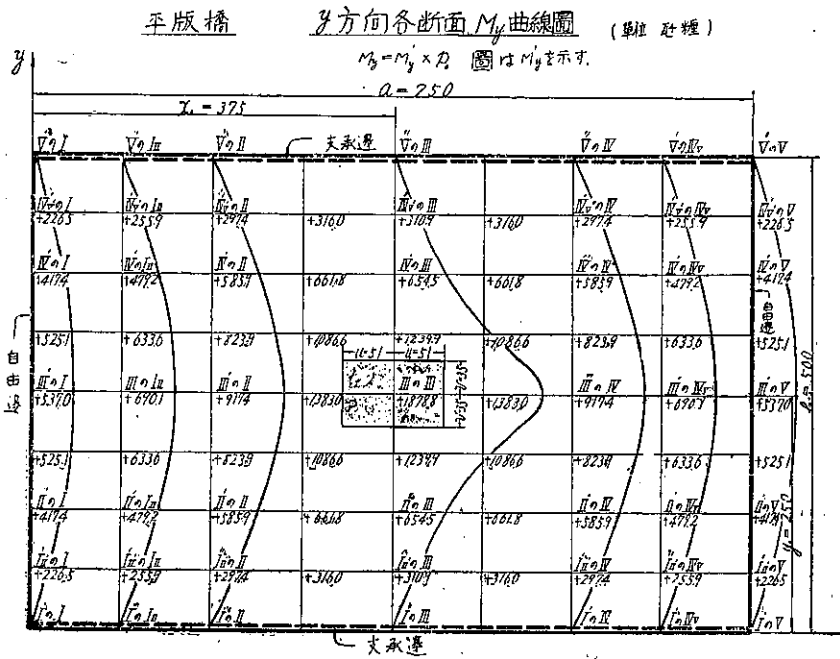


圖-68.

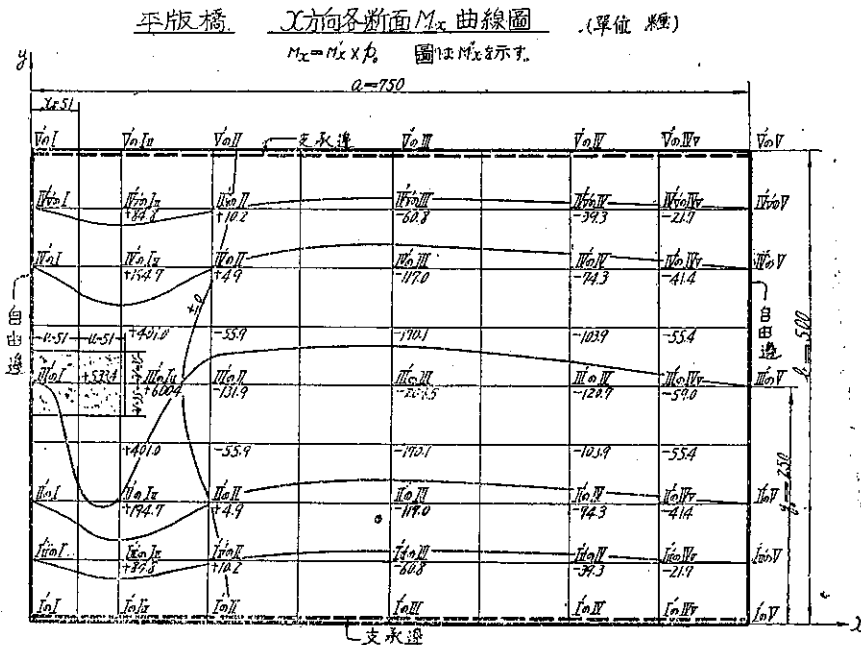


圖-69.

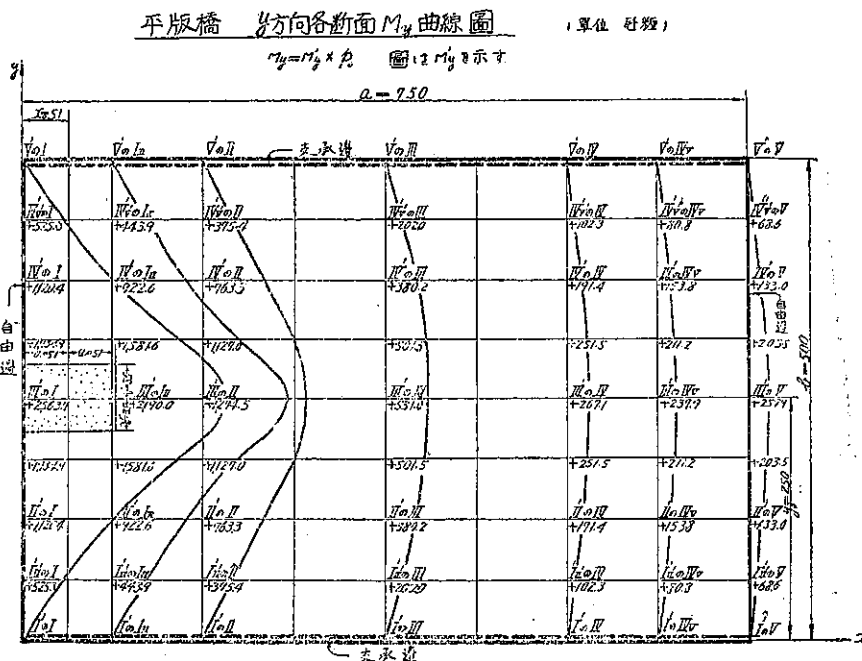


表-28.

平板橋、版全面に分布荷重が往する場合 単位底盤

$$\nu = \frac{1}{6}$$

$$h = 40 \text{ cm}$$

$$a = 750 \text{ cm}$$

$$b = 500 \text{ cm}$$

$$E = 210,000 \text{ kg/cm}^2$$

$$N = \frac{E h^3}{12(1-\nu^2)} = 1,152,000,000 \text{ kg/cm}$$

$$P_0 = 1 \text{ kg/cm}^2$$

$$2u = 750 \text{ cm}$$

$$2v = 500 \text{ cm}$$

上式中、

$$A'_{mn} = \frac{16}{\pi^4 m n (m^2 + \frac{a^2 n^2}{b^2})^2}$$

$$m = 1, 3, 5, 7, \dots, 31;$$

$$n = 1, 3, 5, 7, \dots, 15;$$

(但し、本表は $m, n = 1, 3, 5, 7$ の範囲)

n	A'_{mn}			
	$m=1$	$m=3$	$m=5$	$m=7$
1	+0.00157560	+0.00024385	+0.000720448	+0.00018040
3	+0.00001228	+0.00000216	+0.00000056	+0.00000016
5	+0.00000101	+0.00000026	+0.00000010	+0.00000004
7	+0.00000019	+0.00000005	+0.00000002	+0.00000001

n	$\sum_m A'_{mn} E'$				$\sum_m A'_{mn} E'$	Q'	E'_n
	$m=1$	$m=3$	$m=5$	$m=7$			
1	+0.00367330	+0.00178602	+0.00025275	+0.00033661	+0.01079130	3.01	+0.00015341229300
3	+0.000066840	+0.00029408	+0.00016832	+0.00009962	+0.00103540	10.360000	+0.00002300138020
5	+0.00010575	+0.00008765	+0.00004660	+0.000044570	+0.00032071	12.79100000000	+0.00000400000000
7	+0.00003701	+0.00003550	+0.00002452	+0.00002354	+0.00012735	39.27000000000	+0.00000000000000

表-29.

點の位置			w_1	w_2	w_3	M_x	M_y
$x_c = \eta$	$y_c = \beta$						
I'	$\frac{1}{4}$	I	$\frac{1}{4}$	0.000 000	0.000 000	0.000 000	0.000 000
	"	I _{II}	$\frac{1}{8}$	0.000 000	0.000 000	0.000 000	0.000 000
	"	II	$\frac{1}{4}$	0.000 000	0.000 000	0.000 000	0.000 000
	"	III	$\frac{3}{4}$	0.000 000	0.000 000	0.000 000	0.000 000
I''	$\frac{1}{8}$	I	$\frac{1}{4}$	0.000 000	+0.287 150	+0.287 150	0.000 000
	"	I _{II}	$\frac{1}{8}$	+0.070 212	+0.205 040	+0.275 250	1619.500 000
	"	II	$\frac{1}{4}$	+0.122 690	+0.143 140	+0.270 820	1902.100 000
	"	III	$\frac{3}{4}$	+0.164 310	+0.104 890	+0.269 200	2193.100 000
II'	$\frac{1}{4}$	I	$\frac{1}{4}$	0.000 000	+0.527 030	+0.527 030	0.000 000
	"	I _{II}	$\frac{1}{8}$	+0.139 340	+0.377 940	+0.517 780	4245.800 000
	"	II	$\frac{1}{4}$	+0.223 420	+0.273 500	+0.496 910	13171.300 000
	"	III	$\frac{3}{4}$	+0.300 060	+0.193 790	+0.493 850	371.6400 000
III'	$\frac{3}{4}$	I	$\frac{1}{4}$	0.000 000	+0.739 860	+0.739 860	0.000 000
	"	I _{II}	$\frac{1}{8}$	+0.176 200	+0.532 040	+0.709 030	4916.600 000
	"	II	$\frac{1}{4}$	+0.311 030	+0.385 360	+0.697 390	1473.200 000
	"	III	$\frac{3}{4}$	+0.457 040	+0.274 030	+0.673 070	4930.100 000

簡-74



圖-77

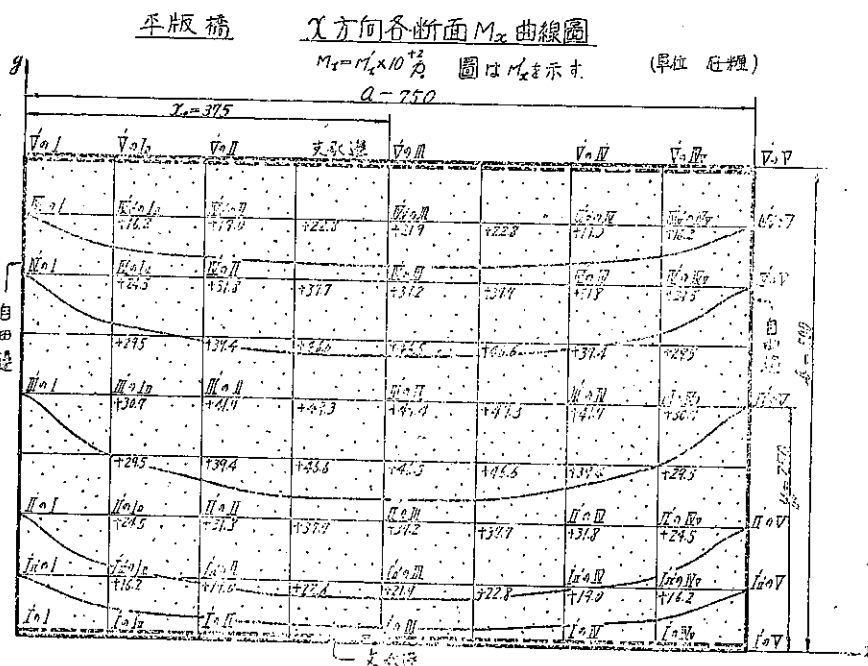
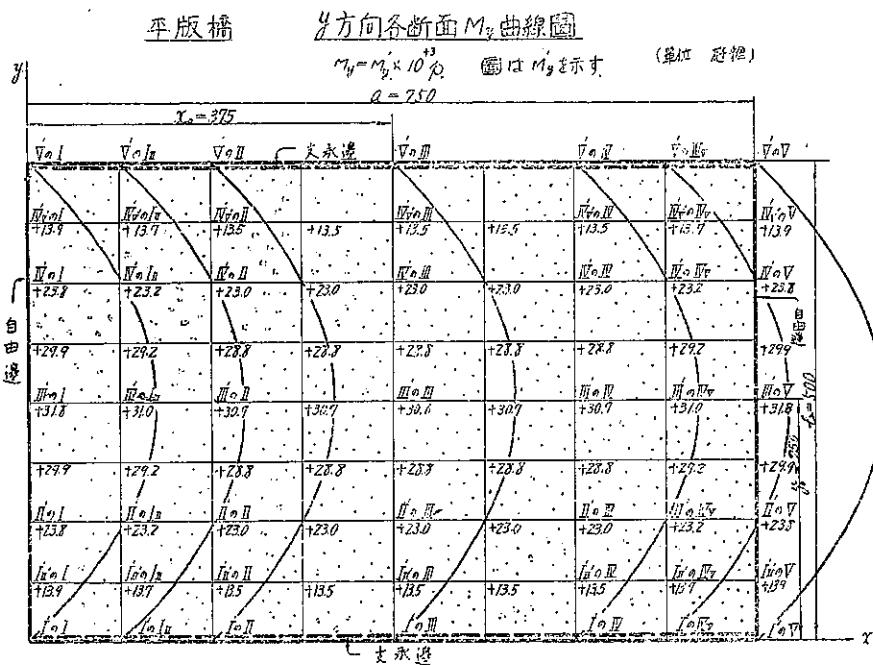


図-78.



た場合、桁としての w, M_y と、版の理論的計算による w, M_y とを比較したものであるが、これによると桁としての計算値の約 30 % が版に実際に生ずる値である。たゞ版全面に等分布荷重がある場合のみその差は非常に小さいものである。

[IV] 図-81 と図-82 とは等分布荷重が平版橋の中心點にある場合

この場合その幅員と徑間との比が w (中心點の) に及ぼす影響、又は a/b と M (中心點) との関係を示すものである。是等によると w と M は版の徑間 b が一定でもその幅員 a の大小に依り非常に異なつた値を持つと云ふ事を知るものである。

参考書

岡田良知：級數論

佐野靜雄：應用數學

小平吉男：物理數學；第一卷，第二卷

K. Knopp: Theorie und Anwendung der unendlichen Reihen.

A. Kneser: Die Integralgleichungen und ihre Anwendung in der mathematischen Physik.

K. Hayashi: Theorie des Trägers auf elastischer Unterlage.

〃 〃 : Fünfstellige Tafeln der Kreis und Hyperbelfunktionen.

A. Nadai: Elastische Platten.

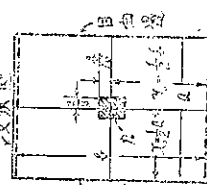
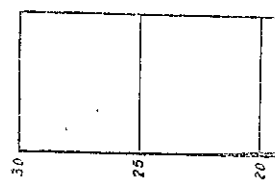
井口庵象：Eine Lösung für die Berechnung der biegsamen rechteckigen Platten.

〃 〃 : Die Eigenschwingen und Klangfiguren der vierseitig freien rechteckigen Platten.

妹澤克惟：振動學

E. Schneider: Mathematische Schwingungslehre.

平版橋



分析衝重の定義に在る場合.

幅實と徑間との比を與へて、
中央卓の沈下比を求める圖表

$$W = \frac{G^2 E}{N} \times \frac{1}{h} \left[\sum_{n=1}^{\infty} A_n \sin m\pi \frac{x}{a} + E_n \left\{ \frac{2.22}{\pi} f(x) + \frac{2}{1-\nu} \phi(x) \right\} \sin n\pi \frac{y}{b} \right]$$

$$= \frac{G^2 E}{N} \times \frac{1}{h} (w_1' + w_2')$$

$$\approx \frac{G^2 E}{N} \times \frac{1}{h} \times w'$$

$$\begin{aligned} E &= 版の弾性係数 (kg/cm^2) \\ a &= 幅員 (cm) \quad h = 厚 (cm) \\ p_0 &= 箍重 (kg/cm) \quad \nu = ポアソン比 = \frac{1}{6} \\ m, n &= 1, 3, 5, 7, \dots \end{aligned}$$

a/b	w_1'	w_2'	w'
0.5	+ 4.93 010	+ 43.842 000	+ 49.756 000
0.6	+ 5.465 310	+ 72.537 000	+ 78.052 000
1.0	+ 1.756 130	+ 6.573 000	+ 7.934 500
1.5	+ 0.633 430	+ 0.137 350	+ 0.224 030
2.0	+ 0.307 230	+ 0.074 330	+ 0.322 560

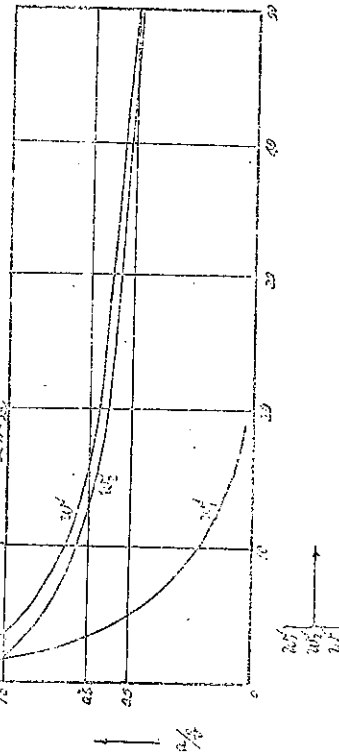
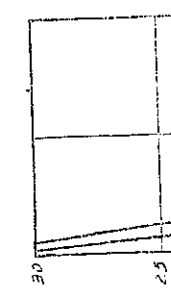


圖-81.

図-82.

五、板橋

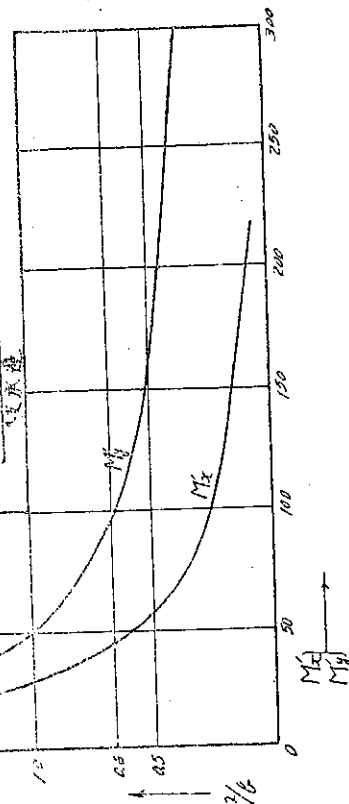
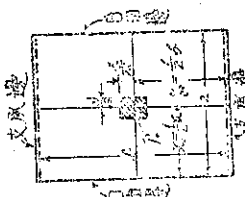
分 割 荷 重 中 空 三 位 の 錄 表



$$\begin{aligned}
 M_x &= \pi^2 \frac{\rho_0^2}{E_0} \sum_n \left\{ m^2 + V \frac{C^2 \pi^2}{L^2} \right\} \sin(m\pi y) \sin(n\pi z) (-V) \frac{\partial^2 u}{\partial z^2} E_0^{-1} f''(x) \sin(n\pi z) \\
 M_y &= \pi^2 \frac{\rho_0^2}{E_0} \sum_n \left[\sum_m \left(m^2 + V \frac{C^2 \pi^2}{L^2} \right) \sin(m\pi y) \sin(n\pi z) (-V) \frac{\partial^2 u}{\partial z^2} E_0^{-1} f''(x) \sin(n\pi z) \right] \\
 &= \alpha^2 10^4 \times M_f
 \end{aligned}$$

M _x , M _y の 表	
a = 幅員(cm)	P ₀ = 重量(kg/cm ²)
0.5	+ 56.351.00
0.6	+ 68.455.00
1.0	+ 29.161.00
1.5	+ 17.633.00
2.0	+ 11.744.00

$$\begin{aligned}
 a &= \text{幅員(cm)} \\
 P_0 &= \text{重量(kg/cm}^2\text{)}
 \end{aligned}$$



(昭. 18. 8. 26. 受付)